



TRAVAUX D'ETUDIANTS EN TEMPS NON LIMITE
(niveau licence, présentés par A. Robert)

Algèbre et géométrie

- * Le groupe des frises (par M. Debray et F. Meslet)
- * Le billard polygonal (par M. Calléjon et Y. Le Chêne)

Fonctions de variable complexe

- * Analyse d'exercices de baccalauréat sur les nombres complexes (par L. Lebrun et A. Le Goff)
- * Le théorème d'inversion globale, isomorphismes analytiques (par P. Achart et F. Chalbot)
- * Fonctions loxodromiques (par J. L. Delrieu et N. Vergnaud)

objectif: présenter des travaux différents

sujet: algèbre, géométrie, fonctions analytiques

niveau: enseignement post-bac

public: formateurs

Travaux d'étudiants en temps non limité
(niveau licence, présentés par A. Robert)

Algèbre et géométrie

- * Le groupe des frises (par M. Debray et F. Meslet)
- * Le billard polygonal (par M. Calléjon et Y. Le Chêne)

Fonctions de variable complexe -

- * Analyse d'exercices de baccalauréat sur les nombres complexes (par L. Lebrun et A. Le Goff)
 - * Le théorème d'inversion globale, isomorphismes analytiques (par P. Achart et F. Chalbot)
 - * Fonctions loxodromiques (par J.L. Delrieu et N. Vergnaud)

Introduction (A. Robert, enseignante)

Dans cette brochure, nous présentons quelques travaux d'étudiants de niveau licence, réalisés de manière inhabituelle : il s'agit en effet de copies de partiels, mais d'un partielle en temps non strictement limité (deux mois ont été laissés aux étudiants entre la distribution des énoncés et la remise des copies) et non strictement personnel (éventuellement fait par deux étudiants rendant alors une seule copie). De plus les étudiants ont eu le choix entre quatre ou cinq sujets (et on a veillé à ce que tous les sujets soient effectivement choisis). Il s'agit du deuxième partielle, qui a lieu assez tard dans la deuxième moitié de l'année scolaire, presque tout le programme étant déjà traité (les certificats sont annuels). Il n'y a aucune modification de l'emploi du temps pendant la réalisation de ce travail.

A l'origine de ce partielle "non classique", il y a eu deux éléments : d'abord l'hypothèse qu'il pouvait être efficace, pour l'apprentissage, de favoriser un certain type d'activités mathématiques peu fréquentes, en proposant un travail du type inhabituel évoqué ci-dessus.

En effet le fait de ne pas restreindre le temps du travail, d'accepter une collaboration éventuelle, permet d'introduire dans l'activité proposée plusieurs composantes auxquelles souvent on doit renoncer dans les cadres plus classiques (cf. ci-dessous).

Deuxième élément : les étudiants un peu lents (voire un peu âgés ?) sont systématiquement défavorisés par les évaluations classiques, et même un peu brimés par l'ensemble du travail scolaire. On leur restitue ainsi des conditions mieux adaptées à leurs spécificités.

Nous allons faire quelques commentaires sur les sujets (joints ci-après, avec les copies), détailler le type d'activités favorisées à notre avis par ce type de sujets et donner une estimation toute subjective des résultats obtenus et des difficultés inhérentes au projet, avant de présenter les copies choisies.

A propos du choix des sujets proposés (joints avec les copies)

Il s'agissait d'élaborer des énoncés propices à la mise en œuvre de ces activités non classiques, assez variés pour intéresser un maximum

d'étudiants, tout en donnant un enjeu suffisant au gros investissement nécessaire des étudiants dans ce travail : on l'a donc fait compter dans l'évaluation (dans les deux certificats concernés, il y a deux partiels, dont celui-ci et un examen à la fin de l'année).

Les sujets proposés sont assez divers, il y en a quatre pour un des certificats, dont deux sont illustrés par une des meilleures copies recueillies) et cinq pour l'autre certificat dont trois sont (partiellement ou totalement) illustrés par des productions réelles.

Dans tous les cas le travail demande l'utilisation de documents dont la liste est indiquée (un à quatre documents par sujet), la bibliographie étant fournie aux groupes choisissant le sujet (mais nous ne l'avons pas jointe dans cette brochure). Souvent il y a une partie des documents en anglais. Il n'est pas toujours facile pour les étudiants de choisir à la simple vue des énoncés, mais comment en dire plus sans rentrer dans le sujet ?

Sans en faire une analyse exhaustive, nous pouvons dire que ces sujets demandent tous un certain temps pour "entrer dedans", que les documents sont toujours imparfaits (incomplets, redondants, etc...), et que les connaissances du cours qu'il y a à utiliser viennent toujours de plusieurs chapitres de ce cours. De plus les tâches proposées sont plus vagues que d'habitude, demandent souvent une réflexion voire une critique, sont transversales (par rapport à un chapitre).

Ainsi, suivant les cas, on demande, à l'aide des documents,

- * de résoudre un problème long et difficile, déjà découpé en questions, portant sur une partie importante du cours (l'ordre des questions pouvant être décidé par l'étudiant dans un des sujets de ce type),
- * de (re)trouver la (ou des) démonstration(s) d'un résultat important ou d'un théorème difficile et long (donnés dans l'énoncé),
- * d'analyser des textes d'exercices de niveau "n" à la lumière de connaissances de niveau "n+1",
- * de donner une synthèse des propriétés d'une fonction donnée,
- * de dresser un catalogue d'isomorphismes d'ouverts du plan complexe à partir des représentations graphiques correspondantes,

- * d'analyser les images données par un logiciel,
- * de concevoir un exercice sur un sujet donné.

Quelles activités mathématiques différentes peut engendrer ce type de travail ?

La "normalisation" de la durée du travail de recherche :

Les étudiants ne peuvent pas tout trouver du premier coup, ne serait-ce que parce que la longueur de ce qui est à faire empêche de tout couvrir en un jour. Mais cela ne présente pas les inconvénients habituels, c'est même sans doute "normal" vu le contrat...

L'expérience d'une mini-recherche en vraie grandeur :

Il s'agit de rentrer dans un vrai problème, qui souvent n'est pas prédécoupé. Il est presque impossible de ne pas sécher un moment ou au moins de ne pas "patauger", puis on voit les choses se mettre en place, au bout d'un moment. Les étudiants vivent donc un autre rapport avec les mathématiques, ils font l'expérience du rôle du temps, de la familiarisation avec une situation donnée.

De plus, ils doivent se poser eux-mêmes certaines questions, avoir plus d'initiative donc, à la fois en ce qui concerne les outils à utiliser et l'organisation (interne) de leur travail.

Un travail d'organisation ou de synthèse

Dans la plupart des sujets, il est nécessaire à un moment donné, avant de rédiger, de mettre en ordre ce qu'on a fait. Ce peut être pour classer les informations tirées des divers documents, ou pour choisir les arguments retenus pour les démonstrations présentées, ce peut être une synthèse des différents aspects rencontrés sur la même question.

Une utilisation obligatoire mais critique de documents bruts, non prédigérés :

Dans tous les sujets proposés, les documents mis à la disposition des étudiants sont indispensables, c'est de leur lecture que s'inspirent les résolutions.

Mais ces documents ne sont jamais parfaits (et c'est bien souvent comme

cela dans la réalité - d'ailleurs ce sont des documents tout à fait standard !)

Ils sont redondants, il faut donc faire les mises en correspondance des choses identiques, ils sont inorganisés, il faut donc les lire en essayant de comprendre de quoi il s'agit, ils sont incomplets, il faut donc restituer les démonstrations insuffisantes (avec les outils du cours).

Une utilisation élargie des outils du cours :

Les outils mathématiques du cours sont utilisés sans qu'on sache (par une quelconque indication) lesquels vont être utiles : en effet, pour résoudre un problème qui ne porte pas, par définition même des sujets, sur un chapitre donné du cours (et qui porte même sûrement sur plusieurs chapitres, vu la longueur des sujets), on ne peut avoir d'idée a priori de ce qui va permettre d'avancer la résolution et on est bien obligé de se poser la question.

La rédaction d'un travail long

Tous les sujets sont longs, et leur rédaction amène à des décisions qu'un travail plus court rend moins indispensables. Il faut respecter une certaine clarté dans la forme (sinon c'est vite illisible), il faut être strict avec les notations (garder les mêmes ou en changer selon les questions), il faut organiser un minimum les copies.

Quelles difficultés rencontre-t-on, quels résultats obtient-on ?

En ce qui concerne le public des certificats en question (PEGC en formation continue, sans décharge), la quantité de travail demandée par ce type de travail, l'insécurité qu'il engendre, sont très critiquées, même si les étudiants reconnaissent pour beaucoup (ensuite) l'utilité de cet investissement, pour l'examen et plus généralement.

La composition des binômes est une variable non négligeable de ce qu'il est possible de faire (suivant la proximité ou non des lieux d'habitation par exemple). Les meilleurs travaux sont obtenus en binômes.

Il est difficile de donner la correction d'un tel travail : cela demande des commentaires très individuels. Il est également difficile de mettre une

note à un tel travail : on doit prendre en compte non seulement le résultat mais aussi la quantité de travail fournie.

A mon avis, les copies recueillies sont dans l'ensemble satisfaisantes, mais surtout il y a beaucoup plus que d'habitude d'excellentes copies (niveau 19/20).

Les étudiants ont beaucoup travaillé dans l'ensemble, et certains reconnaissent avoir trouvé plus d'intérêt à ces sujets qu'aux sujets ordinaires.

Il me semble que les activités non classiques évoquées ci-dessus ont fonctionné chez beaucoup (certainement pas tous, plusieurs étudiants ont trouvé qu'il y avait trop de travail et n'ont pas joué le jeu).

Les rédactions sont en moyenne meilleures que d'habitude, bien que souvent trop longues, les étudiants n'ont pas encore l'habitude d'être concis.

Comme les étudiants ont à cœur de traduire dans leurs productions la somme de travail fournie, et que, vraisemblablement, ils dominent mieux que d'habitude leur production, ils font souvent un effort supplémentaire de présentation. Le lecteur a souvent une bonne impression globale (lecture agréable). Il y a beaucoup de graphiques, quelquefois très remarquables, quelquefois même il y a des illustrations (on n'a pas les moyens de les reproduire ici !). C'est particulièrement vrai dans les sujets les moins classiques, me semble-t-il.

Les erreurs peuvent être nombreuses mais elles ne sont pas cachées, elles sont mieux repérables que dans des copies mal rédigées.

Il ne peut pas y avoir de copies mauvaises (alors les étudiants renoncent).

Enfin, côté enseignant, le travail d'élaboration des sujets et de correction des copies n'est pas mince...

Je crois en conclusion qu'il est nécessaire de proposer des sujets assez substantiels (assez longs donc, et avec un véritable questionnement), avec un enjeu d'évaluation, pour garantir les mises en fonctionnement des activités non classiques évoquées ci-dessus...

Paradoxalement, il peut être plus facile pour certains de s'investir dans un travail difficile mais intéressant, valorisant, et demandant des qualités d'adultes...

ALGEBRE ET GEOMETRIE (C4)

4 sujets (dont deux illustrés par des copies)

ACADEMIE DE CAEN

Monique JEBRAY
Francis. MESLET.

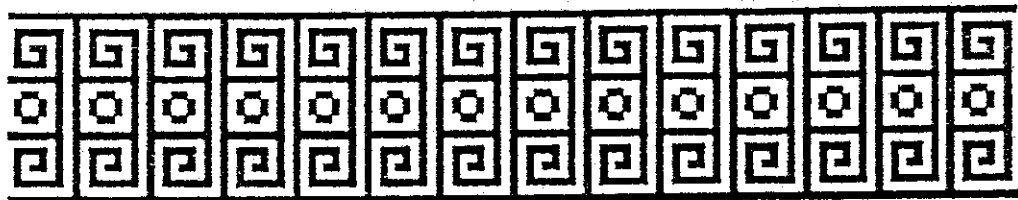
C4 PEGC, 90-91, Partiel n°2

Sujet n°1 (frises)

A l'aide des documents joints, répondre aux questions suivantes :

- 1) Qu'appelle-t-on frise, qu'appelle-t-on groupe associé à une frise ?
- 2) Quel théorème précis démontre-t-on sur ces groupes associés aux frises du plan ?
- 3) Rédiger une démonstration de ce théorème.
- 4) Résoudre les exercices 10-7, 10-18 (utiliser 10-7) et 10-14 du document en anglais.
- 5) Examiner les figures de la page 35 du texte sur le groupe des paveurs.

Par quelles isométries directes pouvez-vous reconstituer chaque figure à partir du "pavé de base" indiqué ? On ne donnera pas de démonstration.



1.

I (A) Qu'est-ce qu'une frise ?

* Définition.

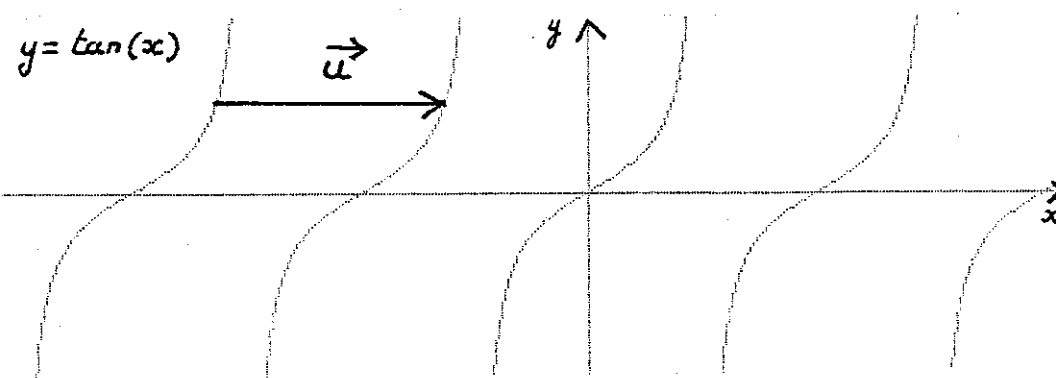
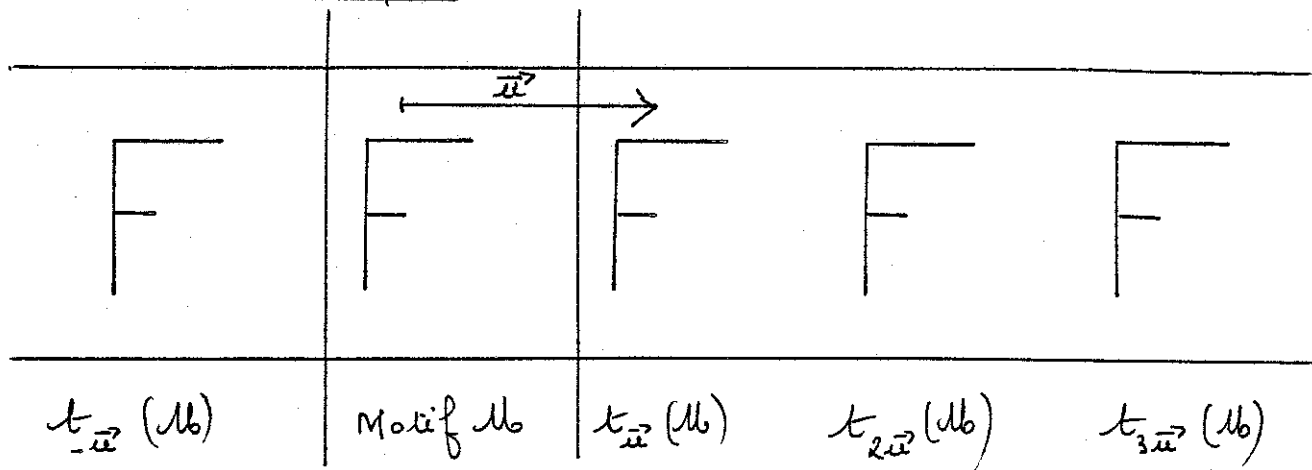
Etant donné un vecteur \vec{u} non nul du plan P , on dit que F est une frise de vecteur \vec{u} si les translations conservant F sont les translations de vecteur $n\vec{u}$ et aucune autre. ($n \in \mathbb{Z}$)

* Motif d'une frise.

Si l est une droite orthogonale à \vec{u} ,
 l' sa transformée par $t_{\vec{u}}$, l et l'
délimitent une bande P_u du plan.

et $F \cap P_u$ est alors appelé:
motif de la frise.

* Exemples.



B

I(B) Groupe associé à une frise.

1) Isométries laissant invariant un ensemble de points E

Une tel ensemble G muni de la loi de composition des applications est un groupe

En effet: a) $\forall f \in G \quad g[f(E)] = E$ d'où $gof \in G$
 $\forall g \in G$

b) la loi o est associative

c) $\forall f \in G \quad f \circ \text{Id} = \text{Id} \circ f = f$

d) Si f est une isométrie alors f^{-1} existe car
 f est une bijection et f^{-1} est une isométrie

$f^{-1}(f(E)) = \text{Id}(E) = E$ d'où $f^{-1}(E) = E$
et $f^{-1} \in G$.

2) Définition d'un groupe de frises.

Soit F une frise de vecteur \vec{v} , on appelle groupe de la frise F l'ensemble de toutes les isométries du plan qui laissent F invariante (cet ensemble étant muni de la loi o)

{ Ainsi avoir démonté un théorème relatif aux isométries conservant un ensemble de points nous montrons qu'il n'existe qu'un nombre fini de groupes associés à des frises.

IV, THEOREME

non unique en général

Si P est le centre de symétrie d'un ensemble de points S et si α est une isométrie laissant S invariant alors $\alpha(P)$ est centre de symétrie de S .

Si l est un axe de symétrie d'un ensemble de points S et si α est une isométrie laissant S invariant alors $\alpha(l)$ est axe de symétrie de S .

* Démonstration de la 1^{re} partie.

Soit G le groupe des isométries laissant S invariant et α et $\overline{\sigma}_P$ (symétrie de centre P) deux isométries de G

$$\begin{aligned} f &= \alpha \circ \overline{\sigma}_P \circ \alpha^{-1} \in G \quad \text{et} \\ \overline{f} &= \alpha \circ \overline{\sigma}_P \circ \alpha^{-1} = \overrightarrow{\alpha} \circ \overrightarrow{\sigma}_P \circ \overleftarrow{\alpha^{-1}} = \overrightarrow{\alpha} \circ -\overrightarrow{\text{Id}} \circ \overleftarrow{\alpha^{-1}} \\ &= -\overrightarrow{\text{Id}} \end{aligned}$$

$\Rightarrow f$ est une symétrie centrale.

$$\begin{aligned} \text{Calculons } f(\alpha(p)) &= \alpha(\overline{\sigma}_P(\alpha^{-1})(\alpha(p))) \\ &= \alpha(\overline{\sigma}_P(P)) \\ &= \alpha(P) \end{aligned}$$

donc $\alpha(P)$ est invariant dans la symétrie centrale $\alpha \circ \overline{\sigma}_P \circ \alpha^{-1}$. c'est-à-dire le centre de la symétrie f .

comme $f \in G$, $\alpha(P)$ est centre de symétrie de S .

B

* Démonstration de la 2^e partie.

Soit α et $\overline{\sigma}_l$ (symétrie d'axe l), deux isométries de G .

$$\begin{aligned} f &= \alpha \circ \overline{\sigma}_l \circ \alpha^{-1} \in G \\ \overline{f} &= \alpha \circ \overline{\sigma}_l \circ \alpha^{-1} = \overrightarrow{\alpha} \circ \overrightarrow{\sigma}_l \circ \overleftarrow{\alpha^{-1}} \\ &= \overrightarrow{\sigma}_l \end{aligned}$$

\overrightarrow{f} étant une symétrie vectorielle .../...

3 (bis)

f est une symétrie axiale.

Cherchons l'axe de cette symétrie.

$$\begin{aligned} \text{Calculons } f(\alpha(l)) &= \alpha(\tau_e(\alpha^{-1}(\alpha(l)))) \\ &= \alpha(\tau_e(l)) \\ &= \alpha(l) \end{aligned}$$

donc $\alpha(l)$ est invariant par f : c'est l'axe de la symétrie.

Comme $f \in G$, $\alpha(l)$ est un axe de symétrie de f .

B

II₂. THEOREME DES GROUPES DE FRISES.

Soit \mathcal{F} un groupe de frises de vecteur \vec{u} dont les translations forment le groupe engendré par $T = t_{\vec{u}}$ (translations de vecteur \vec{u})

Soit c une droite dirigée par \vec{u}

Notons σ_A une symétrie centrale si \mathcal{F} en contient une

Notons σ_a une symétrie orthogonale d'axe perpendiculaire à c si \mathcal{F} en contient une.

Soit γ la symétrie glissée d'axe c telle que $\gamma^2 = T$

\mathcal{F} est alors l'une des sept groupes distincts définis comme suit:

$$\mathcal{F}_1 = \langle T \rangle \quad \mathcal{F}'_1 = \langle T, \sigma_c \rangle \quad \mathcal{F}''_1 = \langle T, \sigma_a \rangle$$

$$\mathcal{F}'_1 = \langle \gamma \rangle$$

$$\mathcal{F}_2 = \langle T, \sigma_A \rangle \quad \mathcal{F}'_2 = \langle T, \sigma_A, \sigma_c \rangle \quad \mathcal{F}''_2 = \langle \gamma, \sigma_A \rangle$$

Notations utilisées pour la démonstration.

1) $T = t_{\vec{u}}$ et " c " est une droite dirigée par \vec{u}

2) A sera :

- celle de symétrie si \mathcal{F} contient une symétrie centrale
- intersection de a et de c si \mathcal{F} contient une symétrie d'axe a si $a \perp c$
- un point quelconque autrement.

3) Posons $A_i = T^i(A)$ conséquence $T^n(A_i) = T^n(T^i(A)) = T^{n+i}(A)$

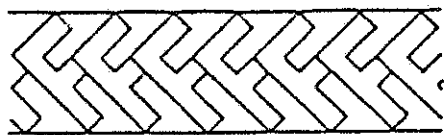
4) Soit M le milieu de $[AA_{i_1}]$ et $M_i = T^i(M)$

alors M_i est le milieu de $T^i([AA_{i_1}])$ donc de $[A_i, A_{i+1}]$

c'est aussi le milieu de $[A_{i+1}, A_{i+2}]$ de $[A_{i+2}, A_{i+3}]$...

----- donc de $[A, A_{2i+1}]$.

$$\mathcal{F}_1 = \langle \tau \rangle$$



Une première possibilité pour obtenir un groupe de frise de vecteur \vec{u} est de considérer le groupe engendré par la translation $\tau = t_{\vec{u}}$. En effet, un tel groupe ne contient que les translations.

$$\dots, \tau^{-3}, \tau^{-2}, \tau^{-1}, \text{Id}, \tau^1, \tau^2, \dots$$

Un motif M étant choisi, la frise F_1 associée au groupe $\mathcal{F}_1 = \langle \tau \rangle$ sera donc l'ensemble

$$F_1 = \{ \tau^i(M) / i \in \mathbb{Z} \}$$

Toute translation $t_{n\vec{u}}$ ($n \in \mathbb{Z}$) laisse F_1 invariante.

Démonstration

$$t_{n\vec{u}}(F_1) = t_{n\vec{u}}(\{ t_{i\vec{u}}(M) / i \in \mathbb{Z} \}) = \{ t_{(i+n)\vec{u}}(M) / (i+n) \in \mathbb{Z} \} = F_1$$

Seules, les translations de vecteur $n\vec{u}$ laissent F_1 invariante

Démonstration Supposons qu'il existe $\vec{u}' \notin \{ n\vec{u} / n \in \mathbb{Z} \}$ et tel que $t_{\vec{u}'}(F_1) = F_1$.

$$t_{\vec{u}'}(F_1) = t_{\vec{u}'}(\{ t_{i\vec{u}}(M) / i \in \mathbb{Z} \}) = \{ t_{i\vec{u} + \vec{u}'}(M) / i \in \mathbb{Z} \} = F_1$$

$i\vec{u} + \vec{u}'$ appartient donc à $\{ n\vec{u} / n \in \mathbb{Z} \}$ et il existe donc $j \in \mathbb{Z}$ tel que $i\vec{u} + \vec{u}' = j\vec{u}$ c'est à dire $\vec{u}' = (j-i)\vec{u}$ ce qui contredit l'hypothèse et achève la démonstration de la propriété énoncée.

Propriétés d'une frise associée à \mathcal{F}_1

- Elle n'a pas de centre de symétrie
- Elle n'a aucun axe de symétrie
- Il n'existe pas de symétrie glissée la laissant invariante.



$$\mathcal{F}_2 = \langle \tau, \sigma_A \rangle = \langle \sigma_A, \sigma_M \rangle$$

Les seules isométries directes autres que les translations sont les rotations. Essayons de construire un groupe de frise contenant une rotation.

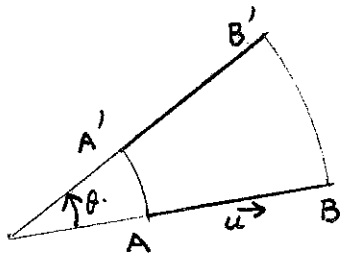
Proposition. Si une rotation conserve une frise de vecteur \vec{u} , alors c'est une symétrie centrale (ou l'identité).

Démonstration : Soit ρ une rotation conservant une frise F de vecteur \vec{u} .

$$\rho \circ t_{\vec{u}} \circ \rho^{-1} = \rho \circ \text{Id} \circ \rho^{-1} = \text{Id}.$$

donc $\rho \circ t_{\vec{u}} \circ \rho^{-1}$ (composé de 3 isométries conservant F) est une translation $t_{\vec{v}}$ conservant F .

Or les seules translations ayant cette propriété sont les translations $t_{n\vec{u}}$ donc $t_{\vec{v}} = t_{n\vec{u}}$ et $\vec{v} = n\vec{u}$ (1)



Soit $\vec{AB} = \vec{u}$ et $\rho(A) = A'$
 $\rho(B) = B'$

$$\begin{aligned} B &= A + \vec{u} \text{ donc } B' = \rho(B) = \rho(A) + \rho(\vec{u}) \\ \overrightarrow{A'B'} &= B' - A' = \rho(B) - \rho(A) = \rho(\vec{u}) \end{aligned} \quad (2)$$

On a donc finalement

$$\rho \circ t_{\vec{u}} \circ \rho^{-1}(A') = t_{\vec{v}}(A')$$

$$\rho \circ t_{\vec{u}}(A) = t_{\vec{v}}(A')$$

$$\rho(B) = t_{\vec{v}}(A')$$

$$B' = t_{\vec{v}}(A') \text{ d'où } \overrightarrow{A'B'} = \vec{v} \text{ et}$$

$$\text{d'après (1) et (2)} \quad \underline{\vec{v} = n\vec{u} = \rho(\vec{u})} \quad (3)$$

Comme ρ est une isométrie

$$\|\rho(\vec{u})\| = \|\vec{v}\| \text{ et d'après (3)} \quad \|\rho(\vec{u})\| = |n| \|\vec{u}\|$$

7.

donc $|n| = 1$.

Si $n = 1$ $\vec{p}(\vec{u}) = \vec{u}$ donc $\vec{p} = \text{Id}$ et

p est une translation, mais comme p est aussi une rotation c'est l'identité.

Si $n = -1$ $\vec{p}(\vec{u}) = -\vec{u}$ d'où $\vec{p} = -\text{Id}$

p est donc une symétrie centrale

B

Proposition 2 Soit \mathcal{G} un groupe de flèche de vecteur \vec{u} contenant une symétrie centrale σ_A . Soit A_+ le translate de A par $\tau = t\vec{u}$ et M le milieu de $[AA_+]$ alors \mathcal{G} contient la symétrie centrale σ_M .

Démonstration Soit $f = \tau \circ \sigma_A$ alors $\vec{f} = \text{Id} \circ (-\text{Id}) = -\text{Id}$ donc f est une symétrie centrale (appartenant à \mathcal{G})

Calculons $\tau \circ \sigma_A(M) = \tau(\sigma_A(M))$

$$\begin{array}{ccccccc} A & & M & & A_+ \\ \hline & \longrightarrow & & & \longrightarrow \\ M = A + \frac{\overrightarrow{AA_+}}{2} & & & & & & \end{array}$$

$$\begin{aligned} &= \tau\left(\sigma_A(A) + \overrightarrow{\sigma_A(AA_+)}\right) \\ &= \tau\left(A + \frac{\overrightarrow{A_+A}}{2}\right) \end{aligned}$$

$$\underline{\tau \circ \sigma_A(M)} = \tau(A) + \text{Id}\left(\frac{\overrightarrow{A_+A}}{2}\right) = A_+ + \frac{\overrightarrow{A_+A}}{2} = \underline{M}$$

M est le point fixe de la symétrie centrale $\tau \circ \sigma_A$ qui appartient à \mathcal{G} .

\mathcal{G} contient σ_M

Proposition 3. Si \mathcal{G} est un groupe de flèche de vecteur \vec{u} contenant une symétrie centrale σ_A (et donc aussi la symétrie σ_M : cf. prop. 2) alors il contient aussi les symétries centrales de centres $\tau^i(A)$ et $\tau^i(M)$

Démonstration

On applique la première partie du théorème II₄ de B de la page 3.

Et M étant centres de symétrie de l'ensemble de points F, et τ^i étant des isométries laissant F invariante, alors les points $\tau^i(A)$ et $\tau^i(M)$ sont centres de symétrie de la figure.

PROPOSITION 4 Si \mathcal{F} est un groupe de fusée de vecteur \vec{u} contenant les symétries centrales définies ci-dessus, alors ce sont les seules.

Démonstration Soit P le centre d'une symétrie centrale appartenant à \mathcal{F} .

$\sigma_P \circ \sigma_A$ est un élément de \mathcal{F} . (\mathcal{F} est un groupe)

La composition de deux symétries centrales étant une translation et les translations de \mathcal{F} transformant A en A_n , on a donc:

$$\sigma_P \circ \sigma_A(A) = A_n \text{ donc } \sigma_P(A) = A_n$$

et donc P est le milieu de $[A A_n]$

Les milieux des segments $[A A_n]$ sont des A_i ou des M_i (cf. page 4)

\mathcal{F} contient donc les seules symétries centrales de centres A_i et M_i

CONSTRUCTION DU GROUPE \mathcal{F}_2

Soit $\mathcal{F}_2 = \langle T, \sigma_A \rangle$

On a vu précédemment que $T \circ \sigma_A = \sigma_M$, elle est donc involutive ce qui entraîne

$$\underline{T \circ \sigma_A} = (T \circ \sigma_A)^{-1} = \sigma_A^{-1} \circ T^{-1} = \underline{\sigma_A \circ T^{-1}}$$

Toute chaîne de type $T^i \circ \sigma_A^{j_1} \circ T^{j_2} \circ \sigma_A^{k_1} \circ T^{l_1} \dots$ ou $\sigma_A^{k_2} \circ T^{i_1} \circ \sigma_A^{l_2} \circ T^{r_1} \dots$

pourra donc s'écrire sous la forme $\sigma_A^{j_1} \circ T^i$
et $j \in \{0, 1\}$.

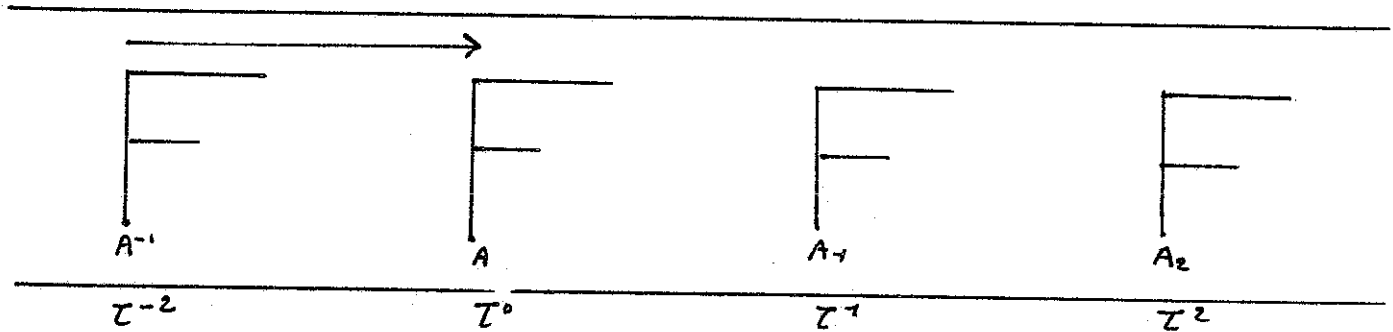
La composée d'une translation et d'une symétrie σ_A étant une symétrie σ_M , le groupe \mathcal{F}_2 peut être engendré par σ_A et σ_M .

d'où $\mathcal{F}_2 = \langle T, \sigma_A \rangle = \langle \sigma_A, \sigma_M \rangle$

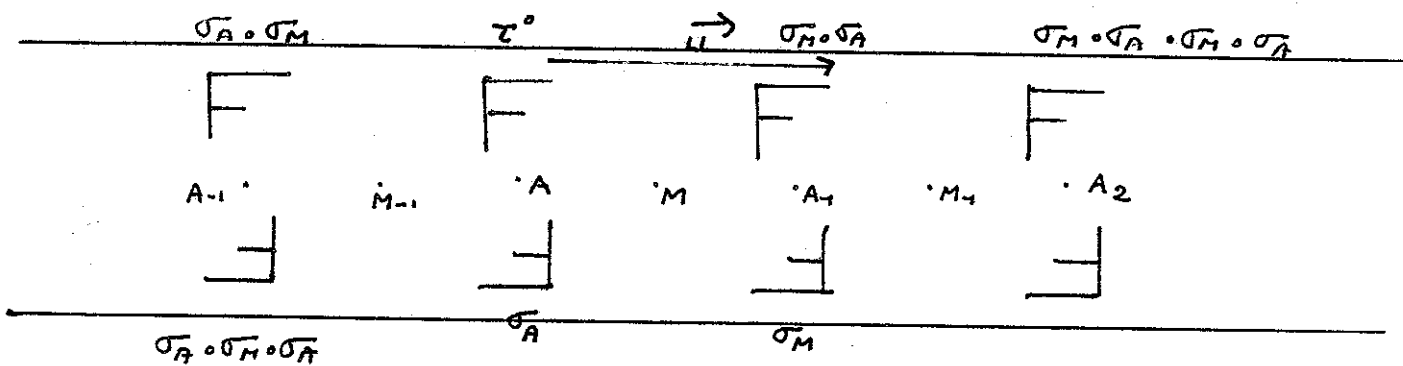
Propriétés d'une frise associée à \mathcal{F}_2

- Elle a des centres de symétrie
- Elle n'a pas d'axe de symétrie
(les éléments du groupe ne permettent pas de générer des réflexions).
- Il n'existe pas de symétrie glissée la laissant invariante.

ILLUSTRATIONS. Frise associée à \tilde{F}_1



Frise associée à \tilde{F}_2



11.



$$\underline{G_1} = \langle T, \sigma_c \rangle$$

Les seules isométries directes du plan étant les translations et les rotations, si un groupe de frise G ne contient que des isométries directes ce ne peut être que G_1 ou G_2 .

Pour obtenir d'autres groupes de frise (rappel: il n'y a pas de groupe d'isométries indirectes) nous allons enrichir les deux groupes G_1 et G_2 avec des isométries indirectes.

Considérons d'abord l'adjonction de symétries orthogonales.

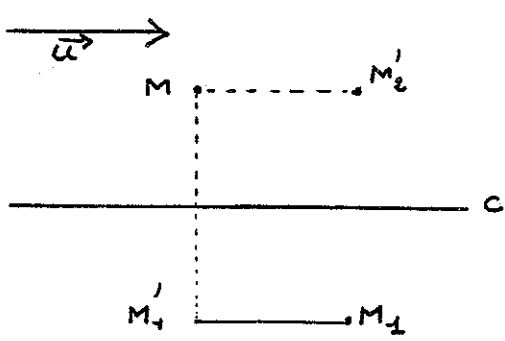
Remarquons tout d'abord que si on appelle " c " une droite dirigée par \vec{u} (vecteur de la frise), cette droite est invariante et par quelles transformations que les symétries orthogonales conservant " c " sont les symétries d'axe " c " ou d'axe " ℓ " avec $\ell \perp c$.

Soit $\underline{G'_1} = \langle T, \sigma_c \rangle$ \vec{c} droite dirigée par \vec{u}
 σ_c : symétrie d'axe c

Remarque: $T \circ \sigma_c$ est une symétrie glissée d'axe " c " et de vecteur \vec{u} et on a

$$T \circ \sigma_c = \sigma_c \circ T$$

Démonstration



$$\text{Soit } M_4 = T \circ \sigma_c(M) \text{ et } M'_4 = \sigma_c(M)$$

Soit M'_2 le point tel que

$$\overrightarrow{MM'_2} = \vec{u}$$

Puisque $M'_1 M_4 = \vec{u}$, le quadrilatère $MM'_2 M'_1 M_4$ est un parallélogramme et c qui est parallèle à (MM'_2) et $(M'_1 M_4)$ est axe de symétrie de ce parallélogramme, puisque $M'_4 = \sigma_c(M)$.

Les points M'_2 et M_4 sont donc symétriques par rapport à " c " et $M_4 = \sigma_c(M'_2) = \sigma_c(T(M)) = \sigma_c \circ T(M)$

On a bien:

$$\underline{T \circ \sigma_c = \sigma_c \circ T}$$

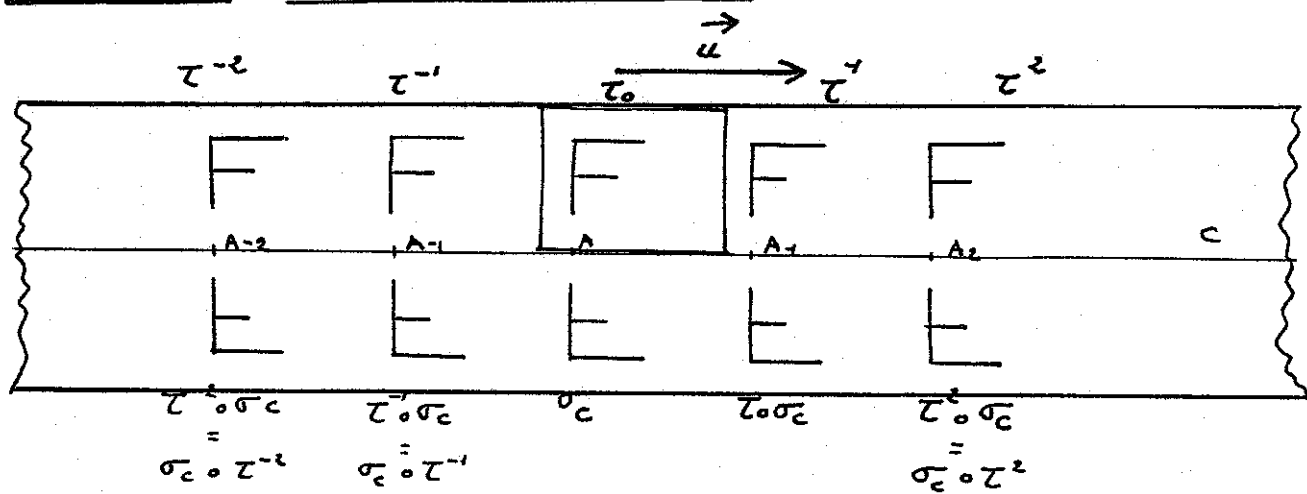
Le groupe \mathcal{G}_c^+ constitué de translations, de la symétrie d'axe c , de symétries glissées est, d'après ce qui précède, commutatif.

Chaque élément de ce groupe peut s'écrire $\sigma_c^j \circ \tau^i$. $j \in \{0, 1\}$.

Propriétés d'une frise associée à \mathcal{G}_c^+

- Elle n'a pas de centre de symétrie.
- "c" droite dirigée par le vecteur de la frise est axe de symétrie.
- Il existe des symétries glissées qui la laissent invariante.
(en effet A_n peut être considéré comme l'image de A dans la symétrie glissée $\sigma_c \circ \tau^n$)

Illustration. Frise associée à \mathcal{G}_c^+ .



Ce qui est encadré permet certes de constituer la frise, mais ce n'est pas le "motif" (cf la définition que nous donnons)

13.

$$\mathcal{G}_2^1 = \langle T, \sigma_A, \sigma_c \rangle$$

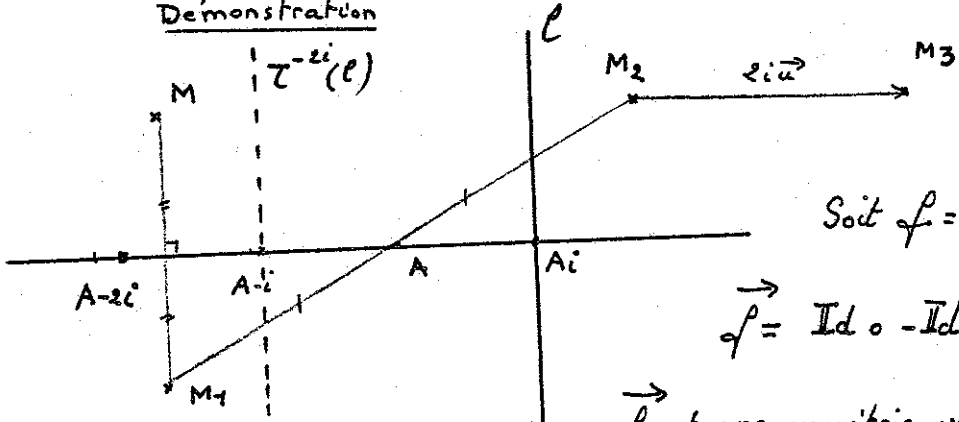
$$\begin{array}{cccccccccc} \frac{1}{+} & \frac{1}{+} \\ \frac{1}{+} & \frac{1}{+} \end{array}$$

Considérons le groupe engendré par les éléments de \mathcal{G}_2^1 et la symétrie axiale d'axe c (c étant une droite dirigée par \vec{u})

Remarquons que σ_c commute à la fois avec T et σ_A et que donc les éléments de \mathcal{G}_2^1 sont de la forme $\sigma_c^{k_1} \circ \sigma_A^{k_2} \circ T^i$. Le sous-groupe de translations de \mathcal{G}_2^1 est le même que celui de \mathcal{G}_2 ; l'adjonction de σ_c et des compositions qui s'en déduisent n'ajoute pas de translations supplémentaires.

\mathcal{G}_2^1 contient les symétries orthogonales d'axes perpendiculaires à c et passant par $T^i(A)$

Démonstration



Exemple. $M_3 \in T^{-2i} \circ \sigma_A \circ \sigma_c(M)$
et $M_3 = \sigma_c(M)$

$$\text{Soit } f = T^{-2i} \circ \sigma_A \circ \sigma_c$$

$$\rightarrow f = \text{Id} \circ -\text{Id} \circ \sigma = -\sigma$$

f est une symétrie vectorielle. σ étant une symétrie d'axe c , $-\sigma$ est une symétrie vectorielle par rapport à $\{\vec{u}\}$ et $-\sigma$ est une symétrie vectorielle par rapport à $\{\vec{u}\}^\perp$.

f est une symétrie orthogonale par rapport à une droite perpendiculaire à c . A condition qu'elle admette une image un point invariant.

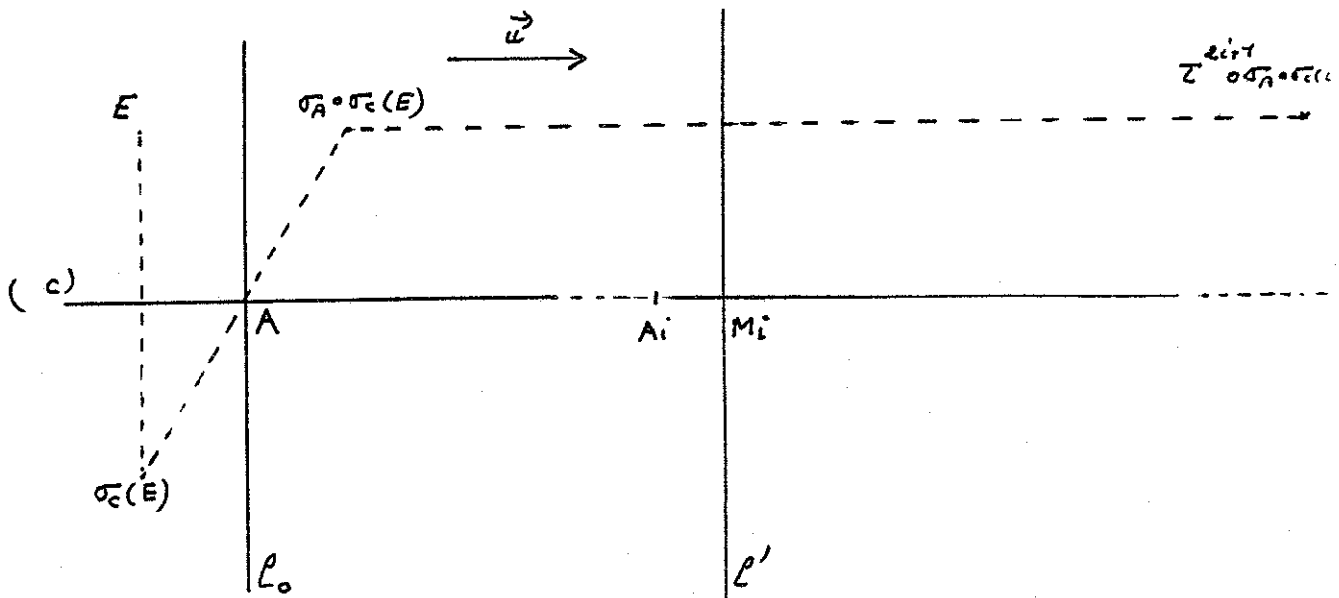
Soit ℓ la droite perpendiculaire à c passant par $T^i(A) = A_i$

$$f(\ell) = T^{-2i} \circ \sigma_A \circ \sigma_c(\ell) = T^{-2i} \circ \sigma_A(\ell) = T^{-2i}(T^{-2i}(\ell)) = \ell$$

car l'image de ℓ dans σ_A est une droite parallèle à ℓ .

* f est donc la symétrie orthogonale d'axe perpendiculaire à c passant par $T^i(A)$.

\mathcal{G}_2^+ contient les symétries orthogonales d'axes perpendiculaires à "c" et passant par $\tau^i(M)$ avec M milieu de $[A, \tau(A)]$



Soit $f' = \tau^{e_i+1} \circ \sigma_A \circ \sigma_c$. C'est une symétrie orthogonale par rapport à une droite perpendiculaire à "c" (démonstration analogue à la précédente et il faut toujours que elle admette au moins un point invariant - Cf remarque de la p 13 -)

Soit l_0 la droite perpendiculaire à "c" passant par A et soit $l' = \tau^{e_i+1} \vec{u}(l_0)$ c'est à dire la droite perpendiculaire à c passant par M_i

$$\begin{aligned} f'(l) &= \tau^{e_i+1} \circ \sigma_A \circ \sigma_c(l') = \tau^{e_i+1} \circ \sigma_A(l') = t_{(e_i+1)\vec{u}} \circ t_{-(e_i+1)\vec{u}}(l) \\ &= t_{\frac{(e_i+1)}{2}\vec{u}}(l) = l' \end{aligned}$$

l est invariante par f' .

f' est la symétrie orthogonale d'axe perpendiculaire à c passant par M_i (une remarque -)

Si on appelle "a" la droite perpendiculaire à "c" passant par A, alors

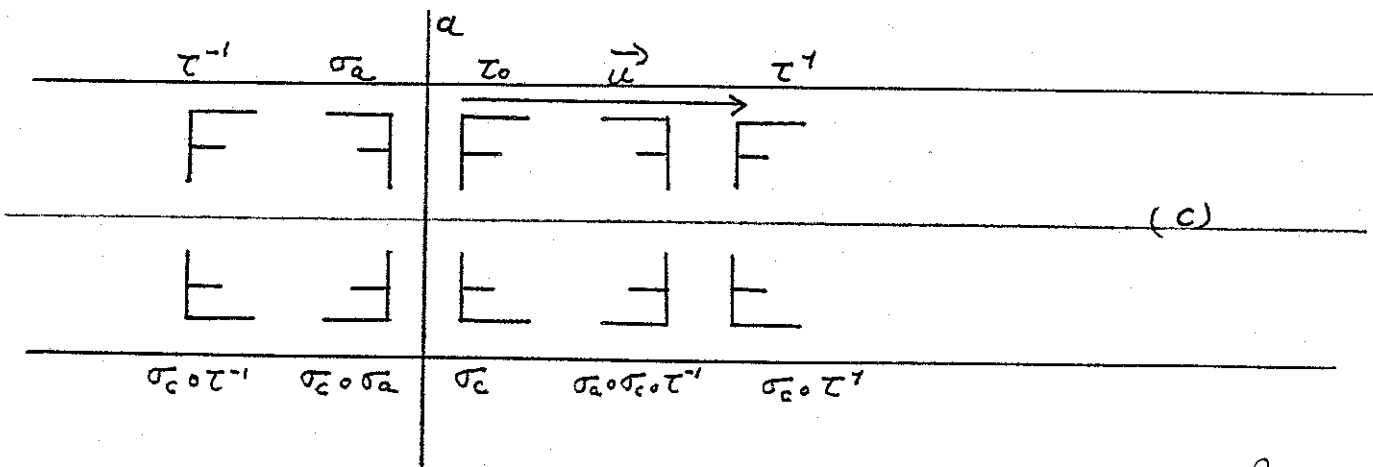
$\sigma_A = \sigma_a \circ \sigma_c$ et le groupe $\mathcal{G}_2^+ = \langle \tau, \sigma_A, \sigma_c \rangle$ peut être considéré comme engendré par τ, σ_a et σ_c

$$\mathcal{G}_2^+ = \langle \tau, \sigma_A, \sigma_c \rangle = \langle \tau, \sigma_a, \sigma_c \rangle$$

Propriétés d'une frise associée au groupe \mathcal{G}_2^+

- Elle a des centres de symétrie
- Elle possède deux types d'axes de symétrie
 - 1- un axe "c" (c dirigée par \vec{u})
 - 2- des axes ai et mi perpendiculaires à c
- Il existe des symétries glissées la laissant invariante (ce sont les $\sigma_c \circ \tau^i$)

Illustration : Frise associée à \mathcal{G}_2^+

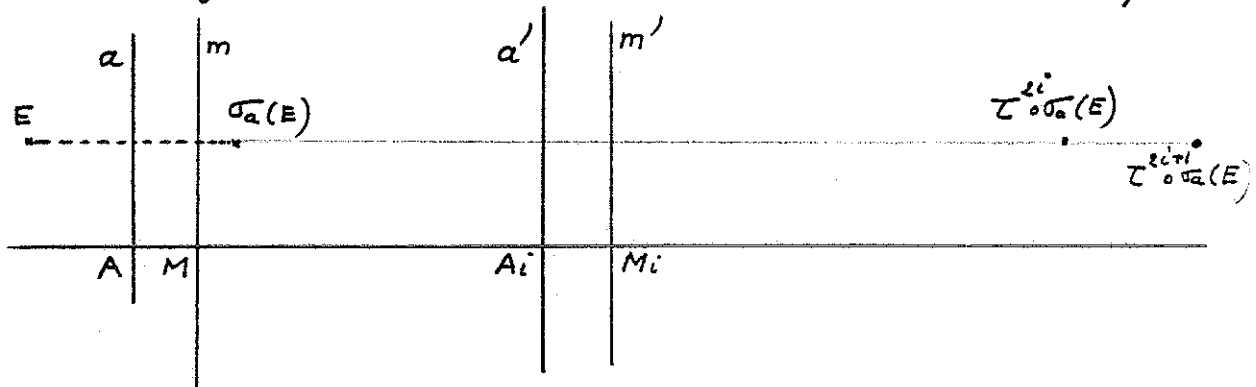


16.

$$\mathcal{G}_7^e = \langle \tau, \sigma_a \rangle$$



Considérons un groupe de frise \mathcal{F} contenant les translations τ^i et une symétrie axiale (σ_a avec $a \perp c$) et ne contenant pas de symétrie centrale (ce qui reviendrait à enrichir \mathcal{F}_2)



① Le groupe contient les symétries axiales d'axes a_i ($a_i = \tau^i(a)$)

On applique la deuxième partie du théorème II+ de la page 3.

"a" est un axe de symétrie de la frise F , τ^i est une isométrie laissant F invariante donc $\tau^i(a)$ est un axe de symétrie de la frise.

② Le groupe contient les symétries axiales d'axes m_i : ($m_i = \tau^i(m)$) et m est la médiatrice de $[AA_1]$

Démontrons que σ_m appartient à \mathcal{G}

$\tau \circ \sigma_a$ appartient au groupe et $\overrightarrow{\tau \circ \sigma_a} = \overrightarrow{\text{Id}} \circ \overrightarrow{\sigma_a} = \overrightarrow{\sigma_a}$
donc $\tau \circ \sigma_a$ est une symétrie axiale.] Toujours la même feuille.
Cherchons l'axe de cette symétrie.

Soit m la médiatrice de $[AA_1] = t_{\frac{\vec{u}}{2}}(a)$

$$t_{\vec{u}} \circ \sigma_a(m) = t_{\vec{u}} \circ t_{-\frac{\vec{u}}{2}}(a) = t_{\frac{\vec{u}}{2}}(a) = m.$$

$\tau \circ \sigma_a$ est la symétrie σ_m . Ici aussi -

En appliquant de la même façon que précédemment le théorème II+, page 3 on déduit que le groupe contient les symétries axiales d'axe m_i ($m_i \perp c$)

③ Démontrons que le groupe ne contient pas d'autres symétries axiales.

Supposons que \mathcal{G} contienne une réflexion σ_p

- $P \neq C$ car $\sigma_p \circ \sigma_a$ serait une symétrie centrale et le groupe n'en contient pas.
- Si $P \perp C$ alors $\sigma_p \circ \sigma_a$ est une translation et comme toute translation de \mathcal{G} elle doit transformer A en un A_n .

$\sigma_p \circ \sigma_a(A) = A_n \Rightarrow \sigma_p(A) = A_n$ et donc $P \perp C$?
 P est perpendiculaire à C on A_n et donc $P = A_n$.
et σ_p est une des symétries étudiées précédemment.

- On a vu page 14 qu'il ne pouvait y avoir d'autres axes de symétrie que C ou des droites perpendiculaires à C .

Remarques sur les éléments du groupe

$$(\tau \circ \sigma_a)^{-1} = \sigma_a^{-1} \circ \tau^{-1} = \sigma_a \tau^{-1}$$

Gr $\tau \circ \sigma_a$ est une réflexion, donc involutif donc égal à sa réciproque

$$\tau \circ \sigma_a = (\tau \circ \sigma_a)^{-1} = \sigma_a \tau^{-1}$$

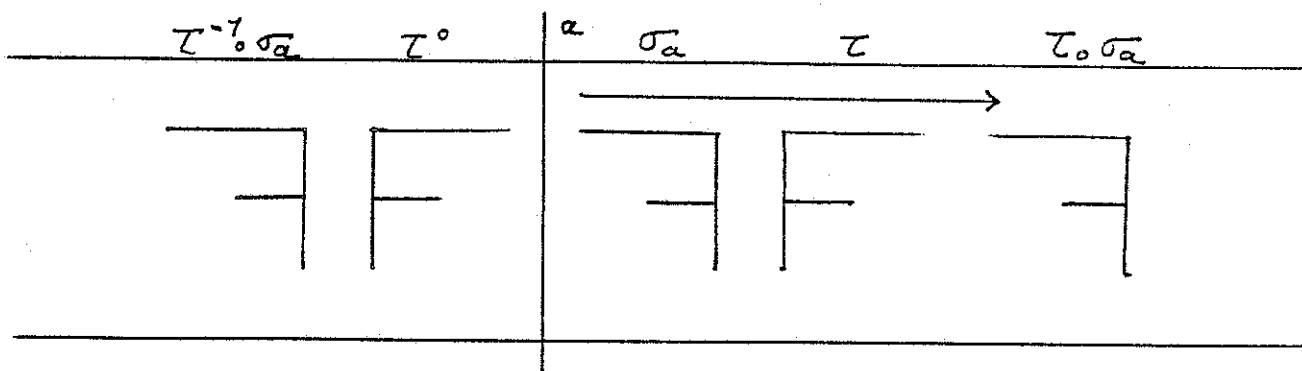
Chaque élément du groupe \mathcal{G}_1^2 pourra donc s'écrire sous la forme $\sigma_a^j \circ \tau^i$
 $j \in \{0, 1\}$.

18.

Propriétés d'une frise associée au groupe F_4^2

- Elle n'a pas de centre de symétrie
- Elle n'a pas d'axe de symétrie dirigé par \vec{u}
- Elle a des axes de symétrie orthogonaux à \vec{u} .

Illustration. Frise associée au groupe F_4^2



3

$$\mathcal{G}_2 = \langle \tau, \sigma_A, \sigma_p \rangle$$



Considérons un groupe contenant les translations τ^i , une symétrie centrale σ_A et une réflexion d'axe q .

Si $q=c$ ou $q \perp c$ en A_i ou M_i alors c'est le groupe \mathcal{G}_2' déjà étudié.

Pour obtenir un groupe nouveau nous supposerons q orthogonal à "c" et ne passant ni par A_i ni par M_i .

- * Si un tel groupe existe, q est médiatrice de $[AM_i]$

Démonstration

A étant centre de symétrie de la fise et σ_q une isométrie laissant la fise invariante alors d'après le théorème II+, page 3, $\sigma_q(A)$ est centre de symétrie de F .

Gr, d'après l'étude du groupe \mathcal{G}_2' , tout centre de symétrie ne peut être qu'un A_i ou un M_i .

Si $\sigma_q(A) = A_i$ alors q passe par un A_j ou M_k ce qui est contraire aux données.

Si $\sigma_q(A) = M_i$ alors q est médiatrice de $[AM_i]$

L'application du théorème II+, page 3 avec q et les σ_{A_i} montre que \mathcal{G}_2' contient les symétries ayant pour axes les médiatrices de $[AM_i]$ pour tout i .

En effet, on a montré que pour un certain indice i , la médiatrice de $[AM_i]$ est axe de symétrie et donc pour tout j , $\sigma_{A_j}(q) = q'$ est aussi axe de symétrie. q' est médiatrice de $\sigma_{A_j}[AM_i] = [A_{qj}, M_{qj-i-y}]$

q' est donc médiatrice de $[A, M_{qj-i-y}]$ pour tout j .

20.

En particulier \mathcal{G} contient σ_p avec p médiatrice de $[AM]$

\mathcal{G} ne peut contenir σ_a (avec $a \perp c$ en A)

En effet $\sigma_p \circ \sigma_a$ est une translation et $\sigma_p \circ \sigma_a(A) = \sigma_p(A) = M$.

Cela est impossible car toute translation d'un groupe de
prise transforme A en un A_i .

\mathcal{G} ne peut contenir σ_c

En effet $\sigma_p \circ \sigma_c \circ \sigma_A = \sigma_p \circ \sigma_a$. et $\sigma_p \circ \sigma_a$ n'appartient pas au groupe (cf. ci-dessus).

Nous avons considéré toutes les possibilités d'enrichissement de \mathcal{G}_2 par des symétries axiales.

Notre nouveau et dernier groupe construit à partir de \mathcal{G}_2 est donc.

$$\mathcal{G}_2' = \langle T, \sigma_A, \sigma_p \rangle$$

p étant la
mediatrice
de $[AM]$

Remarques

$$\overrightarrow{\sigma_p \circ \sigma_A} = \overrightarrow{\sigma_p} \circ -\text{Id} = -\overrightarrow{\sigma_p} \text{ donc}$$

$\sigma_p \circ \sigma_A$ est une symétrie axiale d'axe c ou une symétrie glissée d'axe c . } oui

σ_c n'étant pas dans le groupe ; c'est donc une symétrie glissée qui transforme A en M car

$$\overrightarrow{\sigma_p \circ \sigma_A(A)} = \overrightarrow{\sigma_p(A)} = M$$

\overrightarrow{AM} étant égal à $\frac{\overrightarrow{u}}{2}$, c'est la symétrie glissée d'axe c et de vecteur $\frac{\overrightarrow{u}}{2}$. et on a $\gamma^2 = t_{\overrightarrow{u}} = \text{Id}$

21.

$$\sigma_p \circ \sigma_A = \gamma$$

$$\sigma_p \circ \sigma_A \circ \sigma_A = \gamma \circ \sigma_A$$

$$\underline{\sigma_p} = \gamma \circ \sigma_A.$$

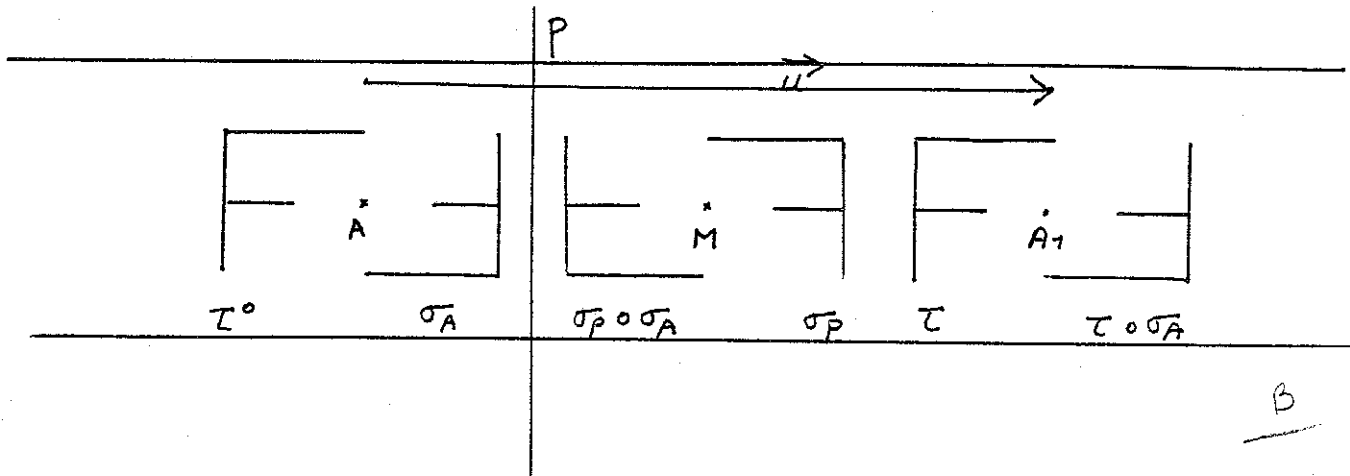
Le groupe \mathcal{F}_2^2 peut donc être engendré par γ et σ_A avec γ tel que $\gamma^2 = \tau$.

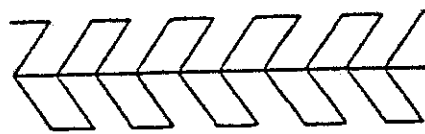
$$\underline{\mathcal{F}_2^2 = \langle \tau, \sigma_A, \sigma_p \rangle = \langle \gamma, \sigma_A \rangle}$$

Propriétés d'une frise associée au groupe \mathcal{F}_2^2

- Elle a des centres de symétrie
- Elle n'a pas d'axe de symétrie dirigé par \vec{u} .
- Elle a des axes de symétrie perpendiculaires à \vec{c}
- Il existe des symétries glissées qui la conservent.

ILLustration: Frise associée au groupe \mathcal{F}_2^2





$$\mathcal{F}_1^3 = \langle \gamma \rangle \quad \gamma^2 = \tau$$

Soit \mathcal{G} un groupe de flèche contenant une symétrie glissée α .

α doit conserver " c " - Elle est d'axe c et α^2 est une translation $t_{\vec{n}u}$.

④ Supposons que $\alpha^2 = \tau^{2n} = t_{\vec{n}u}$ (ù vecteur de la flèche)

$\alpha \cdot \tau^{-2n} = \text{Id}$ et comme translation et symétrie glissée de vecteurs colinéaires commutent on a:

$$(\alpha \cdot \tau^{-n})^2 = \text{Id}.$$

$\alpha \cdot \tau^{-n}$ composé d'une isométrie indirecte et d'une isométrie directe est indirecte - C'est donc une réflexion ou une symétrie glissée - Comme d'autre part son carré est égal à Id , elle est involutive c'est donc une réflexion d'axe c . $\underline{\underline{B}}$

$$\alpha \cdot \tau^{-n} = \sigma_c \Rightarrow \alpha = \sigma_c \circ \tau^n$$

\mathcal{G} contient alors σ_c et $\sigma_c \circ \tau^m$ pour tout m

- S'il n'y a pas de symétrie centrale c'est \mathcal{F}_1^7

- S'il y'a des symétries centrales c'est \mathcal{F}_2^7 .

② Supposons $\alpha^2 = \tau^{2n+1}$ alors.

$\tau^{-2n} \cdot \alpha^2 = \tau$ et par commutativité on ait.

$$(\tau^{-n} \cdot \alpha)^2 = \tau.$$

Posons $\gamma = \tau^{-n} \cdot \alpha$. C'est une isométrie indirecte donc une réflexion ou une symétrie glissée - Son carré est $\tau \neq \text{Id}$ - C'est une symétrie glissée d'axe c .

$\gamma^2 = \tau$ transforme A en A_1 donc γ transforme A en M

23.

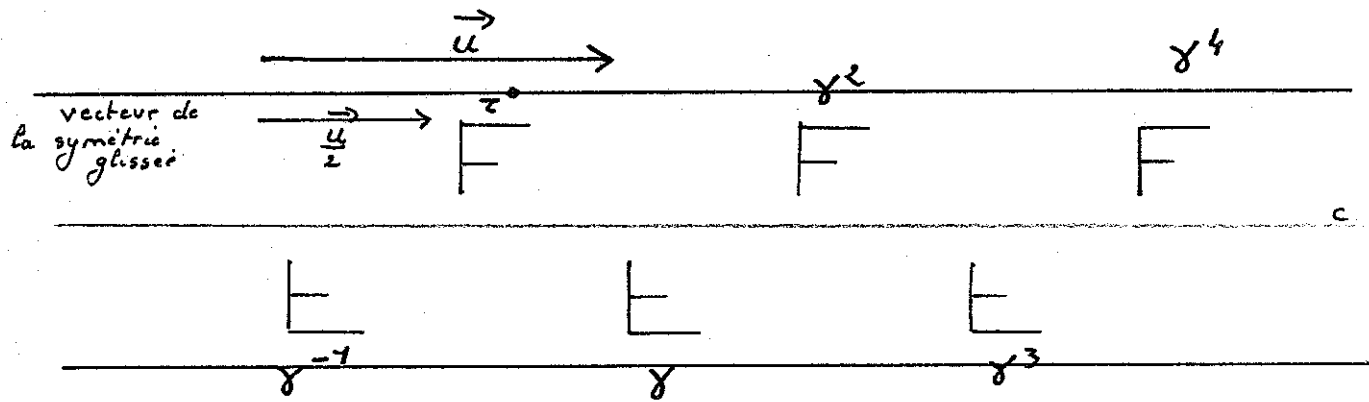
Considérons le groupe \mathcal{F}_y^3 générée par γ
symétrie glissée d'axe c . Posons. $\gamma^2 = \tau$.

\mathcal{F}_y^3 est un groupe de frise - Il contient des symétries glissées et des translations. γ^{2m} . Ces translations conservent bien la frise par construction du groupe.

Propriétés d'une frise associée à \mathcal{F}_y^3

- Elle n'a pas de centre de symétrie.
- Elle n'a pas d'axe de symétrie.
- Elle n'est invariante que par symétries glissées (et translations comme toutes les autres).

Illustration. Frise associée à \mathcal{F}_y^3 .



CONCLUSION

① Si on enrichit \mathcal{F}_2 d'une symétrie d'axe "c", alors des symétries d'axes perpendiculaires à "c" et des symétries glissées sont automatiquement générées d'où le groupe \mathcal{F}_2^4 .

Si on enrichit \mathcal{F}_2 d'une symétrie d'axe " ρ " ($\rho \perp c$), alors des symétries glissées se trouvent générées d'où le groupe \mathcal{F}_2^2 .

Enfin, l'adjonction d'une symétrie glissée à \mathcal{F}_2 conduit à l'existence de symétries axiales (par composition de symétries centrales et symétries glissées) ce qui redonne \mathcal{F}_2^2 .

Toutes les possibilités avec \mathcal{F}_2 ont été explorées -

② \mathcal{F}_1 augmenté de σ_c amène au groupe \mathcal{F}_1^4

\mathcal{F}_1 augmenté de σ_ℓ amène au groupe \mathcal{F}_1^2

\mathcal{F}_1 augmenté de γ ($\gamma = \tau$) amène au groupe \mathcal{F}_1^3

\mathcal{F}_1 augmenté de σ_ℓ et σ_c conduit à l'existence de symétries centrales : on retombe sur les groupes \mathcal{F}_2^1 ou \mathcal{F}_2^2 .

\mathcal{F}_1 augmenté de γ et σ_c donne \mathcal{F}_1^4 .

La seule possibilité restante est \mathcal{F}_1 augmenté de σ_ℓ et γ

Soit $\mathcal{G} = \langle \tau, \gamma, \sigma_\ell \rangle$ avec $\gamma = \tau$ et $(\ell \perp c)$

$$\sigma_\ell \circ \gamma = (\sigma_\ell \circ \sigma_c) \circ t_{\frac{\ell}{2}} = \sigma_{A_{ouM}} \circ t_{\frac{\ell}{2}} = \sigma_{A_{ouM}}$$

\mathcal{G} contient une symétrie centrale au moins, c'est donc \mathcal{F}_2^2 .

Tous les possibilités ont été étudiées - Il n'y a donc que sept groupes de frises.

Résumons les propriétés des différents groupes.

	Il existe une symétrie centrale.	Il existe une symétrie axiale d'axe c	Il existe une symétrie parallèle à c	Il existe une symétrie glissée
\mathcal{F}_1	non	non	non	non
\mathcal{F}_1^1	non	oui	non	oui
\mathcal{F}_1^2	non	non	oui	non
\mathcal{F}_1^3	non	non	non	oui
\mathcal{F}_2	oui	non	non	non
\mathcal{F}_2^1	oui	oui	oui	oui
\mathcal{F}_2^2	oui	non	oui	oui

C'est sur ce résumé qu'est basée la méthode de recherche suivante "Tour question key" (Recherche en boucle questions du document)

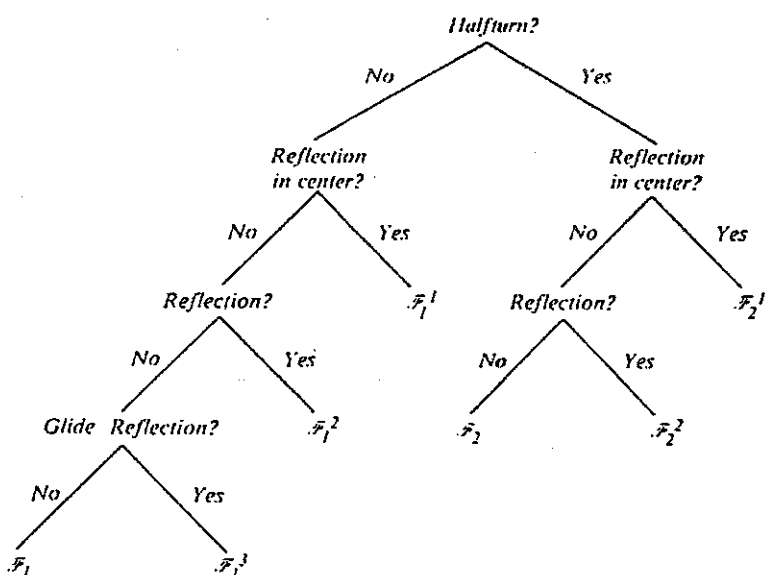


Figure 10.11

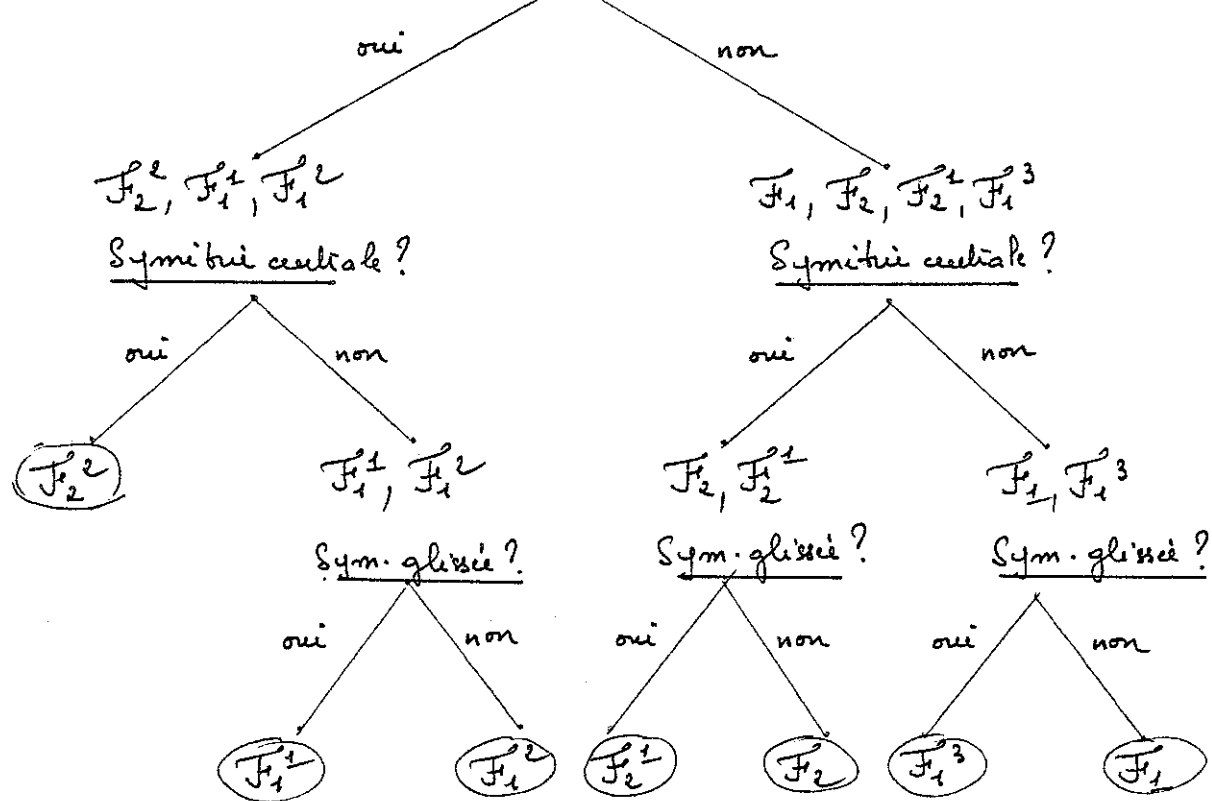
Remarque: Il n'y a que sept groupes, trois questions doivent donc suffire pour déterminer le groupe associé à une frise (en effet $7 < 2^3$)

Ex: 10.7 "Three question key" Nonsense tableau.

	Il existe un seul type de symétrie axiale d'axe c ou a ($a \perp c$)	Il existe une symétrie centrale	Il existe une symétrie glissée.
F_1^1	non	non	non
F_1^2	oui	non	oui
F_1^3	oui	non	non
F_2	non	oui	non
F_2^1	non	oui	oui
F_2^2	oui	oui	oui

d'où l'arbre:

Un seul type de symétrie axiale ?

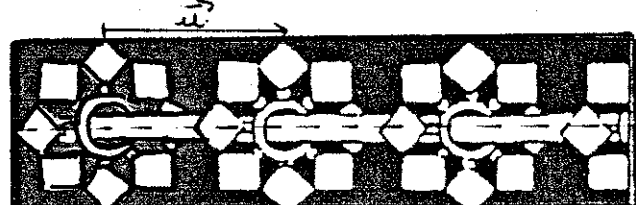
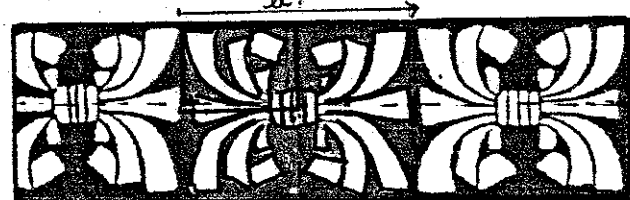
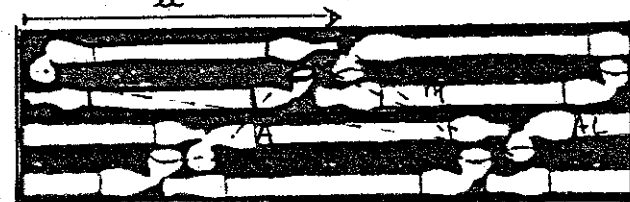
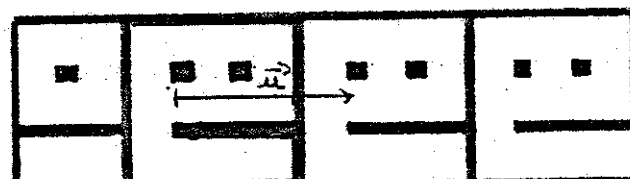
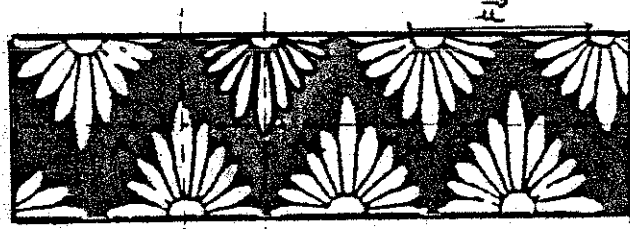
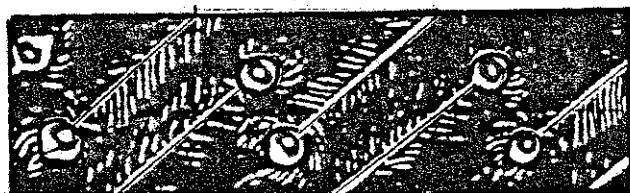


B

Ex. 10.18. Questions à se poser.

- ① existe-t-il un et un seul type de symétrie axiale ?
- ② existe-t-il une symétrie centrale ?
- ③ existe-t-il une symétrie glissée ?

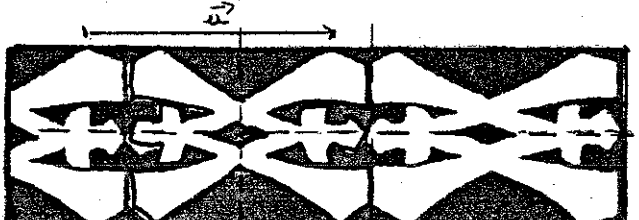
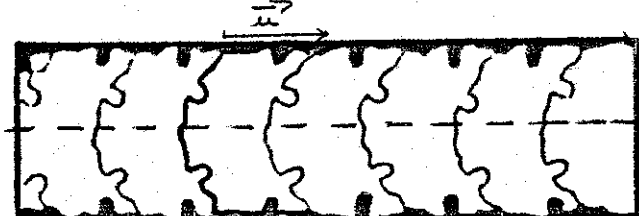
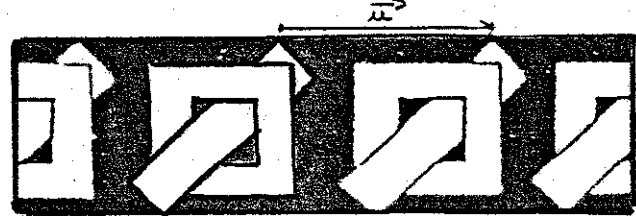
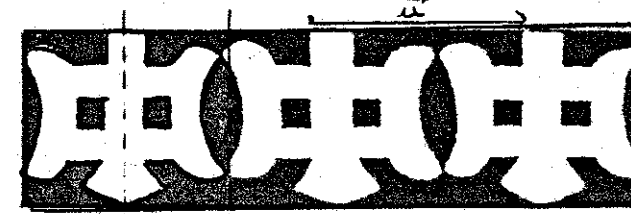
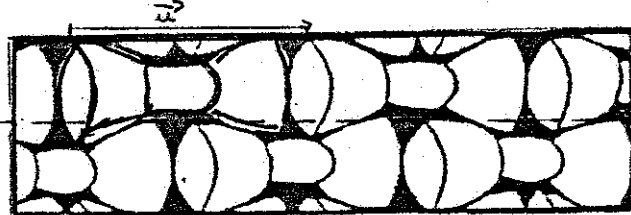
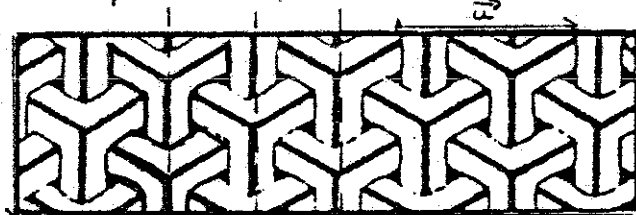
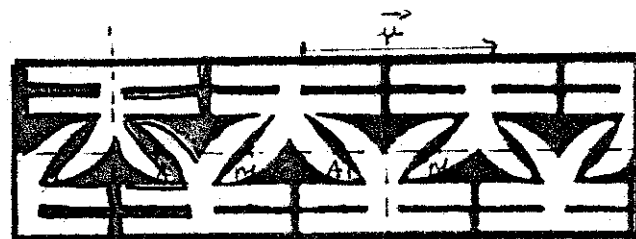
(on suppose que les dessins sont parfaitement réguliers)



Réponses.			GROUPE ASSOCIE.
①	②	③	
non	oui	non	F_2
oui	oui		F_2
non	non	non	F_1
non	non	non	F_1 (en ce ne tient pas compte des chevauchements il s'agit de F_2)
non	oui	non	F_2
non	oui	oui	F_1 F_2
oui	non	oui	F_1

Suite de l'ex: 10-18 : Rappel des questions.

- ① existe-t-il un et un seul type de symétrie axiale ?
- ② existe-t-il une symétrie centrale ?
- ③ existe-t-il une symétrie glissée ?



Réponses			GROUPE ASSOCIE
①	②	③	
oui	oui	-	F_2
oui	non	non	F_1
non	non	oui	F_4^3
oui	non	non	F_1^2
non	non	non	F_1
oui	non	oui	F_1^1
non	oui	oui	F_2^1

Ex 10-14

eugendre

Le groupe générée par 2 symétries glissées de même axe est-il un groupe de frise ?

Soient α et β 2 symétries glissées de même axe Δ et de vecteurs respectifs \vec{u} et \vec{v} , avec Δ dirigée par \vec{u} et $\vec{v} = k\vec{u}$.

Soit \mathcal{G} le groupe d'isométries générée par α et β . Il n'existe que 4 groupes de frise contenant des symétries glissées.

$(\mathcal{G}_1^1; \mathcal{G}_2^1; \mathcal{G}_2^2 \text{ et } \mathcal{G}_2^3)$. Des compositions de symétries glissées ne pouvant pas donner de symétrie centrale, si \mathcal{G} est un groupe de frise ce ne pourra être que \mathcal{G}_1^1 ou \mathcal{G}_2^3 .

Condition nécessaire $\vec{u} = k\vec{v}$ avec k rationnel.

Démonstration Supposons que \mathcal{G} soit un groupe de frise de vecteur \vec{w} .

$$\alpha^2 = t_1 \vec{u} \text{ doit être de la forme. } t_1 \vec{a} \quad (a \in \mathbb{Z})$$

$$\beta^2 = t_2 \vec{v} = t_2 k \vec{u} \text{ doit être de la forme } t_2 \vec{b} \quad (b \in \mathbb{Z})$$

ce qui implique. $t_1 \vec{u} = a \vec{s}$ donc $k = \frac{b}{a}$.

Considérons donc les deux symétries glissées $\alpha(\Delta, \vec{u})$

et $\beta(\Delta, \vec{v} = \frac{b}{a} \vec{u})$ $\frac{b}{a}$ étant la forme irréductible.

donc avec b et a premiers entre eux.

1^{er} cas. ($b-a$) est impair.

Soit $\vec{s} = \frac{1}{a} \vec{u}$.

\mathcal{G}' contient la symétrie axiale d'axe Δ

Démonstration $\mathcal{L}^{-b} \circ \beta^a$ est un élément de \mathcal{G}' .

C'est une symétrie glissée d'axe Δ car $(a-b)$ est impair.

et le vecteur de cette symétrie glissée est

$$-b\vec{u} + a\vec{v} = -b\vec{u} + \frac{b}{a}a\vec{u} = \vec{0}.$$

c'est donc une symétrie axiale d'axe Δ .

Si \mathcal{G}' est un groupe de flot, ce sera \mathcal{F}_4'

La translation t_s appartient à \mathcal{G}'

Démonstration Les translations de \mathcal{G}' sont de la forme

$\mathcal{L}^i \circ \beta^j$ avec $(i+j)$ pair. Les vecteurs de ces translations sont de la forme $i\vec{u} + j\vec{v} = \left(\frac{ia+bj}{a}\right)\vec{u}$ donc de la forme $(ia+bj)\vec{s}$.

t_s sera donc un élément de ce sous-groupe de translations s'il existe i et j ($i+j$ pair) tels que $ai+bj=1$.

Le théorème de Bezout permet d'affirmer que l'équation ci-dessus a des solutions à condition que le PGCD de a et b divise 1 : ce qui est le cas.

Les solutions sont de la forme

$$\begin{aligned} i &= i_0 + bk & (i_0, j_0) \text{ étant une solution} \\ j &= j_0 - ak. & \text{particulière. } k \in \mathbb{Z} \end{aligned}$$

On a donc $i+j = (i_0+j_0) + k(b-a)$. Comme $(b-a)$ est impair, $k(b-a)$ peut être rendu pair ou impair et donc $i+j$ peut être rendu pair.

Il existe donc bien i et j ($i+j$ pair) tels que
 $t_s = \alpha^i \beta^j$.

Il est clair que pour tout n , $t_n s = (\alpha^i \beta^j)^n \in \mathcal{G}$.

Montrons que toute translation de \mathcal{G} est de la forme $t_n s$

Soit $\alpha^p \beta^q$ ($p+q$ pair) une translation de \mathcal{G} .

Elle a pour vecteur $p\vec{u} + q\vec{v} = p\vec{u} + q\frac{b}{a}\vec{u} = (pa+qb)\vec{u}$
 $pa+qb \in \mathbb{Z}$ d'où $\underline{\alpha^p \beta^q \in \langle t_s \rangle}$

\mathcal{G} est un groupe d'isométries dont le sous-groupe de translations est générée par t_s avec $s = \frac{1}{a}\vec{u}$.

\mathcal{G} est un groupe de frise de vecteur \vec{b} . Il contient τ_Δ c'est donc \mathcal{G}_+

cas 2ème $(b-a)$ est pair. Comme $\frac{b}{a}$ est irréductible on a donc b et a tous les deux impairs.

Soit $\vec{s} = \frac{2}{a}\vec{u}$.

\mathcal{G} ne contient pas la symétrie d'axe Δ .

En effet, il faudrait trouver i et j ($i+j$ impair) tel que $\alpha^i \beta^j$ soit une symétrie glissée de vecteur nul. Cela impliquerait $i\vec{u} + j\vec{v} = \vec{0}$ donc $ia + jb = 0$.

Or " a " impair peut s'écrire $2a'+1$ et $b = 2b'+1$

donc $ja + jb = 0 \Leftrightarrow i+j = 0 - 2a'i - 2b'j$.

$i+j$ serait pair. Un tel couple (i, j) n'existe pas.

Si \mathcal{G} est un groupe de flèche, ce sera \mathcal{G}_7^3

La translation $t_s \rightarrow$ appartient à \mathcal{G}

Soit $\alpha^i \circ \beta^j$ ($i+j$ pair) une translation de \mathcal{G} .

Son vecteur est $i\vec{u} + j\vec{v} = \left(\frac{ia+bj}{a}\right)\vec{u} = \left(\frac{ia+bj}{2}\right)\vec{s}$.

$t_s \rightarrow$ sera donc un élément de \mathcal{G} si on peut trouver i et j ($i+j$ pair) tels que $ia+bj=2$.

L'équation $ia+bj=2$ a une infinité de solutions.
(th. de Bezout) et on a donc en posant $a=2a'+1$ et
 $b=2b'+1$

$$i(2a'+1) + j(2b'+1) = 2.$$

$$i+j = 2 - 2(a'i + b'j)$$

ce qui prouve que $i+j$ est pair.

Comme précédemment, les translations $t_n \rightarrow$ appartiennent à \mathcal{G} .

Montrons que toute translation de \mathcal{G} est de la forme $t_n \rightarrow$

Soit $\alpha^p \circ \beta^q$ ($p+q$ pair) une telle translation.

Son vecteur est $p\vec{u} + q\vec{v} = p\vec{u} + q\frac{b}{a}\vec{u} = \left(\frac{pa+qb}{2}\right)\vec{s}$

a et b étant impairs, $\frac{pa+qb}{2}$ peut s'écrire $\frac{p(2a'+1)+q(2b'+1)}{2}$

c'est à dire $pa'+qb'+\frac{p+q}{2}$. Or $p+q$ est pair.

donc $pa'+qb'+\frac{p+q}{2}$ est un entier et le vecteur

$\left(\frac{pa+qb}{2}\right)\vec{s}$ est de la forme $n\vec{s}$.

\mathcal{G} est un groupe d'isométries dont le sous-groupe de translations est générée par $t_s \rightarrow$ avec $\vec{s} = \frac{2}{a}\vec{u}$. C'est le groupe de translation de vecteur \vec{s} . C'est \mathcal{G}_7^3

PAVAGES

On s'intéresse aux façons de "recouvrir" un plan avec des motifs répétés régulièrement

Plus précisément, un pavé de base étant choisi, on cherche à recouvrir tout le plan avec des pavés identiques sans "trous" ni chevauchement et de façon régulière.

En utilisant toutes les isométries du plan, il a été montré qu'il y a 17 groupes de pavages possibles.

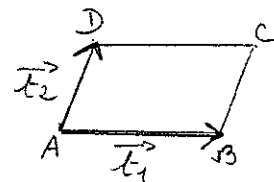
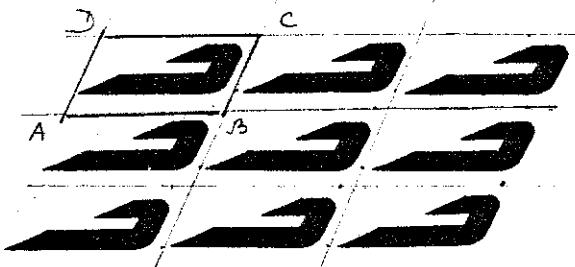
Si on n'utilise que des isométries directes, il n'y a que 5 groupes possibles -qui correspondent aux 5 figures étudiées dans les pages suivantes.

La mathématisation de cette situation est donnée par les axiomes suivants.

Soit G un groupe d'isométries directes du plan P et soit B un compact connexe de P (c.-à-d. le pavé) alors on doit avoir :

$$\text{1) } \bigcup_{g \in G} g(B) = P \quad \text{intérieur : "o"}$$

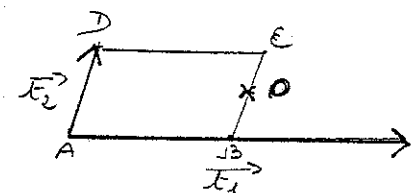
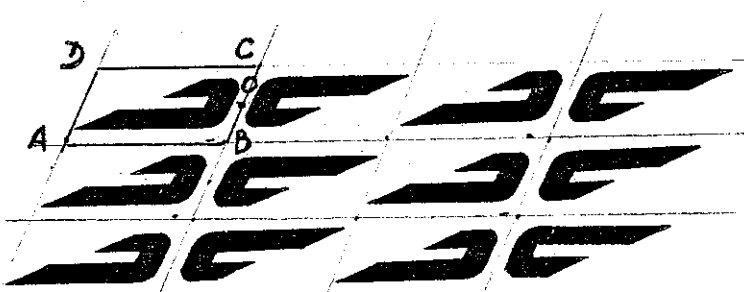
$$\text{2) } g(B) \cap h(B) \neq \emptyset \Rightarrow g = h. \quad (g, h) \in G^2$$

Figure 1

$$\text{Soit } \vec{t}_1 = \vec{AB} \quad \text{et} \quad \vec{t}_2 = \vec{AD}$$

Les isométries directes permettant de reconstituer la figure 1 à partir du pavé de base sont toutes les composées $t_1^n \circ t_2^m$ avec $(m, n) \in \mathbb{Z}^2$

Le groupe associé à ce pavage est donc le groupe $\langle t_1, t_2 \rangle$

Figure 2.

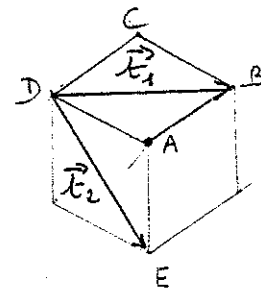
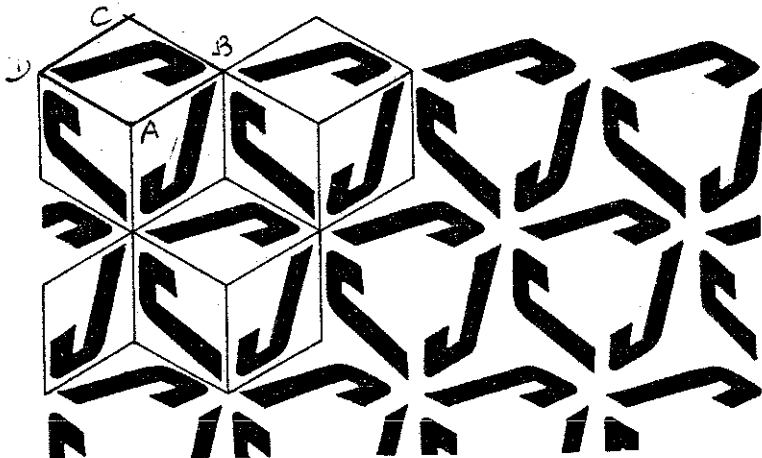
$$\text{Soit } O \text{ le milieu de } [BC] \text{ et } \vec{t}_1 = 2\vec{AB}, \vec{t}_2 = \vec{AD}$$

Les isométries directes permettant de reconstituer la figure 2 à partir du pavé de base sont :

- la symétrie de centre O et toutes les composées $t_1^n \circ t_2^m$ (avec) $(m, n) \in \mathbb{Z}^2$

Le groupe associé à ce pavage est donc le groupe $\langle \sigma_O, t_1, t_2 \rangle$

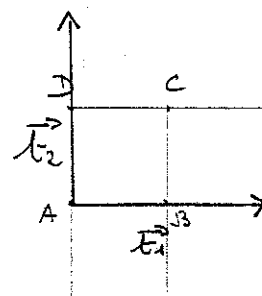
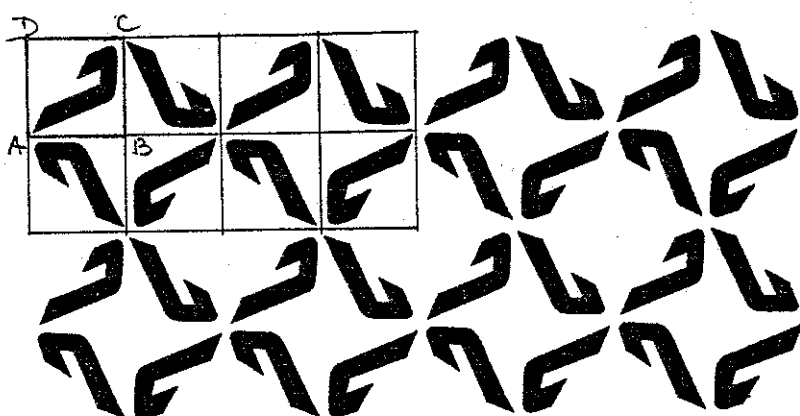
Figure 3.



Soit $\vec{t}_1 = \overrightarrow{DB}$ $\vec{t}_2 = \overrightarrow{DE}$ et $P_{\theta_2}(A, \frac{2\pi}{3})$, les isométries directes permettant de reconstruire la figure 3 à partir du pavé de base ABCD sont les composées $t_1^m \circ t_2^n \circ P_{\theta_2}^k$ avec $(m, n) \in \mathbb{Z}^2$ $k \in \{1, 2\}$

Le groupe associé à ce pavage est donc $\langle t_1, t_2, P_{\theta_2} \rangle$

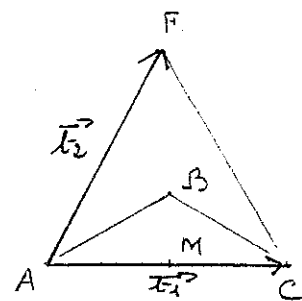
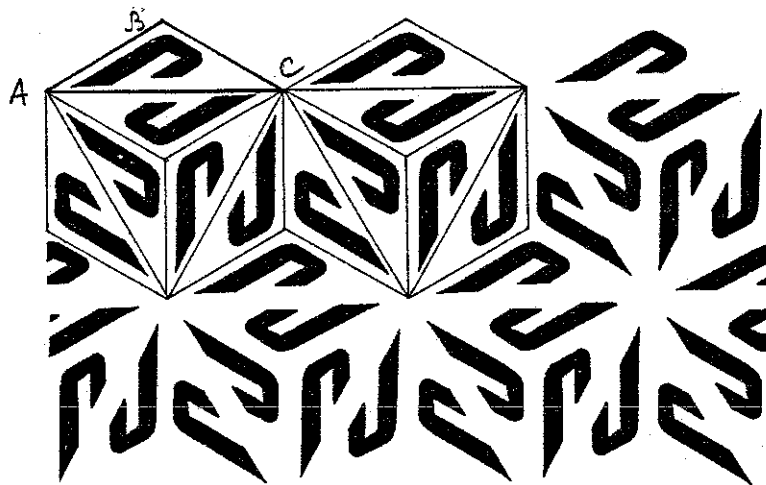
Figure 4.



Soit $\vec{t}_1 = 2\vec{AB}$ $\vec{t}_2 = 2\vec{AD}$ et $P_{\theta_2}(\beta, \frac{\pi}{2})$, les isométries directes permettant de reconstruire la figure 4 à partir du pavé de base ABCD sont : $t_1^m \circ t_2^n \circ P_{\theta_2}^k$ avec $(m, n) \in \mathbb{Z}^2$ $k \in \{1, 2, 3\}$

Le groupe associé à ce pavage est donc $\langle t_1, t_2, P_{\theta_2} \rangle$

Figure 5.



Pavé de base ABC . triangle inscrit en B tel que
 $\widehat{ABC} = \frac{2\pi}{3}$.

Soit $\vec{t}_1 = \vec{AC}$ $\vec{t}_2 = \vec{AF}$ tel que AFC soit équilatéral

Soit M le milieu de $[AC]$.

Si on appelle \overline{JM} la symétrie de centre M

$P_{6_3}(B, \frac{2\pi}{3})$ la rotation de centre B et d'angle $\frac{2\pi}{3}$

Le groupe associé à ce pavage est donc

le groupe: $\langle t_1, t_2, \overline{JM}, P_{6_3} \rangle$

C4 PEGC, 90-91, Partiel n°2
Sujet n°3 (billard polygonal)

I A l'aide des documents ci-joints, donner une rédaction personnelle du problème du billard polygonal.

Le plan d'exposition ne sera pas nécessairement celui du document.

On vous demande d'indiquer clairement les propositions que vous vous proposez de démontrer, suivies de leurs démonstrations complètes.

Il y a en effet dans le texte des manques dans les démonstrations qu'on vous demande de combler. S'il y a lieu, indiquez clairement ce que vous admettez.

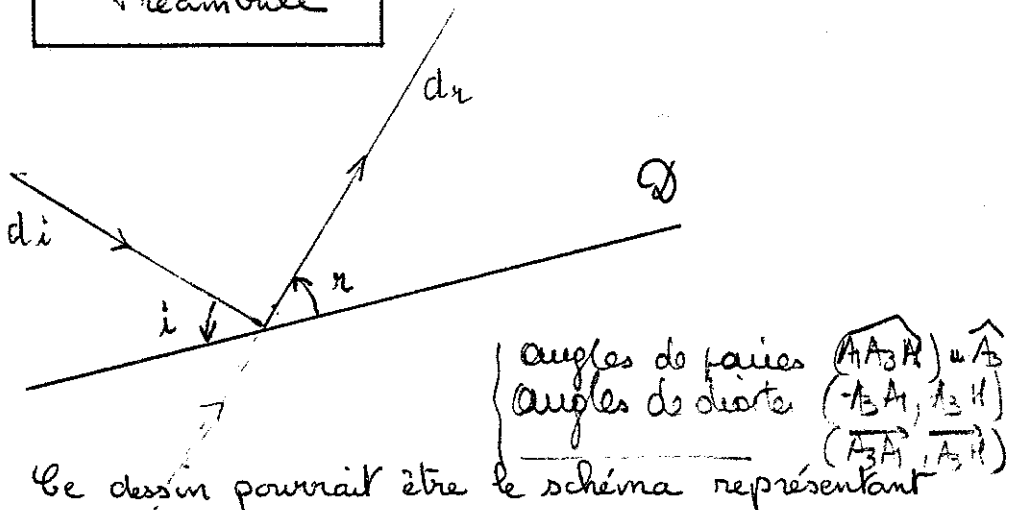
Traiter complètement les cas $n = 3$ et $n = 4$ (avec des figures).

II Résoudre l'exercice ci-joint (indépendant de ce qui précède). [non joint]

Documents joints :

Berger Géométrie vol 2 (Cédic Nathan) pp. 81 à 89

Préambule



Ce dessin pourrait être le schéma représentant

la trajectoire $d_i - d_r$ suivie par une boule de billard lorsqu'elle rebondit sans effet sur un des côtés \mathcal{D} . L'angle d'incidence i est égal à l'angle de rebond r et par suite \mathcal{D} est la bissectrice de (d_i, d_r) ou encore, si \mathcal{G} est la symétrie orthogonale par rapport à \mathcal{D} , $d_r = \mathcal{G}(d_i)$ ou même, plus précisément, si on oriente les droites dans le sens du mouvement $\vec{d}_r = \mathcal{G}(\vec{d}_i)$

X ici \vec{d}_r et \vec{d}_i désignent des droites orientées et non des droites vectorielles (droites affines + l'ordre?)

On considère maintenant le problème physique suivant :

étant donné un billard dont la forme est celle d'un polygone convexe, quelles sont les possibilités et quelles sont les circonstances pour qu'une boule partant d'un point intérieur revienne à son point de départ après avoir rebondi sans effet une seule fois successivement sur chacun des côtés.

S'il existe une telle possibilité alors la trajectoire polygonale suivie par la boule est une trajectoire

(2)

de billard.

L'existence de telles possibilités risque de dépendre de la forme du billard.

Afin d'étudier le problème on va mathématiser la situation en adoptant le plan suivant, le billard étant assimilé à un polygone convexe :

0 - Notations utilisées

1. - Examen du cas général d'un polygone convexe qui possède un nombre n de côtés. On prendra cependant $n \geq 3$ pour que l'intérieur du polygone ne soit pas réduit à l'ensemble vide.

1 - 1 Définition mathématique de la trajectoire de billard.

1 - 2 Recherche de conditions nécessaires pour que le polygone possède une trajectoire de billard.

1 - 3 Enoncé d'une condition nécessaire et suffisante d'existence d'une telle trajectoire.

En fait le problème n'est pas totalement résolu dans le cas général car cette dernière condition nécessaire et suffisante est elle-même liée à l'existence d'une certaine droite dont les circonstances de tangibilité ne seront précisées que dans les deux cas suivants

2 - Cas du triangle,

3 - Cas du quadrilatère

(3)

O. Notations utilisées.

On considère un polygone convexe P à n côtés, $n \geq 3$. On utilise la convention $n+1 = 1$

Pour $i \in I = \{1, \dots, n\}$ on introduit les notations suivantes :

A_i est un sommet

La droite $\langle A_i, A_{i+1} \rangle$ est notée D_i

d_i est un point de D_i

σ_{D_i} est la symétrie orthogonale par rapport à D_i

$$g_i = \sigma_{D_1} \circ \sigma_{D_2} \circ \dots \circ \sigma_{D_i}$$

$$g_m = g$$

\tilde{g} est l'application linéaire associée à g

$$\text{Dans 1-2 } \beta_i = g_i(d_i)$$

Dans 1-3 β_i est défini directement dans

la proposition 4.

(Il n'est pas nécessaire
pas une
bonne donc le sens est donné par le vecteur $\overrightarrow{d_i d_{i+1}}$)
idée de notation d_i = (D_i, \vec{u})
(abondit le lecteur) Par ailleurs on utilise constamment le fait

que si f est une isométrie, l'image d'une droite est une droite, l'image d'un segment est un segment entièrement déterminé par les images des extrémités

$$\text{Ainsi } f(\langle A, B \rangle) = \langle f(A), f(B) \rangle$$

$$\text{ou } f(\overrightarrow{\langle A, B \rangle}) = \langle f(A), f(B) \rangle$$

$$\text{ou encore } f([A, B]) = [f(A), f(B)]$$

④

On utilise également souvent implicitement les propriétés de convexité du polygone.

1. P est un polygone convexe à n côtés, $n \geq 3$

1.1. Définition

Avec les notations du grammaire, $(x_i)_{i \in I}$ est une trajectoire de billard dans P si les deux conditions suivantes sont réunies :

- a) $x_i \in]A_i, A_{i+1}[$
- b) $\sigma_{x_i}(\overrightarrow{x_i, x_{i+1}}) = \overrightarrow{x_{i+1}, x_i}$

1.2. Recherche de conditions nécessaires d'existence de trajectoires de billard.

1.2.1. Proposition 1:

Si $(x_i)_{i \in I}$ est une trajectoire de billard dans P alors $\overrightarrow{x_m, x_1}$ est stable par g .

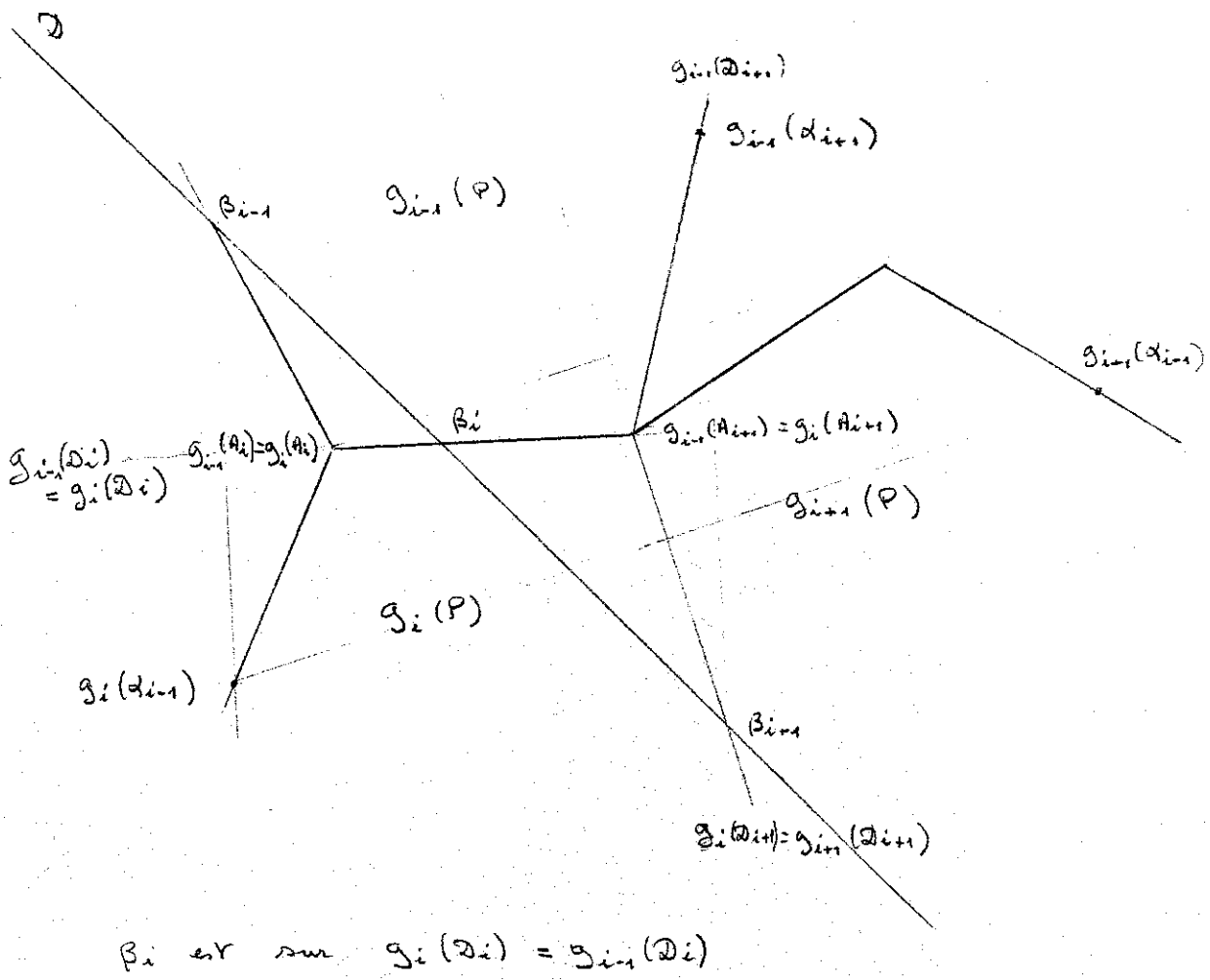
Remarque : Dire que $\overrightarrow{x_m, x_1}$ est stable par g c'est dire que la droite $\langle x_m, x_1 \rangle$ est globalement invariante et en tenant compte en plus du fait que g est une isométrie

$$\overrightarrow{g(x_m, x_1)} = \overrightarrow{x_m, x_1} (+ 1pt \text{ consacré})$$

Démonstration de la proposition 1.

$\forall i \in I \quad g_i(\overrightarrow{x_i, x_{i+1}}) = g_{i+1} \circ \sigma_{x_i}(\overrightarrow{x_i, x_{i+1}})$
et comme $(x_i)_{i \in I}$ est de billard on obtient

$$(1) \quad g_i(\overrightarrow{x_i, x_{i+1}}) = g_{i+1}(\overrightarrow{x_{i+1}, x_i})$$



β_i est sur $g_i(\mathcal{D}_i) = \mathcal{G}_{i-1}(\mathcal{D}_i)$

La construction utilise le fait que

$$\begin{aligned}
 g_i(P) &= \mathcal{G}_{i-1} \circ \sigma_{\mathcal{D}_i}(P) \\
 &= \mathcal{G}_{i-1} \circ \sigma_{\mathcal{D}_i} \circ \mathcal{G}_i \circ \mathcal{G}_{i-1}(P) \\
 &= \sigma_{\mathcal{G}_{i-1}(\mathcal{D}_i)} \circ \mathcal{G}_{i-1}(P)
 \end{aligned}$$

Dessin n° ①

(6)

La récurrence est alors évidente et permet d'affirmer :

par le même ! //

$$\forall i, j \in I \quad g_i(\overrightarrow{\alpha_i, \alpha_{i+1}}) = g_j(\overrightarrow{\alpha_j, \alpha_{j+1}})$$

en particulier

$$g(\overrightarrow{\alpha_n, \alpha_1}) = g_n(\overrightarrow{\alpha_n, \alpha_1}) = g_1(\overrightarrow{\alpha_1, \alpha_2})$$

et comme

$$g_1(\overrightarrow{\alpha_1, \alpha_2}) = \overline{g_1}(\overrightarrow{\alpha_1, \alpha_2}) = \overrightarrow{\alpha_n, \alpha_1},$$

car $(\alpha_i)_{i \in I}$ est de billard, finalement

on $g(\overrightarrow{\alpha_n, \alpha_1}) = \overrightarrow{\alpha_n, \alpha_1}$

ce qui prouve la proposition 1.

1.2.2 - Proposition 2 :

Démonstration (1)

Si $(\alpha_i)_{i \in I}$ est de billard, alors les β_i sont alignés, et dans l'ordre de leurs indices, sur la droite $\overrightarrow{\alpha_n, \alpha_1}$

a) préalablement on démontre que

$$(2) \quad \beta_i = g_i(\alpha_i) = g_{i-1}(\alpha_i)$$

en effet $g_i(\alpha_i) = g_{i-1} \circ \overline{g_i}(\alpha_i)$

or $\alpha_i \in D_i$ donc $\overline{g_i}(\alpha_i) = \alpha_i'$

ainsi $g_{i-1} \circ \overline{g_i}(\alpha_i) = g_{i-1}(\alpha_i')$

et d'ailleurs de même $g_i(\alpha_i) = g_{i-1}(\alpha_i')$

b) Démonstration de la proposition 2.

Il suffit de montrer que $\forall i \in I$,

$\beta_{i-1}, \beta_i, \beta_{i+1}$ sont alignés dans cet ordre car $\beta_1 = \alpha_1$ et $\beta_n = g_n(\alpha_n) = g(\alpha_n) \in \overrightarrow{\alpha_n, \alpha_1}$ d'après la proposition 1.

(7)

D'après (1) $g_i(\overrightarrow{d_i, d_{i+1}}) = g_{i-1}(\overrightarrow{d_{i-1}, d_i})$

et donc g_i étant une isométrie : (affine suffit ici)

$$\langle \overrightarrow{g_i(d_i)}, \overrightarrow{g_i(d_{i+1})} \rangle = \langle \overrightarrow{g_{i-1}(d_{i-1})}, \overrightarrow{g_{i-1}(d_i)} \rangle$$

et d'après (2)

$$\langle \overrightarrow{\beta_i}, \overrightarrow{\beta_{i+1}} \rangle = \langle \overrightarrow{\beta_{i-1}}, \overrightarrow{\beta_i} \rangle$$

ce qui démontre que $\beta_{i-1}, \beta_i, \beta_{i+1}$
sont alignés dans cet ordre et comme
 β_1 et β_n sont sur la droite $\langle \alpha_n, \alpha_1 \rangle$
et les β_i sont alignés sur $\langle \alpha_n, \alpha_1 \rangle$

1.2.3 - Proposition 3.

↙

Si $(d_i)_{i \in I}$ est une trajectoire de billard,
alors, $\forall i \in I$, la droite $\langle \alpha_n, \alpha_1 \rangle$ est sé-
cante à $g_i(D_i)$ et $g_i(D_i) \cap \langle \alpha_n, \alpha_1 \rangle = \{\beta_i\}$

D'après la proposition 2 les β_i sont ali-
gnés sur $\langle \alpha_n, \alpha_1 \rangle$.

Par ailleurs $g_i(P) = g_{i-1} \circ \tau_{\beta_i}(P)$

$$= g_{i-1} \circ \tau_{\beta_i} \circ g_{i-1}^{-1} \circ g_{i-1}(P)$$

$$= \tau_{g_{i-1}(\beta_i)} \circ g_{i-1}(P)$$

Les $g_i(P)$ sont convexes et donc touten-
tier dans un même demi-plan de frontière $g_i(D_i)$
 $g_{i-1}(D_i) = g_i(D_i)$ et d'après ce qui précéde
 $g_{i-1}(P)$ et $g_i(P)$ étant symétriques par
rapport à $g_i(D_i)$ sont dans des demi-plans
opposés de frontière $g_i(D_i)$

$\beta_{i-1} \in g_{i-1}(P)$, $\beta_{i+1} \in g_{i+1}(D_{i+1}) = g_i(D_i)$

et donc $\beta_{i+1} \in g_i(P)$

donc finalement β_{i-1} et β_{i+1} étant de
part et d'autre de $g_i(D_i)$, $\langle \beta_{i-1}, \beta_{i+1} \rangle$

ssi est sécante à $g_i(\mathcal{D}_i)$ et d'après 1.2.2 nécessairement en β_i .

1.2.4 - Enfin $\alpha_i \in]A_i, A_{i+1}[$ implique:

$$g_i(\alpha_i) \in g_i(]A_i, A_{i+1}[) =]g_i(A_i), g_i(A_{i+1})[$$

1.3. Condition nécessaire et suffisante d'existence d'une trajectoire de billard.

1.3.1 Proposition 4.

Les g_i et g étant définis comme précédemment, si il existe une droite orientée $\vec{\mathcal{D}}$ stable par g et telle que, $\forall i \in I$,

a) $\mathcal{D} \cap g_i(\mathcal{D}_i) = \{\beta_i\}$,

b) $\beta_i \in g_i(]A_i, A_{i+1}[)$,

c) les β_i sont dans l'ordre de leurs indices,

alors \mathcal{P} possède une trajectoire de billard dont les sommets sont les $g_i^{-1}(\beta_i)$

(8)

Démonstration de la proposition 4.

g_i est une isométrie donc une bijection, ce qui assure l'existence de la bijection réciproque g_i^{-1} .

Sachant que $g_i = \sigma_{D_1} \circ \sigma_{D_2} \circ \dots \circ \sigma_{D_i}$ on peut expliciter g_i^{-1}

$$g_i^{-1} = \sigma_{D_1} \circ \sigma_{D_{i-1}} \circ \dots \circ \sigma_{D_i}$$

On remarque que $g_i^{-1} = \sigma_{D_i} \circ g_{i-1}^{-1}$ ce qui permet de démontrer:

$$(3) \quad \forall i \in I \quad g_i^{-1}(\beta_i) = g_{i-1}^{-1}(\beta_i)$$

En effet $\beta_i \in g_i(D_i)$ donc $g_i^{-1}(\beta_i) \in D_i$ ce qui signifie que $g_i^{-1}(\beta_i)$ est invariant par σ_{D_i} c'est à dire :

$$\begin{aligned} \sigma_{D_i} \circ g_i^{-1}(\beta_i) &= g_i^{-1}(\beta_i) \\ \text{et comme } \sigma_{D_i} \circ g_i^{-1} &= \sigma_{D_i} \circ (\sigma_{D_{i-1}} \circ g_{i-1}^{-1}) \\ &= g_{i-1}^{-1} \end{aligned}$$

$$\text{on obtient } g_{i-1}^{-1}(\beta_i) = g_i^{-1}(\beta_i)$$

D'autre part, les β_i étant alignés dans l'ordre de leurs indices, on peut écrire

$$\langle \overrightarrow{\beta_i}, \overrightarrow{\beta_{i+1}} \rangle = \langle \overrightarrow{\beta_{i-1}}, \overrightarrow{\beta_i} \rangle$$

et donc :

$$g_i^{-1}(\langle \overrightarrow{\beta_i}, \overrightarrow{\beta_{i+1}} \rangle) = g_i^{-1}(\langle \overrightarrow{\beta_{i-1}}, \overrightarrow{\beta_i} \rangle)$$

Cette égalité peut encore s'écrire sous la forme :

$$\langle \overrightarrow{g_i^{-1}(\beta_i)}, \overrightarrow{g_i^{-1}(\beta_{i+1})} \rangle = \sigma_{D_i} \langle \overrightarrow{g_{i-1}^{-1}(\beta_{i-1})}, \overrightarrow{g_{i-1}^{-1}(\beta_i)} \rangle$$

(3)

et en utilisant (3) :

$$\overrightarrow{\langle g_i^{-1}(\beta_i), g_{i+1}^{-1}(\beta_{i+1}) \rangle} = \overrightarrow{\sigma_{\beta_i}(\langle g_{i+1}^{-1}(\beta_{i+1}), g_i^{-1}(\beta_i) \rangle)} \quad \leftarrow \text{cst 1.1.a}$$

Comme par ailleurs $\forall i \in I, \beta_i \in g_i([A_i, A_{i+1}])$ $\leftarrow \text{cst 1.1.b}$
 implique $g_i^{-1}(\beta_i) \in [A_i, A_{i+1}]$, le
 polygone $(g_i^{-1}(\beta_i))_{i \in I}$ est une trajectoire
de billard dans \mathbb{P} .

1.3.2 Condition d'existence d'une droite stable par g .

g est la composition de n isométries indirectes donc selon que n est pair ou impair g est une isométrie directe ou indirecte.

a) Cas où n est pair : g est directe.

C'est là que l'utilisation de la droite orientée est intéressante car seule une translation conserve à la fois la direction et le sens de la droite.

On associe alors, dans g, les σ_{β_i} deux par deux. On pose $\tau_{\theta_p} = \underbrace{\sigma_{\beta_{p-1}}}_{\theta_{p-1}} \circ \underbrace{\sigma_{\beta_p}}_{\theta_p}$

$p = 1, \dots, \frac{n}{2}$ avec

$$\theta_p = \ell(\beta_{p-1}, \beta_p)$$

g s'écrit alors sous la forme

$$g = \tau_{\theta_1} \circ \tau_{\theta_2} \circ \dots \circ \tau_{\theta_{\frac{n}{2}}}$$

et comme g est une translation

$$\sum_{p=1}^{\frac{n}{2}} \theta_p = 0 \pmod{2\pi}$$

(10)

Le qui équivaut à :

$$\text{ssi } \sum_{p=1}^{\frac{n}{2}} (\mathcal{D}_{2p-1}, \mathcal{D}_{2p}) = 0 \pmod{II}$$

(Il y a une autre équivalence d'autre)

b) cas où n est impair. g est indirecte

La encore l'utilisation de la droite orientée se révèle fructueuse car g est une isométrie indirecte et $\vec{g}(\overrightarrow{d_m d_1}) = \overrightarrow{x_n x_1}$ équivaut à dire que $\langle d_m, d_1 \rangle$ est l'axe de g . Cet axe est unique et existe quel que soit n impair.

1.3.3. Condition d'existence d'une droite
 répondant aux hypothèses de la proposition

4-

Il reste donc à examiner la possibilité qu'une droite orientée \vec{d} stable par g vérifie la condition :

$\forall i \in I, \beta_i \in g_i([A_i, A_{i+1}])$ avec
 $\{\beta_i\} = \vec{d} \cap g_i(d_i)$ et tel que les β_i soient dans l'ordre de leurs indices.

B | En fait, c'est là qu'est le problème car cette condition n'est pas vérifiée en général.
 On peut malgré tout énoncer une proposition

a) Proposition 5.

Si n est pair et si il existe une droite \vec{d} vérifiant les conditions de la proposition 4, alors il en existe une infinité.

Cela signifiera alors que \mathfrak{D} possède une infinité de trajectoires de billard.

Démonstration de la proposition 5.

Si n est pair, g est une translation et toute droite ayant même direction que la direction de translation est stable par g .

Soit \mathfrak{D} une droite vérifiant les hypothèses de la proposition 4 alors $\forall i \in I$:

$$\beta_i \in g_i([A_i, A_{i+1}])$$

$$\text{Soit } d_i = \inf \{ d(g_i(A_i), \mathfrak{D}), d(g_i(A_{i+1}), \mathfrak{D}) \}$$

\mathfrak{D} ne contient ni A_i , ni A_{i+1} donc $d_i > 0$

Soit $t_{\vec{u}}$ une translation de vecteur $\vec{u} \neq \vec{0}$ non parallèle à \mathfrak{D} tel que $\| \vec{u} \| < \inf_{j \in I} (d_j)$

$$\text{On pose } \mathfrak{D}' = t_{\vec{u}}(\mathfrak{D})$$

Des hypothèses on déduit immédiatement que $\mathfrak{D} \neq \mathfrak{D}'$ et $0 < d(\mathfrak{D}, \mathfrak{D}') \leq \| \vec{u} \|$.

$$\forall i \in I, \text{ soit } \{\beta'_i\} = \mathfrak{D}' \cap g_i(\mathfrak{D}_i).$$

Ainsi les points $g_i(A_i), g_i(A_{i+1}), \beta_i, \beta'_i$ sont alignés sur $g_i(\mathfrak{D}_i)$.

\mathfrak{D} étant parallèle à \mathfrak{D}' on se sert alors du théorème de Thalès en posant $\forall i \in I$:

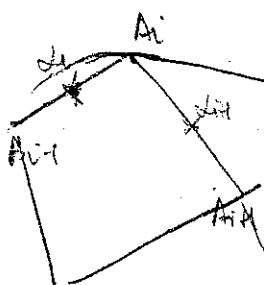
$$(4) \lambda_i d_i = \inf \{ d(g_i(A_i), \beta_i), d(g_i(A_{i+1}), \beta_i) \}, \lambda_i \in \mathbb{R}^*$$

$$\text{alors } d(\beta_i, \beta'_i) = \lambda_i d(\mathfrak{D}, \mathfrak{D}')$$

$$\leq \lambda_i \| \vec{u} \|$$

$$< \lambda_i \inf_{j \in I} (d_j)$$

$$< \lambda_i d_i$$



cela
mais que
vraiment
de dessus
pour le
lecteur !

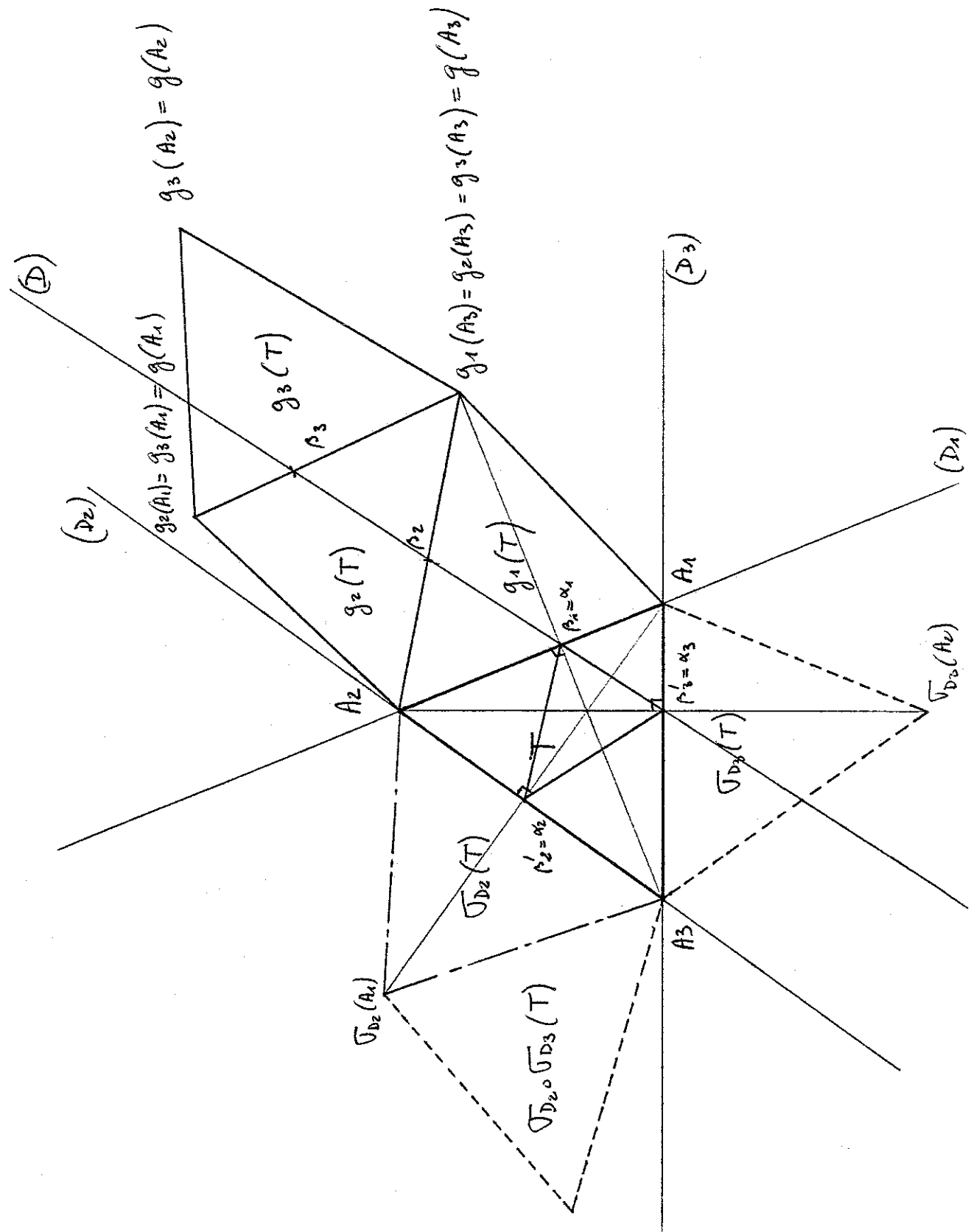
(12)

d'après (4) et comme $\beta_i \in]g_i(t_i), g_i(t_{i+1})[$
cela signifie que $\beta'_i \in g_i([A_i, A_{i+1}])$

Toujours d'après Thalès, en consi-
derant les sécantes $g_i(D_i)$ et $g_i(D_{i+1})$
qui ont en commun le point $g_i(A_{i+1})$,
 β_i et β'_i sont sur la même demi-droite
d'origine $g_i(A_{i+1})$, D et D' étant paral-
lèles, β_{i+1} et β'_{i+1} sont également sur
la même demi-droite d'origine $g_i(A_{i+1})$
et donc les points β_i, β_{i+1} d'une part
et β'_i, β'_{i+1} d'autre part sont dans le
même sens c'est à dire $\overrightarrow{\beta_i \beta_{i+1}}$ et
 $\overrightarrow{\beta'_i \beta'_{i+1}}$ sont colinéaires. Ceci assure
l'ordre des $(\beta'_i)_{i \in I}$.

Ainsi on voit que D' satisfait aux
conditions de la proposition 4, ce qui
démontre la proposition 5.

figure 2



2 Trajectoire de billard dans un triangle (figue 2.)¹³⁾

|| ici les notations
compliquées de l'ex
pe sont faites plus courtes

Soit $(A_1 A_2 A_3)$ un triangle, c'est un polygone à 3 cotés donc d'après l'étude générale il existe une droite orientée unique stable par g .

$(g = \Gamma_{D_1} \circ \Gamma_{D_2} \circ \Gamma_{D_3}$ où Γ_{D_i} désigne la symétrie orthogonale d'axe D_i , et $D_1 = (A_1 A_2)$; $D_2 = (A_2 A_3)$
 $D_3 = (A_3 A_1)$)

Soit D cette droite si elle vérifie les conditions énoncées dans le cas général :

$$D \cap g_i(D_i) = \{\beta_i\}$$

$$\beta_i \in g_i([A_i A_{i+1}])$$

les β_i sont alignés dans l'ordre de leurs indices.

Alors le triangle $(A_1 A_2 A_3)$ possède une unique trajectoire de billard $(\alpha_1 \alpha_2 \alpha_3)$ avec $\alpha_1 \in [A_1 A_2]$; $\alpha_2 \in [A_2 A_3]$; $\alpha_3 \in [A_3 A_1]$.
et $\alpha_1 = g_1^{-1}(\beta_1)$; $\alpha_2 = g_2^{-1}(\beta_2)$; $\alpha_3 = g_3^{-1}(\beta_3)$

On pourrait simplifier
le partant d'un triangle
à cet angle et en
montrant que le triangle
 $H_1 H_2 H_3$ convient
pour d'un triangle avec
un angle obtus et en
montrant que \emptyset

il faudrait
redire l'
triangle
que ce
signifie

④

1) Montrons que :

$$D \cap g_1(D_1) = \{\beta_1\} \text{ et que } \beta_1 \in g_1([A_1 A_2])$$

La droite D est invariante par g donc elle passe par le milieu de $[A_3; g(A_3)]$ ou

$$g(A_3) = \Gamma_{D_1} \circ \Gamma_{D_2} \circ \Gamma_{D_3}(A_3) \text{ et comme } A_3 \in D_2 \cap D_3$$

$$g(A_3) = \Gamma_{D_1}(A_3)$$

et donc la droite D passe par le milieu de $[A_3; \Gamma_{D_1}(A_3)]$ qui est sur D_1 car Γ_{D_1} est la symétrie orthogonale d'axe D_1 .

Donc les droites D et D_1 ont au moins un point commun. Il faut montrer que c'est le seul.

Supposons $D = D_1$ alors on aurait

comme $g(D) = D$, $g(D_1) = D_1$ soit

$$\Gamma_{D_1} \circ \Gamma_{D_2} \circ \Gamma_{D_3}(D_1) = D_1$$

ce qui imposerait que $\Gamma_{D_2} \circ \Gamma_{D_3} = \text{Id}$ soit $D_2 = D_3$

ce qui serait incompatible avec l'hypothèse

$(A_1 A_2 A_3)$ est un triangle.

Donc les droites D et D_1 sont sécantes et

comme $g_1(D_1) = D_1$ on a :

ouii

$$D \cap g_1(D_1) = \{\beta_1\}.$$

Maintenant il reste à montrer que $\beta_1 \in g_1([A_1 A_2])$

$$g_1([A_1 A_2]) = [A_1 A_2] \text{ car } D_1 \supset [A_1 A_2]$$

donc il faut montrer que $\beta_1 \in [A_1 A_2]$

or β_1 est le milieu de $[A_3; \Gamma_{D_1}(A_3)]$

donc $[A_3 \beta_1]$ est orthogonale à la droite D_1

ouii β_1 est entre A_1 et A_2 si les angles $\widehat{A_1 \beta_1 A_2}$ sont aigus. car alors β_1 est le pied de la hauteur

issue de A_3

(15)

Et dans ce cas $g^{-1}(\beta_1) = \alpha_1$
 $\beta_1 = \alpha_1$

ouii

Conclusion: La droite D est bien réduite à $g_1(D)$ en β_1 , mais ce point β_1 n'appartient à $g_1([A_1 A_2])$ que si les angles \hat{A}_1 et \hat{A}_2 sont aigus et alors $\alpha_1 = \beta_1$ est le pied de la hauteur issue de A_3

. 2) Montons que

$D \cap g_2(D_2) = \{\beta_2\}$ et que $\beta_2 \in g_2([A_2 A_3])$

La droite D invariante par g passe par le milieu de $[A_1 g(A_1)]$ ou

$g(A_1) = T_{D_1} \circ T_{D_2} \circ T_{D_3}(A_1)$ et comme $A_1 \in D_3$ on a:

$g(A_1) = T_{D_1} \circ T_{D_2}(A_1)$

$g(A_1) = T_{D_1}(T_{D_2}(A_1))$

donc D passe par le milieu de $[A_1; T_{D_1}(T_{D_2}(A_1))]$

soit encore par le milieu de $[T_{D_1}(A_1); T_{D_1}(T_{D_2}(A_1))]$

(car $T_{D_1}(A_1) = A_1$)

soit encore par l'image par T_{D_1} du milieu de $[A_1; T_{D_2}(A_1)]$. Soit β'_2 le milieu de $[A_1; T_{D_2}(A_1)]$

β'_2 appartient à l'axe D_2 et D passe par $T_{D_1}(\beta'_2)$

donc $T_{D_1}(\beta'_2) = T_{D_1} \circ T_{D_2}(\beta'_2) = g_2(\beta'_2)$ qui appartient

à $g_2(D_2)$ donc.

ouii

La droite D et la droite $g_2(D_2)$ ont donc au moins un point commun :

$$D \cap g_2(D_2) \ni \{g_2(\beta'_2)\} = \{\beta_2\}$$

16

Il faut montrer que c'est le seul point d'intersection

a) D'après a) on a

$$g_1(D_1) \cap D = \{\alpha_1\} \text{ avec } \alpha_1 \in]A_1 A_2[$$

b) D'autre part on a

$$\begin{aligned} g_1(D_1) \cap g_2(D_2) &= \{g_1(D_1 \cap D_2)\} \\ &= \{g_1(A_2)\} \text{ comme } A_2 \in D_1 \\ &= \{A_2\} \end{aligned}$$

mais on sait aussi que $g_1(D_2) = g_2(D_2)$

Donc

$$g_1(D_1) \cap g_1(D_2) = [g_1(D_1) \cap g_2(D_2)] = \{A_2\}$$

En comparant a) et b) on voit que α_1 ne peut appartenir à $g_1(D_1) \cap D$ et $g_2(D_2)$ que si $\alpha_1 = A_2$ ce qui est exclu car.

$$\alpha_1 \in]A_1 A_2[$$

Donc il existe un point α_1 de D qui n'appartient pas à $g_2(D_2)$ donc

$$D \cap g_2(D_2) = \{g_2(\beta'_2)\} = \beta'_2$$

ou

Maintenant il faut montrer que $\beta'_2 \in g_2(]A_2 A_3[)$

On a β'_2 qui est le milieu de $[A_1; T_{D_2}(A_1)]$ donc $\beta'_2 \in D_2$ et de plus comme T_{D_2} est une symétrie orthogonale $[A_1 \beta'_2]$ est orthogonal à D_2 donc β'_2 est le pied de la hauteur issue de A_1 dans le triangle $(A_1 A_2 A_3)$

β'_2 appartient à $]A_2 A_3[$ si les angles

A_2 et A_3 sont aigus, et alors β'_2 qui est égal à $g_2(\beta'_2)$ appartient à $g_2(]A_2 A_3[)$

et dans ce cas. $g_2^{-1}(\beta_2) = \alpha_2$ soit $\alpha_2 = \beta_2'$ ⁽¹⁾

ori

Conclusion. La droite D est bien réante à $g_2(D_2)$ en β_2 , mais ce point β_2 n'appartient à $g_2([A_2 A_3])$, que si les angles $A_2; A_3$ sont aigus et alors $\alpha_2 = g_2^{-1}(\beta_2)$ est le pied de la hauteur issue de A_1

3) Montons que.

$$D \cap g_3(D_3) = \{\beta_3\} \text{ et que } \beta_3 \in g_3([A_3 A_1])$$

deux

La droite D passe par le milieu de $[A_2; g(A_2)]$

$$\text{or } g(A_2) = \Gamma_{D_2} \circ \Gamma_{D_3}(A_2) \text{ soit encore.}$$

ou ^{revenons} $g(A_2) = g_2 \circ \Gamma_{D_3}(A_2)$ donc D passe par le milieu de $[A_2; g_2(\Gamma_{D_3}(A_2))]$

comme $g(A_2) = A_2$ on a encore. D passe par le milieu de $[g_2(A_2); g_2(\Gamma_{D_3}(A_2))]$ soit par l'image du milieu de $[A_2; \Gamma_{D_3}(A_2)]$ par g_2

Soit β'_3 le milieu de $[A_2; \Gamma_{D_3}(A_2)]$ donc D passe par $g_2(\beta'_3)$ or β'_3 appartient à D_3 l'axe de Γ_{D_3} donc on peut aussi écrire.

$$g_2(\beta'_3) = g_2 \circ \Gamma_{D_3}(\beta'_3) = g_3(\beta'_3)$$

donc D passe par $g_3(\beta'_3)$ or $g_3(\beta'_3) \in g_3(D_3)$ car $\beta'_3 \in D_3$

donc il existe au moins un point en commun.

$$g_3(\beta'_3) = \{\beta_3\} \in D \cap g_3(D_3).$$

Il faut montrer que c'est le seul point de d'intersection

a) d'après 2) on a:

$$g_2(D_2) \cap D = \{\beta_2\} = g_2(\alpha_2); \alpha_2 \in [A_2 A_3]$$

13

b) D'autre part on a

$$g_2(D_2) \cap g_2(D_3) = \{g_2(D_2 \cap D_3)\} = \{g_2(A_3)\}$$

mais on sait aussi que

$$g_2(D_3) = g_3(D_3) \text{ donc}$$

$$g_2(D_2) \cap g_2(D_3) = \boxed{g_2(D_2) \cap g_3(D_3) = \{g_2(A_3)\}}$$

En comparant a) et b) on voit que β_2 ne peut appartenir à D ; $g_2(D_2)$ et $g_3(D_3)$ que si $\beta_2 = g_2(A_3)$ ce qui est exclu car $\beta_2 \in g_2([A_2 A_3])$

Donc il existe un point de D : (β_2), n'appartenant pas à $g_3(D_3)$, donc les droites D et $g_3(D_3)$ sont sécantes

$$D \cap g_3(D_3) = \{g_3(\beta'_3)\} = \beta'_3$$

Maintenant il faut montrer que

$$\beta'_3 \in g_3([A_3 A_1])$$

β'_3 est le milieu de $[A_2; \Gamma_{D_3}(A_2)]$ donc $\beta'_3 \in D_3$. axe de Γ_{D_3} et de plus comme Γ_{D_3} est une symétrie orthogonale d'axe D_3 on a $[A_2 \beta'_3]$ orthogonal à D_3 donc β'_3 est le pied de la hauteur issue de A_2 dans le triangle $(A_1 A_2 A_3)$

β'_3 appartient à $[A_3 A_1]$ que si les angles A_3 et \hat{A}_1 sont aigus et alors β'_3 qui est égal à $g_3(\beta'_3)$ appartient à $g_3([A_3 A_1])$

Et dans ce cas $g_3^{-1}(\beta'_3) = \alpha_3$ soit $\alpha_3 = \beta'_3$.

(19)

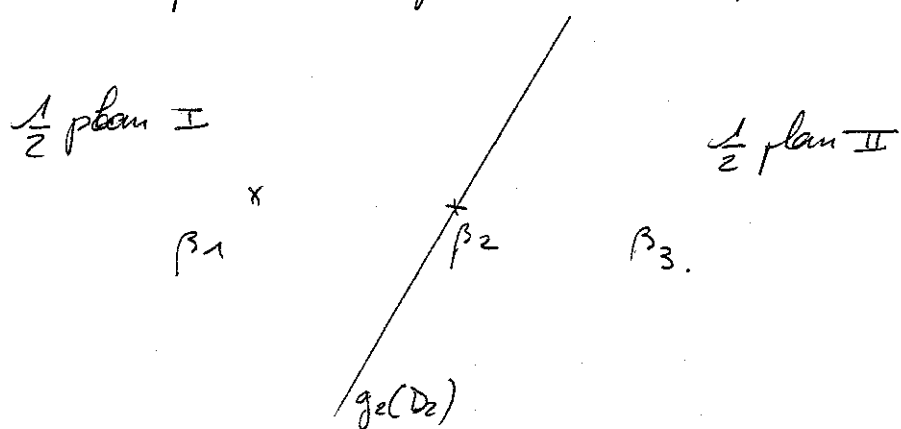
Conclusion: La droite D est bien récente à $g_3(D_3)$, en β_3 , mais cette intersection n'appartient à $g_3([A_3 A_1])$ que si les angles \tilde{A}_1 et \tilde{A}_3 sont aigus et alors $\alpha_3 = g_3^{-1}(\beta_3)$ est le pieds de la hauteur issue de A_2 .

4) Montons maintenant que les 3 points $\beta_1, \beta_2, \beta_3$ sont alignés dans l'ordre de leurs indices sur D .

Les 3 points sont d'après ce qui précède alignés sur la droite D .

Pour montrer qu'ils sont placés dans l'ordre de leurs indices, on va montrer que.

β_1 et β_3 sont dans des $\frac{1}{2}$ plans différents de frontière $g_2(D_2)$ auquelle se trouve β_2



Considérons le triangle $g_2(A_1 A_2 A_3)$ (figue)
Les points $g_2(A_3); \beta_3; g_2(A_1)$ sont dans le $\frac{1}{2}$ plan I de frontière $g_2(D_2)$.

L'image de $g_2(A_1)$ par la symétrie $\sigma_{g_2(D_2)}$ est donc dans le $\frac{1}{2}$ plan II.

$$\text{or } \sigma_{g_2(D_2)}(g_2(A_1)) = g_2 \circ \sigma_{D_2} \circ g_2^{-1}(g_2(A_1))$$

(20)

soit encore :

$$\begin{aligned}
 \Gamma_{g_2(D_2)}(g_2(A_1)) &= g_2 \circ \Gamma_{D_2}(A_1) \\
 &\stackrel{*}{=} (\Gamma_{D_1} \circ \Gamma_{D_2}) \circ \Gamma_{D_2}(A_1) \\
 &\stackrel{*}{=} \Gamma_{D_1}(A_1). \\
 &\stackrel{*}{=} g_1(A_1)
 \end{aligned}$$

donc $g_1(A_1)$ est dans le $\frac{1}{2}$ plan II alors que β_3 est dans le $\frac{1}{2}$ plan I

De plus $g_2(A_2)$ est sur la droite $g_2(D_2)$

mais $g_2(A_2) = g_1(A_2)$ (car $A_2 \in D_2$)

donc $g_1(A_2)$ est sur la droite $g_2(D_2)$

En rapprochant les 2 derniers résultats :

- $g_1(A_1)$ dans le $\frac{1}{2}$ plan II de frontière $g_2(D_2)$.
- $g_1(A_2)$ sur $g_2(D_2)$

On en conclut que

$[g_1(A_1), g_1(A_2)]$ est dans le $\frac{1}{2}$ plan II

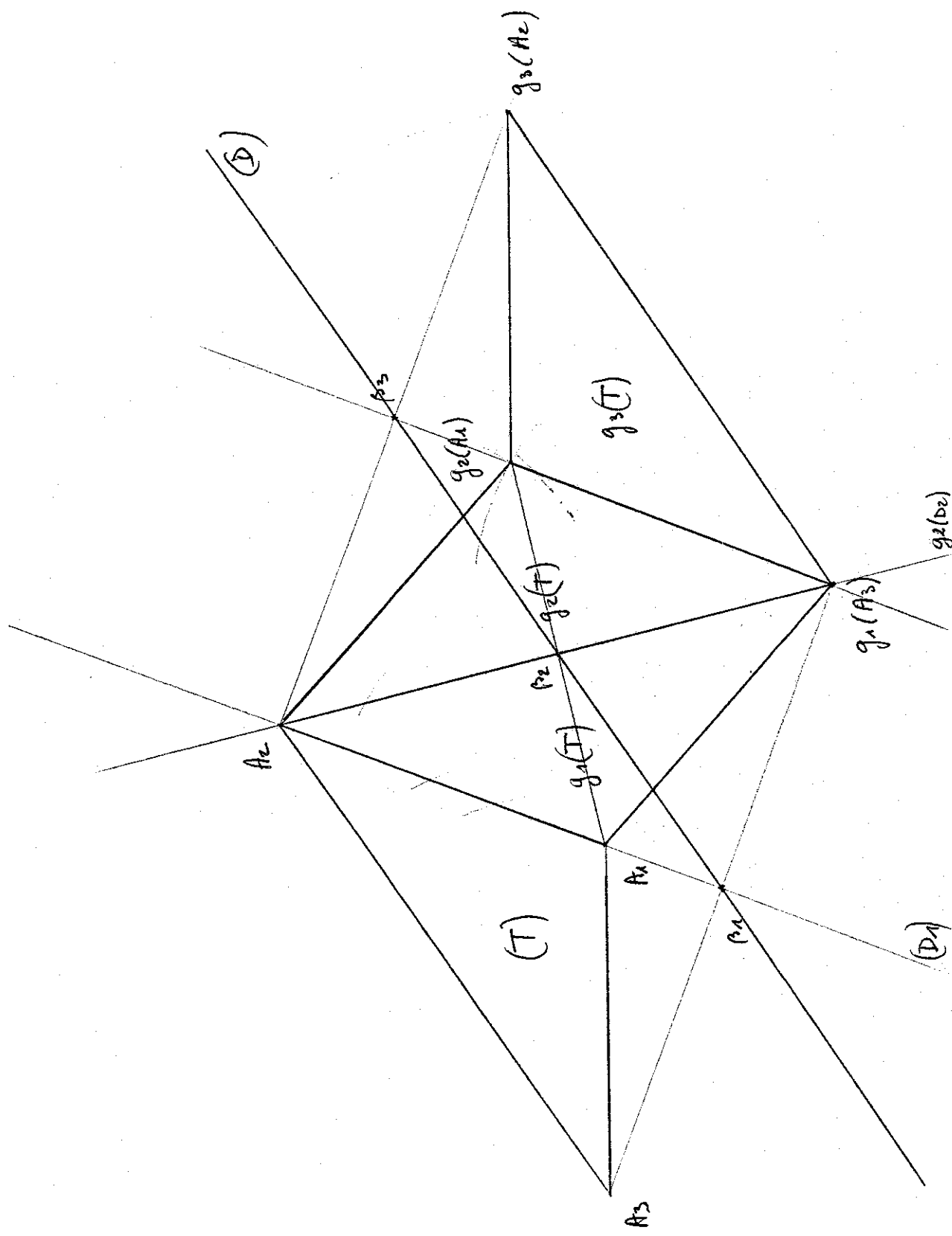
or β_1 est sur ce segment donc

β_1 est dans le $\frac{1}{2}$ plans II

On a donc finalement démontré que

Qu $\beta_1, \beta_2, \beta_3$ sont alignés dans l'ordre de leurs indices.

figure 2 bis



5) Conclusion: proposition 6.

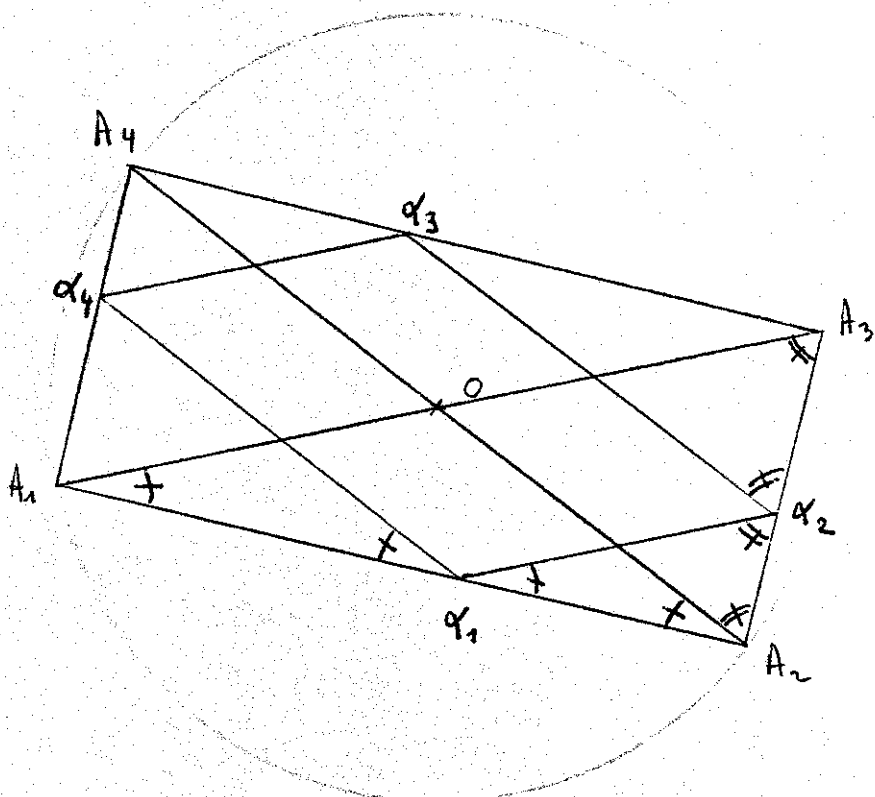
(21)

Un triangle admet une trajectoire de billard unique si ce triangle a ses trois angles aigus.

ssi Les sommets de cette trajectoire sont les pieds des trois hauteurs

Si le triangle a un angle obtus il y a une droite stable par rapport à laquelle il y a une trajectoire de billard (figure 2bis) et un triangle de périmètre minimum (réduisant à l'segment)

Dessin ③



Les angles à la base du triangle isocèle OA_1A_2 sont égaux. Les parallèles aux diagonales créent des angles correspondant et donc égaux à ces derniers. La trajectoire $\alpha_1, \alpha_2, \alpha_3, \alpha_4$ ainsi construite est bien une trajectoire de billard.

3 - Cas du quadrilatère .

On a vu que lorsque le nombre de côtés est pair une condition nécessaire pour qu'il existe une droite stable par g est que $\sum_{p=1}^{n/2} (\mathcal{D}_p, \mathcal{D}_{p+1}) = 0 \pmod{\pi}$ et que dans ce cas g est une translation.

Or Pour un quadrilatère cette condition signifie que A_1, A_2, A_3, A_4 sont cocycliques. Pour que, en plus, ce quadrilatère ait une trajectoire de billard on a la proposition suivante :

Proposition 7

Une condition nécessaire et suffisante pour qu'un quadrilatère convexe, inscriptible dans un cercle, ait une trajectoire de billard est que le centre du cercle circonscrit soit intérieur au quadrilatère.

La démonstration de cette proposition est assez longue aussi l'a-t-on découpée dans un but de plus de clarté et passe-t-on par la démonstration des propositions 8 à 16 qui suivent.

Dessin ③ 3-1 Si le quadrilatère est un rectangle, c'est quasi-immédiat. En effet, en partant de n'importe quel point de $[A_i, A_{i+1}]$ si on suit une trajectoire parallèle aux diagonales on obtient une trajectoire de billard. (voir dessin).

(23)

3.2. Si le quadrilatère n'est pas un rectangle, compte

et les angles droits ? Ils sont éliminés de toute la suite...
 tenue de la condition sur les angles, il possède deux angles obtus et deux angles aigus. Les angles aigus étant consécutifs on peut toujours supposer qu'ils ont pour sommets A_3 et A_4 de sorte que les angles intérieurs de sommets A_1 et A_2 sont obtus. De plus on nomme le quadrilatère de telle façon que l'orientation de la figure soit dans le sens conventionnel, ainsi les angles $(\mathcal{D}_3, \mathcal{D}_2)$ et $(\mathcal{D}_2, \mathcal{D}_1)$ sont intérieurs au polygone, ces angles étant considérés, si cela n'est pas précisé dans leur orientation positive.

On rappelle que $g_i([A_i, A_{i+1}]) = g_{i+1}([A_i, A_{i+1}])$
 et donc $g_1([A_1, A_2]) = [A_1, A_2]$

$$g_2([A_2, A_3]) = g_1([A_2, A_3]) = [A_2, g_1(A_3)]$$

$$g_3([A_3, A_4]) = g_2([A_3, A_4]) = [g_1(A_3), g_2(A_3)]$$

$$g_4([A_4, A_1]) = g_3([A_4, A_1]) = [g_2(A_4), g_3(A_1)]$$

La dernière ligne montre que

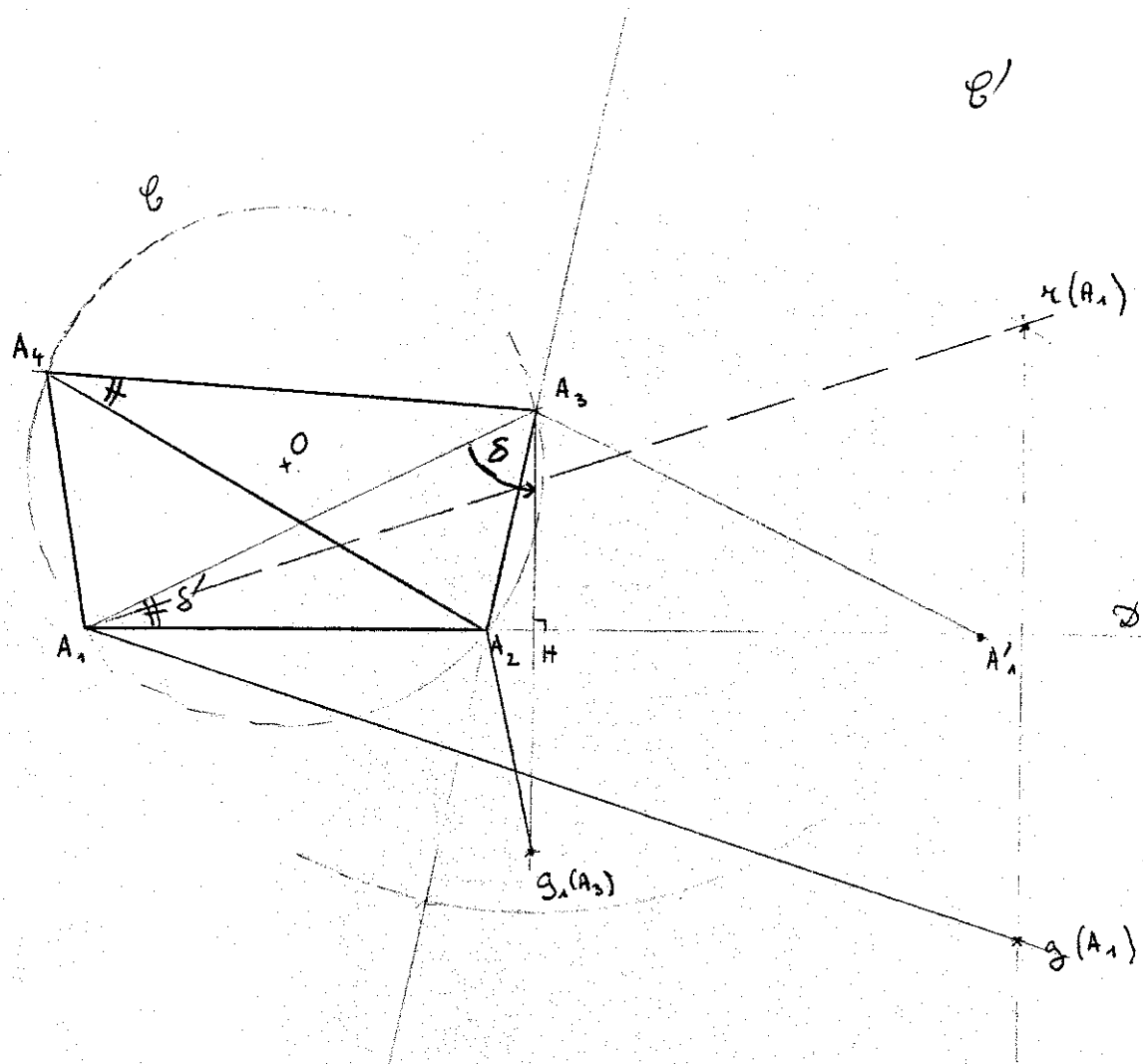
$$g(A_4) = g_4(A_4) = g_2(A_4)$$

g étant une translation les droites de la direction de translation sont stables et parallèles, en particulier $\langle A_1, g(A_1) \rangle$ et $\langle A_4, g(A_4) \rangle$ sont la frontière d'une bande B à bords parallèles.

$$\text{D'autre part } g(A_1) = \overline{\mathcal{D}_1} \circ \overline{\mathcal{D}_2} \circ \overline{\mathcal{D}_3} \circ \overline{\mathcal{D}_4}(A_1)$$

$$A_1 \in \mathcal{D}_4 \text{ donc } g(A_1) = \overline{\mathcal{D}_1} \circ \overline{\mathcal{D}_2} \circ \overline{\mathcal{D}_3}(A_1) \\ = \overline{\mathcal{D}_1} \circ \pi(A_1)$$

Dessin (4)



(24)

où r est la rotation de centre A_3 et d'angle $\angle(D_3, D_2)$

3.2.1. Proposition 8

Dessin ④

Une condition nécessaire et suffisante pour que $r(A_1)$ et A_3 soient dans le même demi-plan ouvert de frontière D_1 est que le centre du cercle circonscrit soit à l'intérieur du quadrilatère $A_1 A_2 A_3 A_4$.

Soit H le projeté orthogonal de A_3 sur D_1 .
Le triangle $A_1 A_2 A_3$ ayant, par hypothèse, un angle obtus en A_2 , le point H est à l'extérieur de ce triangle et du côté de A_2 . Ainsi, l'angle aigu ($\angle A_3, A_1$, $\angle A_3, H$) est de même orientation que l'angle aigu ($\angle A_3, A_1$, $\angle A_3, A_2$) qui est lui-même de même orientation que l'angle aigu (D_3, D_2).

Le premier angle est aigu parce que dans un triangle rectangle en H , le second par hypothèse.

La droite D_1 est sécante au cercle C' de centre A_3 et de rayon $[A_3, A_1]$ car $A_1 \in D_1 \cap C'$ et D_1 n'est pas tangente à C' parce que dans le triangle $A_3 A_1 A_2$ l'angle de sommet A_2 est obtus ce qui implique que ($\angle A_3, A_2$, $\angle A_1, A_3$) n'est pas droit. Soit A'_1 le deuxième point d'intersection. H est le pied de la hauteur issue du sommet principal du triangle isocèle $A_1 A'_1 A_3$ donc $\angle(H, A_3)$ est l'axe de symétrie de ce triangle et on a :

(25)

$$0 < (\langle A_3, A_1 \rangle, \langle A_3, A_2 \rangle) = 2(\langle A_3, A_1 \rangle, \langle A_3, H \rangle) < \pi$$

$$\text{on pose } (\langle A_3, A_1 \rangle, \langle A_3, H \rangle) = S.$$

Il est clair alors que pour que $r(A_1)$ et A_3 soient dans le même demi-plan ouvert de frontière \mathcal{D}_1 , il faut et il suffit que l'angle de rotation $2(\mathcal{D}_3, \mathcal{D}_2)$ de r soit supérieur à $2S$ c'est à dire

$$(\mathcal{D}_3, \mathcal{D}_2) > S$$

Dans le triangle A_1HA_3 rectangle en H , S est le complémentaire de $(\langle A_1, A_2 \rangle, \langle A_1, A_3 \rangle) = S'$
ce qui s'écrit $S + S' = \frac{\pi}{2}$

Par ailleurs, dans le cercle \mathcal{C} , circonscrit au quadrilatère, $(\langle A_1, A_2 \rangle, \langle A_1, A_3 \rangle)$ et $(\langle A_4, A_2 \rangle, \langle A_4, A_3 \rangle)$ interceptent le même arc, ils sont donc égaux et $(\langle A_4, A_2 \rangle, \langle A_4, A_3 \rangle) + S = \frac{\pi}{2}$

* Si $(\mathcal{D}_3, \mathcal{D}_2) > S$ alors comme

$$(\langle A_3, A_4 \rangle, \langle A_3, A_2 \rangle) = (\mathcal{D}_3, \mathcal{D}_2),$$

$$(\langle A_4, A_2 \rangle, \langle A_4, A_3 \rangle) + (\langle A_3, A_4 \rangle, \langle A_3, A_2 \rangle) > \frac{\pi}{2}$$

et donc dans le triangle $A_2A_3A_4$ le troisième angle $(\langle A_2, A_3 \rangle, \langle A_2, A_4 \rangle) < \frac{\pi}{2}$

Le triangle a donc ses trois angles aigus ce qui signifie que le centre O du cercle \mathcal{C} est à l'intérieur du triangle donc du quadrilatère.

Si $(\mathcal{D}_3, \mathcal{D}_2) < S$ les inégalités sont inversées, l'angle de sommet A_2 dans le triangle $A_2A_3A_4$ est obtus, O n'est pas dans ce triangle et comme il n'est pas non plus dans $A_1A_2A_4$ qui possède, par hypothèse un angle obtus en A_1 , il

nécessairement n'est pas dans le quadrilatère.

(2.6)

Enfin, réciproquement si O est dans le quadrilatère, comme il n'est pas dans $A_1 A_2 A_3$, on vient de le voir, il est dans $A_2 A_3 A_4$ qui a donc ses trois angles aigus ce qui en remontant la démonstration précédente amène à $(\vartheta_3, \vartheta_2) > \pi$.

3.2.2 - Proposition 9.

Dessin ④

A_2 et
 $r(A_1)$ sont dans le même demi-plan ouvert de frontière $\langle A_3, A_1 \rangle$

Les angles $(\vartheta_3, \vartheta_2)$ et $(\langle A_3, A_1 \rangle, \langle A_3, A_2 \rangle)$ sont de même orientation et tous les deux aigus donc les angles $(\langle A_3, A_1 \rangle, \langle A_3, A_2 \rangle)$ et $(\langle A_3, A_1 \rangle, \langle A_3, r(A_1) \rangle)$ sont de même orientation et tous deux strictement compris entre 0 et π . C'est une condition nécessaire et suffisante pour que A_2 et $r(A_1)$ soient dans le même demi-plan ouvert de frontière $\langle A_3, A_1 \rangle$

qui

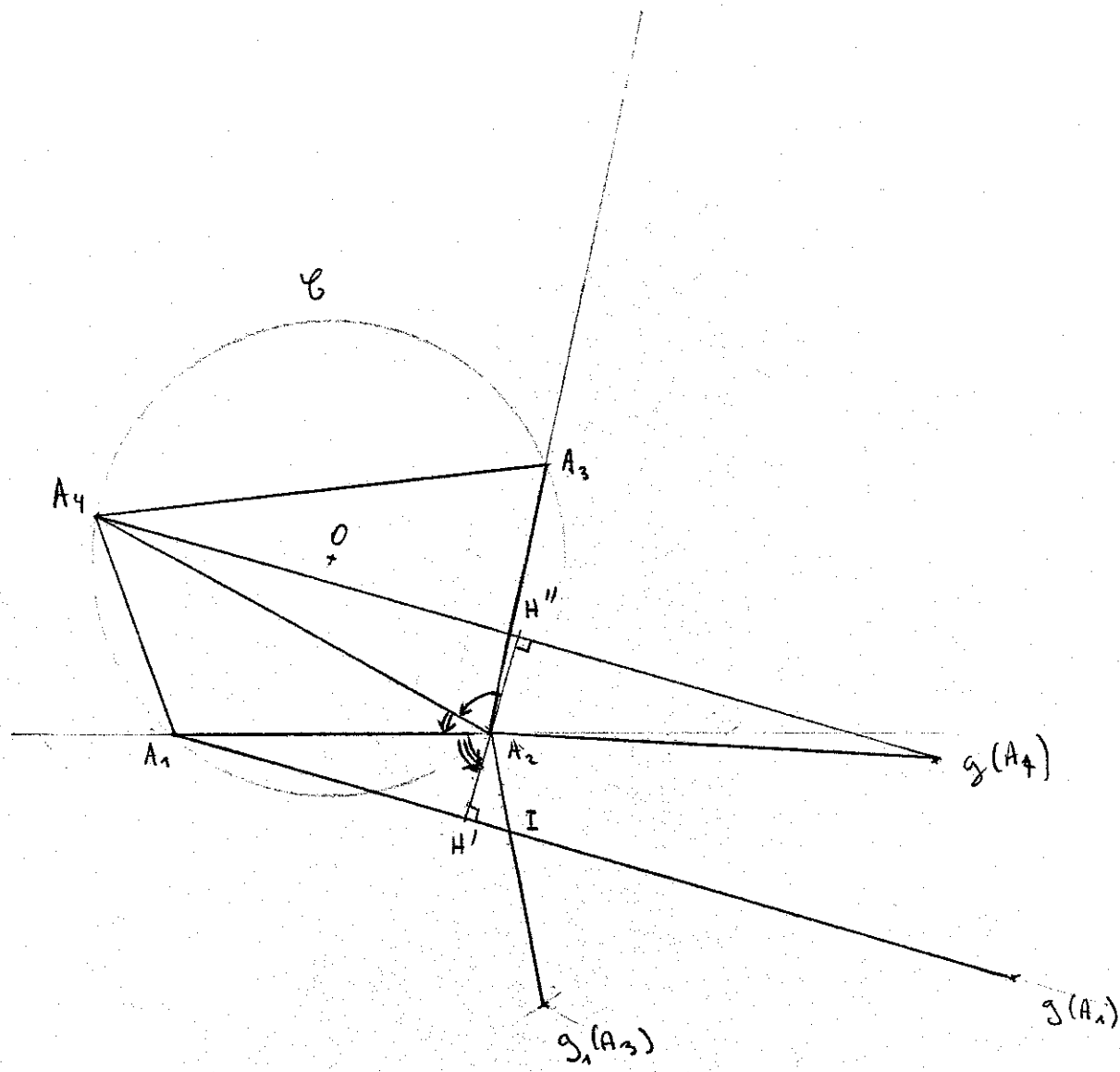
3.2.3 - Proposition 10.

Dessin ④

Si O est intérieur au quadrilatère, la demi-droite $]A_1, r(A_1)\rangle$ coupe $]A_2, A_3[$.

Des propositions 8 et 9 on déduit que $r(A_1)$ est (strictement) compris dans l'intersection du demi-plan ouvert de frontière ϑ_1 contenant A_3 et du demi-plan ouvert de frontière $\langle A_1, A_3 \rangle$ contenant A_2 . Donc la demi-droite $]A_1, r(A_1)\rangle$

Dessin ⑤



(27)

est incluse dans le secteur saillant ouvert de côtés $[A_1, A_3]$ et $[A_1, A_2]$. Soit S ce secteur. Cette demi-droite, étant de plus issue du sommet, elle coupe tout segment ouvert dont les extrémités sont sur les côtés du secteur S . En particulier $[A_1, r(A_1)]$ coupe $[A_2, A_3]$

3.2.4 - Proposition 11.

Dessin (4)

Avec la même hypothèse la demi-droite $[A_1, g_1(A_1)]$ coupe le segment $g_2([A_2, A_3])$

On sait que :

$$g_2([A_2, A_3]) = [A_2, g_1(A_3)] = g_1([A_2, A_3]) \\ g(A_1) = \overline{\varphi}_1 \circ r(A_1)$$

$[A_1, r(A_1)]$ coupe $[A_2, A_3]$

Par symétrie par rapport à \mathcal{D}_1 .

$\sigma_{\mathcal{D}_1}([A_1, r(A_1)])$ coupe $g_1([A_2, A_3])$
c'est à dire $g_2([A_2, A_3])$

3.2.5. Proposition 12.

Dessin (5)

Toujours avec la même hypothèse,
 A_2 est à l'intérieur de la bande B

Soient H' et H'' les projets orthogonaux de A_2 sur, respectivement, $\langle A_1, g(A_1) \rangle$ et $\langle A_4, g(A_4) \rangle$

On a vu plus haut que $g(A_4) = g_2(A_4)$

$$= \overline{\varphi}_1 \circ \overline{\varphi}_2(A_4)$$

$g(A_4)$ est l'image de A_4 dans une rotation P de centre A_2 et d'angle $\varphi(\mathcal{D}_2, \mathcal{D}_1)$

(28)

$(\mathcal{D}_2, \mathcal{D}_1)$ est obtus par hypothèse donc l'angle de rotation est supérieur à π et inférieur à 2π .

On en déduit que $(\langle A_2, g(A_4) \rangle, \langle A_2, A_4 \rangle)$ est strictement compris entre 0 et π . Or le triangle $A_2g(A_4)A_4$ est isocèle de sommet A_2 et donc $[A_2, H'']$ est la bissectrice de l'angle $(\langle A_2, g(A_4) \rangle, \langle A_2, A_4 \rangle)$ ce qui donne $0 < (\langle A_2, H'' \rangle, \langle A_2, A_4 \rangle) < \frac{\pi}{2}$ (i)

Soit I le point d'intersection de $]A_1, g(A_1)\rangle$ et $]A_2, g_1(A_2)\rangle$. Existe-t-il H' ?

Dans le triangle A_1IA_2 , l'angle de sommet A_2 est le symétrique par rapport à \mathcal{D}_1 de l'angle de sommet A_2 du quadrilatère, lequel angle est obtus. Cela signifie que $[A_2, H']$ est intérieur au triangle A_1IA_2 et donc $H' \in]A_1, I[$ (ii)

La symétrie étant une isométrie indirecte on a:

$$\begin{aligned} (\mathcal{D}_2, \mathcal{D}_1) &= -g_1[(\mathcal{D}_2, \mathcal{D}_1)] = g_1[(\mathcal{D}_1, \mathcal{D}_2)] \\ &= (\mathcal{D}_1, g_1(\mathcal{D}_2)) \\ &= (\langle A_2, A_1 \rangle, \langle A_2, I \rangle) \end{aligned}$$

et donc, compte tenu de (ii)

$(\langle A_2, A_1 \rangle, \langle A_2, H' \rangle)$ est de même orientation que $(\langle A_2, A_1 \rangle, \langle A_2, I \rangle)$ est aigu car dans le triangle $A_1H'A_2$ rectangle en H' .

Comme par ailleurs $(\langle A_2, A_4 \rangle, \langle A_2, A_1 \rangle)$ est aigu car d'orientation positive dans le triangle $A_1A_2A_4$ qui possède un angle obtus en A_1 on obtient :

$$0 < (\langle A_2, A_4 \rangle, \langle A_2, A_1 \rangle) + (\langle A_2, A_1 \rangle, \langle A_2, H' \rangle) < \pi$$

d'où $0 < (\langle A_2, A_4 \rangle, \langle A_2, H' \rangle) < \pi$ (iii)

(23)

En considérant (i) et (iii) il vient :

$$0 < (\langle A_2, H'' \rangle, \langle A_2, A_4 \rangle) + (\langle A_2, A_2 \rangle, \langle A_2, H' \rangle) < 2\pi$$

c'est à dire

$$0 < (\langle A_2, H'' \rangle, \langle A_2, H' \rangle) < 2\pi$$

Or les côtés de la bande B étant parallèles, les points H' , A_2 et H'' sont alignés. L'enchaînement ci-dessus impose donc $(\langle A_2, H'' \rangle, \langle A_2, H' \rangle) = \pi$

c'est à dire $A_2 \in]H', H''[$ (iv)

(A_2 n'est pas confondu avec H'' car

$2(\mathcal{D}_2 \mathcal{D}_1) > \pi$ et A_4, A_2 et $g(A_4)$ ne sont donc pas alignés).

(iv) signifie que $A_2 \in B$

3.2.6. Proposition 13.

Dessin (5)

Avec la même hypothèse $\langle A_1, g(A_1) \rangle$ n'est pas parallèle à \mathcal{D}_4 .

En effet A_2 étant dans B , cette bande n'est pas vide (il s'agit d'une bande ouverte) et donc les bords en sont disjoints.

La droite \mathcal{D}_4 qui contient A_4 du bord $\langle A_4, g(A_4) \rangle$ et A_1 du bord $\langle A_1, g(A_1) \rangle$ est donc sécante à $\langle A_1, g(A_1) \rangle$

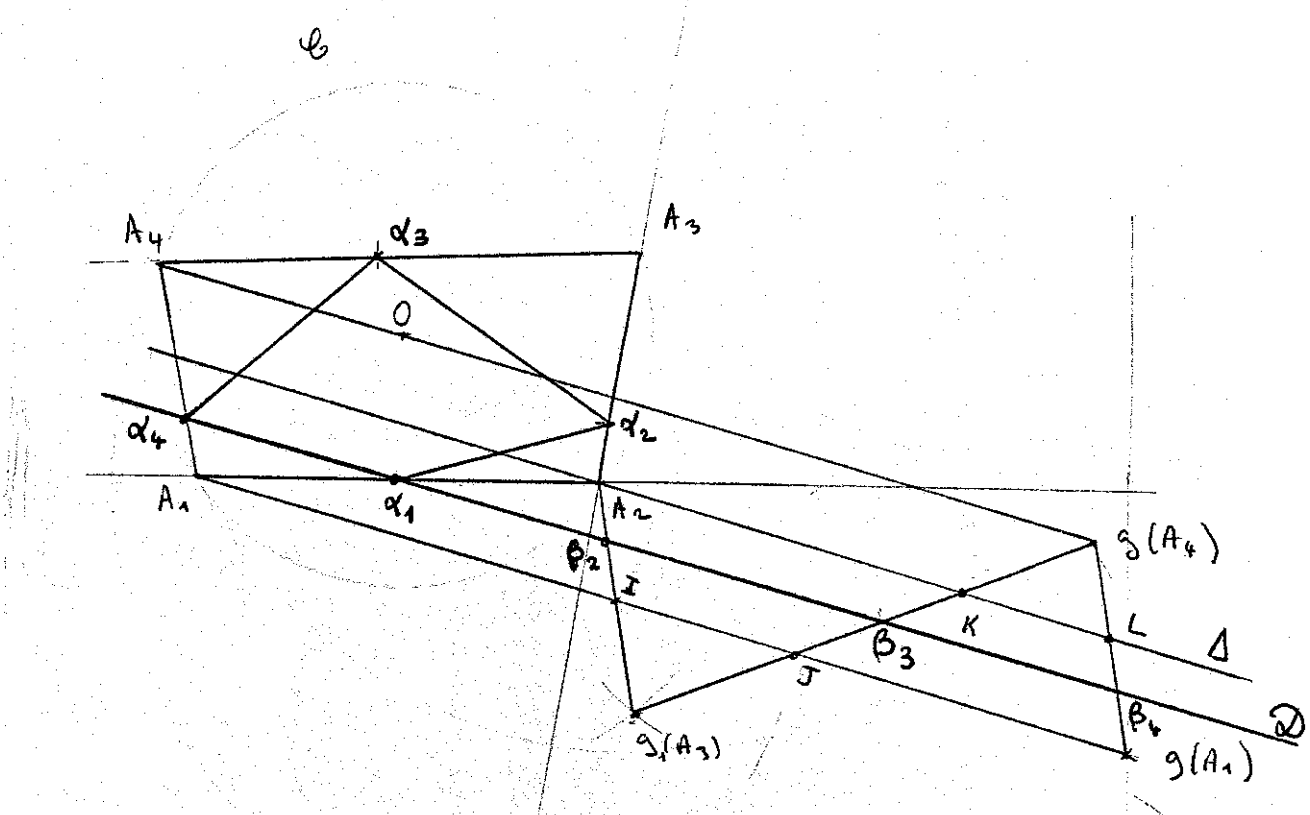
3.2.7. Proposition 14.

Dessin (6)

Toujours avec la même hypothèse,
 $\langle A, g(A) \rangle$ coupe $g_3(JA_3, A_4[)$

A_2 est dans B donc A_2 et $\langle A_4, g(A_4) \rangle$

Dessin ⑥



(30)

sont dans un même demi-plan ouvert de frontière. $\langle A_1, g(A_1) \rangle$ c'est à dire A_2 et $g(A_4)$ sont dans le même demi-plan.

Or $]A_2, g_1(A_3)[$ est coupé par $\langle A_1, g(A_1) \rangle$ donc A_2 et $g_1(A_3)$ sont dans des demi-plans opposés de frontière $\langle A_1, g(A_1) \rangle$. Par suite $g(A_4)$ et $g_1(A_3)$ sont également dans des demi-plans opposés de frontière $\langle A_1, g(A_1) \rangle$, cela implique que $\langle A_1, g(A_1) \rangle$ coupe $]g_1(A_3), g(A_4)[$ c'est à dire $]g_1(A_3), g_2(A_4)[= g_3(]A_3, A_4[)$

Soit J le point d'intersection.

3.2.8 - Proposition 15.

Dessin (6)

Avec l'hypothèse O intérieur au quadrilatère la bande ouverte B' dont la frontière est constituée par la droite $\langle A_1, g(A_1) \rangle$ et la droite Δ passant par A_2 qui lui est parallèle est la bande de résolution.

Cela signifie que toute droite parallèle à $\langle A_1, g(A_1) \rangle$ incluse dans B' vérifie les hypothèses de la proposition 4 et donc permet d'obtenir une trajectoire de billard.

Il suffit d'appliquer la propriété suivante: toute droite incluse dans une bande à bords parallèle est sécante à tout segment dont les extrémités sont sur des bords distincts

Ainsi $\Delta \subset B$, $J \in \langle A_1, g(A_1) \rangle$ et $g(A_4) \in \langle A_4, g(A_4) \rangle \Rightarrow \Delta$ coupe $]J, g(A_4)[$

(3)

Soit K ce point d'intersection.

$g(A_1) \in \langle A_1, g(A_1) \rangle$ donc Δ coupe $[g(A_1), g(A_4)]$. Soit L ce point d'intersection. On obtient

$$[J, K] \subset g_3([A_3, A_4]) \text{ et } [L, g(A_1)] \subset g_4([A_4, A_1])$$

Ainsi les points $A_1, I, J, g(A_1)$ étant sur $\langle A_1, g(A_1) \rangle$ et A_2, K, L étant sur Δ , toute droite \mathcal{D} incluse dans B' (dans la même direction que B') coupe $[A_1, A_2], [A_2, I], [J, K]$ et $[L, g(A_1)]$ c'est à dire \mathcal{D} coupe

$$g_1([A_1, A_2]), g_2([A_2, A_3]), g_3([A_3, A_4]) \text{ et } g_4([A_4, A_1])$$

en des points $\beta_1, \beta_2, \beta_3$ et β_4 .

β_4 est sur $g_4([A_4, A_1]) = g([A_4, A_1])$ donc $g^{-1}(\beta_4) = \alpha_4$ est sur $[A_4, A_1]$.

$\beta_1 \in g_1([A_1, A_2]) = [A_1, A_2]$ on pose $\beta_1 = \alpha_1$ et donc $\mathcal{D} = \langle \alpha_4, \alpha_1 \rangle$

$$\text{De plus } g_i(P) = \sigma_{g_{i+1}(\mathcal{D}_i)} \circ g_{i+1}(P)$$

donc les $g_i(P)$ étant convexes, $g_i(P)$ et $g_{i+1}(P)$ sont dans des demi-plan opposés de frontière $g_{i+1}(\mathcal{D}_i)$.

$$\beta_i \in g_{i+1}(\mathcal{D}_i) = g_i(\mathcal{D}_i) \quad (\text{la frontière})$$

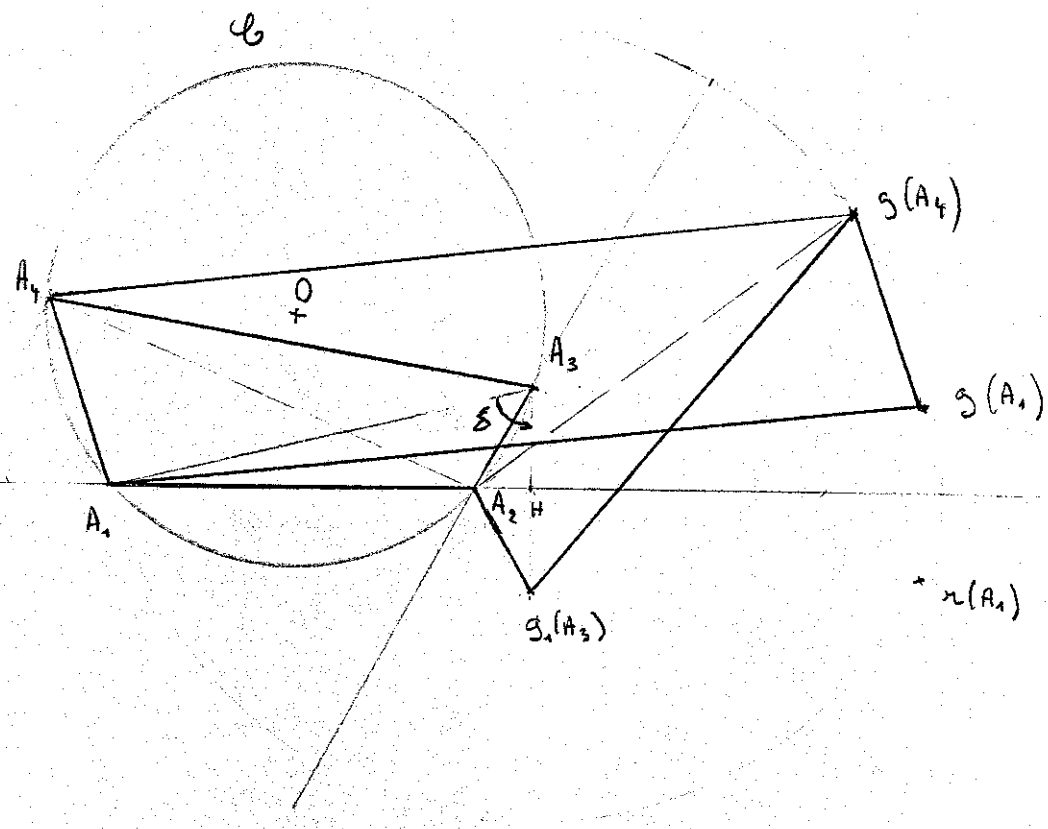
$$\beta_{i+1} \in g_{i+1}(P)$$

$$\beta_{i+1} \in g_{i+1}(\mathcal{D}_i) = g_i(\mathcal{D}_i) \in g_i(P)$$

Donc la droite $\langle \beta_{i+1}, \beta_i \rangle$ coupe la frontière $g_{i+1}(\mathcal{D}_i)$ en un point qui ne peut être que β_i par hypothèse donc

$\beta_i \in [\beta_{i+1}, \beta_{i+1}]$ ce qui assure l'ordre des points qui est donc vrai en tenant

Desin ⑦



compte que pour la même raison $d_1 \in]d_4, \beta_2[$

$d_4, d_1, \beta_2, \beta_3, \beta_4$

La droite \mathcal{D} répond aux hypothèses de la proposition 4.

3.2.9 Proposition 16.

Dessin 7

Si $r(A_1)$ et A_3 ne sont pas dans le même demi-plan ouvert de frontière \mathcal{D}_1 , il n'y a pas de trajectoire de billard dans le quadrilatère.

D'après la proposition 8 cette hypothèse équivaut à O n'est pas à l'intérieur du quadrilatère. Le triangle $A_2 A_3 A_4$ qui ne contient donc pas O possède un angle obtus qui ne peut être qu'en A_2 compte tenu des hypothèses sur A_3 et A_4 .

La rotation P transforme A_4 en $g(A_4)$ et a pour angle $2(\mathcal{D}_2, \mathcal{D}_1)$ or

$$(\mathcal{D}_2, \mathcal{D}_1) = (\langle A_2, A_3 \rangle, \langle A_2, A_4 \rangle) + (\langle A_2, A_4 \rangle, \langle A_2, A_1 \rangle)$$

ces deux angles étant de même orientation positive et avec

$\frac{\pi}{2} < (\langle A_2, A_3 \rangle, \langle A_2, A_4 \rangle) < \pi$ car c'est l'angle obtus du triangle $A_2 A_3 A_4$.

$$2(\mathcal{D}_2, \mathcal{D}_1) = 2(\underbrace{\langle A_2, A_3 \rangle, \langle A_2, A_4 \rangle}_{\pi}) + 2(\langle A_2, A_4 \rangle, \langle A_2, A_1 \rangle)$$

$$2(\mathcal{D}_2, \mathcal{D}_1) > \pi + (\langle A_2, A_4 \rangle, \langle A_2, A_1 \rangle)$$

Cela suffit pour que A_4 et $g(A_4)$ soient dans le même demi-plan ^{ouvert} de frontière \mathcal{D}_1 .

L'hypothèse indique par ailleurs que A_3 et

(33)

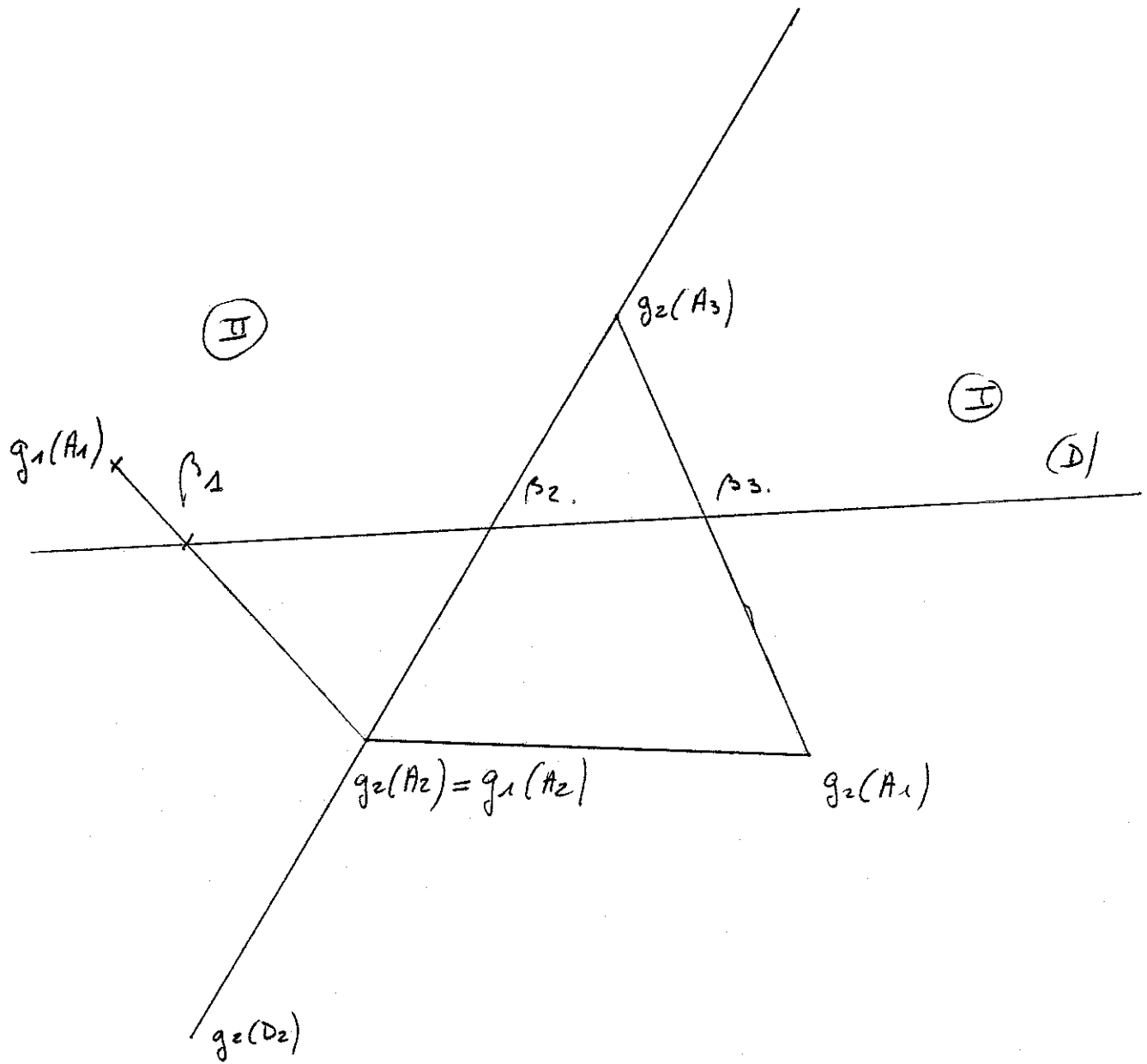
$r(A_1)$ ne sont pas dans le même demi-plan ouvert de frontière \mathcal{D}_1 , donc $g(A_1)$ qui est dans le demi-plan opposé à $r(A_1)$ est donc dans le même demi-plan fermé que A_3 et donc que A_4 et $g(A_4)$.
Ainsi le parallélogramme $A_1 g(A_1) g(A_4) A_4$ est inclus dans le demi plan fermé de frontière \mathcal{D}_1 .

La frontière et le parallélogramme ont au plus en commun le côté $[A_1, g(A_1)]$ et donc A_2 est au mieux sur le côté mais dans tous les cas pas à l'intérieur du parallélogramme.

Une droite incluse dans B qui coupe $g_4([A_4, A_1])$ coupe $[A_4, A_1]$, si α_4 et β_4 sont respectivement ces deux points alors $\beta_4 \in \mathcal{D}_2$ il existe, n'appartient pas à $[\alpha_4, \beta_4]$ car $[\alpha_4, \beta_4]$ est inclus de le parallélogramme ouvert et l'intersection de ce parallélogramme avec $[A_1, A_2]$ est vide.

Les hypothèses de la proposition 4 ne sont pas réunies donc le quadrilatère ne possède pas de trajectoire de billard.

Ceci achève complètement la démonstration de la proposition 7.



C4 PEGC, 90-91, Partiel n°2

Sujet n°2 (transvections, dilatations)

A l'aide des documents ci-joints, résoudre le problème proposé (on en donnera une rédaction).

Rédiger ensuite un exercice sur les transvections affines et les dilatations affines (en rédigeant aussi les démonstrations).

Documents joints :

Tisseron Géométries affine, projective, et euclidienne (Hermann) pp. 71 à 79

Lelong-Ferrand et Arnaudiès, Cours de mathématiques Tome 3 (Dunod) pp. 6 à 11 et 44 à 47

Arnaudiès et Fraisse, Cours de mathématiques Tome 1 (Dunod) pp. 204 à 211

19. Dans tout le problème, E est un espace vectoriel de dimension finie $n \geq 2$ sur un corps commutatif K . H un hyperplan de E .

Soit u un endomorphisme de E laissant invariant tout élément de H .

1^o Montrer que si $a \in E - H$, on peut écrire $u(a) = ya + t$ où $t \in H$ et où y est un scalaire indépendant de a .

2^o On suppose $y \neq 1$. Montrer que y est valeur propre de u , que le sous-espace propre associé à y est une droite S , supplémentaire de H . On dit alors que u est une dilatation d'hyperplan H , de droite S et de rapport y .

Soit V un sous-espace de E . Montrer que, pour que $u(V) \subset V$, il faut et il suffit que $V \subset H$ ou $S \subset V$.

3^o On suppose $y = 1$. On dit alors que u est une transvection.

Soit $g(x) = 0$ une équation de H (g étant une forme linéaire). Montrer qu'il existe un vecteur unique $c \in H$ tel que, $\forall x \in E$, $u(x) = x + g(x)c$. Réciproque? Montrer que u est une bijection. Si $u \neq Id$ prouver que la droite T passant par c est indépendante de l'équation de H choisie. On dit alors que u est une transvection d'hyperplan H et de droite T . Quels sont les valeurs propres de u , les sous-espaces associés?

Soit V un sous-espace de E . A quelle(s) condition(s) nécessaire(s) et suffisante(s) a-t-on $u(V) \subset V$?

4^o Soient u, u' deux transvections $\neq Id$ d'hyperplans respectifs H et H' , de droites respectives T et T' .

a) Montrer que $uu' = u'u \implies D \subset H'$ et $D' \subset H$.

b) A quelle(s) condition(s) nécessaire(s) et suffisante(s) uu' est-il une transvection?

5^o Soient v un automorphisme de E , u une transvection (resp. une dilatation). Montrer que vuv^{-1} est une transvection (resp. une dilatation) dont on précisera les éléments en fonction de ceux de u .

6^o Soit $\Gamma(E, H)$ le groupe des automorphismes de E laissant invariants les points de H . Montrer que l'ensemble $\Theta(E, H)$ des transvections laissant invariants les points de H est un sous-groupe commutatif distingué de $\Gamma(E, H)$, isomorphe au

groupe additif H . Montrer que le groupe quotient $\Gamma(E, H)/\Theta(E, H)$ est isomorphe au groupe multiplicatif $K - \{0\}$. (On précisera la correspondance).

7^o Soit $T(E)$ le sous-groupe de $GL(E)$ engendré par les transvections de E .

a) Montrer que $T(E)$ est distingué dans $GL(E)$.

b) Montrer que si x et y sont deux vecteurs non nuls de E , il existe un $\sigma \in T(E)$ tel que $\sigma(x) = y$.

C4 PEGC, 90-91, Partiel n°2

Sujet n°4 (groupe d'isométries du cube)

A l'aide du polycopié et des documents ci-joints, résoudre d'abord l'exercice ci-joint.

Donner ensuite deux démonstrations différentes permettant d'obtenir le groupe des isométries du cube (une inspirée de l'exemple 4 des documents et l'autre tirée du polycopié).

On demande de rédiger chaque démonstration de la façon suivante : indiquer d'abord la suite des propositions choisies pour arriver au résultat, en dégageant bien le raisonnement adopté, puis donner les démonstrations complètes de chacune de ces propositions.

Il faut donc réaliser un découpage, laissé à l'initiative de chacun, et montrer l'enchaînement qui conduit au résultat.

Documents joints :

Arnaudiès et Fraisse Cours de mathématiques Tome 1 (Dunod) pp. 238 à 245

EXERCICE : On considère dans \mathbb{R}^3 (espace affine euclidien) un tétraèdre régulier MNPQ. On appelle J le groupe des isométries conservant globalement l'ensemble S des sommets du tétraèdre.

1) Montrer que J agit sur S par $(\phi, T) = \phi(T)$ si ϕ est un élément de J et T un sommet du tétraèdre.

2) A toute isométrie ϕ de J on associe la permutation de $[1, 2, 3, 4]$ définie par $\phi(1), \phi(2), \phi(3), \phi(4)$ où on identifie M, N, P et Q à 1, 2, 3 et 4.

Montrer que l'application de J dans S_4 ainsi définie est un morphisme de groupes injectif. En déduire que J est isomorphe à un sous-groupe de S_4 .

3) Préciser la nature géométrique de l'isométrie de J qui laisse M et N fixes et qui échange P et Q ? Quelle est l'image de cette isométrie dans l'isomorphisme précédent ?

En déduire que J est isomorphe à S_4 .

On rappelle que le groupe S_n est engendré par les transpositions.

4) Montrer que le sous-groupe de J formé des seules isométries directes est isomorphe au sous-groupe alterné A_4 des permutations paires de S_4 .

FONCTIONS DE VARIABLE COMPLEXE (C3)

5 sujets (dont trois partiellement illustrés par des copies)

C3 PEGC, 90-91, Partiel n°2
Sujet n°1

(I) Quelles propriétés des fonctions de variable complexe peut-on repérer dans les exercices de baccalauréat (série C ou E) où interviennent ces fonctions ? Il s'agit de propriétés qui ne sont pas connues des élèves de terminale mais qui justifient les énoncés.

Pouvez-vous proposer d'autres solutions que celles qui sont envisageables à ce niveau (utilisant le principe du maximum ou la conformité par exemple) ?
On analysera une session d'examen.

(II) A l'aide des documents ci-joints, étudier la fonction de Joukowski (en particulier donner l'image des domaines ou des courbes où on a un résultat intéressant, en indiquant les démonstrations complètes) - il s'agit de la fonction définie par $f(z) = \frac{1}{2} (z + \frac{1}{z})$.

(III) A l'aide des documents ci-joints, donner une démonstration du théorème suivant (d'inversion globale) :

Si f est une fonction analytique sur un ouvert U de \mathbb{C} , et si f est injective, alors f est un isomorphisme analytique de U sur V (où $V = f(U)$) et, pour tout z de U , $f'(z) \neq 0$.

En déduire qu'il n'y a pas d'isomorphisme analytique de \mathbb{C} sur le disque unité ouvert D (centre 0, rayon 1).

On rappelle qu'on appelle isomorphisme analytique une fonction bijective analytique ainsi que son inverse.

Documents joints :

Dieudonné Calcul infinitésimal (Hermann) pp. 250 à 255 et pp. 335 à 341

Cartan Théorie des fonctions analytiques (Hermann) pp. 181 à 187

Lang Complex analysis (Springer Verlag) pp. 72 à 79

Henrici Applied and computational Complex analysis Vol I (Wiley & Sons) pp. 294 à 299.

Krasnov et al. Fonctions d'une variable complexe et leurs applications (Mir) pp. 122 à 133

GRÉHAIGNE - LE GOFF Annie
LEBRUN Lionel

Lundi 13 mai 1991

C3. Variables complexes

Partiel n: 2

Sujet n: 1

⑥

I) Exercices de Baccalauréat (C-E) et propriétés de fonctions de variable complexe
pages 2 à 21

II) Fonction de Joukowski
pages 23 à 54

III) Théorème de l'inversion globale
pages 55 à 68

I)

I Quelles propriétés des fonctions de variable complexe peut-on repérer dans les exercices de baccalauréat (série C ou E) où interviennent ces fonctions ? Il s'agit de propriétés qui ne sont pas connues des élèves de terminale mais qui justifient les énoncés.

Pouvez-vous proposer d'autres solutions que celles qui sont envisageables à ce niveau (utilisant le principe du maximum ou la conformité par exemple) ?
On analysera une session d'examen.

A

$$\boxed{\text{Fonction } z \longmapsto \frac{1}{z}}$$

Rappelons quelques propriétés de cette fonction

Son domaine de définition est \mathbb{C}^* . Elle est bijective de \mathbb{C}^* dans \mathbb{C}^* , elle est involutive.

Elle transforme droites et cercles en droites et cercles avec changement de nature possible. Plus précisément, en n'oubliant pas que 0 n'appartient ni au domaine de définition, ni à l'ensemble des images on a :

$$@ \text{ droite passant par } 0 \xrightarrow[f]{f^{-1}} \text{ droite passant par } 0 \\ f^{-1} = f$$

en particulier, le plan étant rapporté au repère orthonormal (O, \vec{u}, \vec{v}) ,

demi-droite d'origine 0
 et d'angle θ par rapport à \vec{u} \xrightarrow{f}
 $f^{-1} = f$ demi-droite d'origine 0
 et d'angle $-\theta$ par rapport à \vec{u}
(3)

(b) droite ne passant pas par 0 \xrightarrow{f} cercle passant par 0
 $f^{-1} = f$

(c) cercle ne passant pas par 0 \xrightarrow{f} cercle ne passant pas par 0
 $f^{-1} = f$

en particulier,

cercle de centre 0, de rayon r \xrightarrow{f} cercle de centre 0, de rayon $\frac{1}{r}$
 $f^{-1} = f$

Prenons par exemple l'exercice ci-dessous

Djibouti - Maroc - Portugal - Sénégal
Juin 1986. 4 points (E)

Soit f l'application de $E = \mathbb{C} - \{-i\}$ dans \mathbb{C} définie par :

$$z \mapsto f(z) = \frac{iz}{z+i}$$

Dans le plan complexe rapporté au repère orthonormal $(O; \vec{u}, \vec{v})$ on note M le point d'affixe z .

1. Déterminer les coordonnées du point B dont l'affixe z_0 est telle que :

$$f(z_0) = 1 + 2i.$$

2. Soit z un élément de E. On note r le module de $z + i$ et α une mesure de son argument.

Exprimer la forme trigonométrique de $f(z) - i$ en fonction de r et α .

3. Soit A le point d'affixe $-i$.

a) Déterminer l'ensemble \mathcal{C} des points M vérifiant $|f(z) - i| = \sqrt{2}$ et l'ensemble \mathcal{D} des points M tels que $\frac{\pi}{4}$ soit une mesure de l'argument de $f(z) - i$.

b) Montrer que B appartient à \mathcal{C} et \mathcal{D} et construire \mathcal{C} et \mathcal{D} .

On peut imaginer que l'auteur, voulant utiliser les propriétés de la fonction $z \mapsto \frac{1}{z}$ a construit cet exercice de la façon suivante :

$$z \longmapsto \frac{1}{z}$$

$$z+i \longmapsto \frac{1}{z+i} \quad \left(\text{dans les propriétés (O), (G) et (C) évoquées plus haut il suffit de remplacer } O \text{ par } -i \right)$$

$$\text{et } z \xrightarrow{f} z+i \xrightarrow{g} \frac{1}{z+i} \xrightarrow{h} \frac{1}{z+i} + i = \frac{iz}{z+i}$$

f et h sont des translations

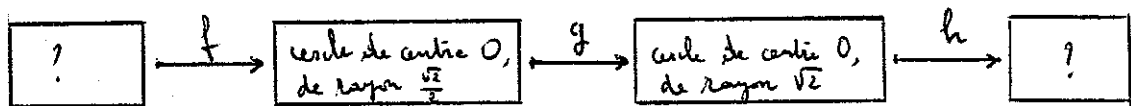
g est une fonction de la forme $z \mapsto \frac{1}{z}$

d'antécédent de O par f est $-i$, l'image de O par h est i , ainsi

la fonction $z \mapsto \frac{iz}{z+i}$ est une bijection de $\mathbb{C} - \{-i\}$ sur $\mathbb{C} - \{i\}$

La 1^{re} question est donc justifiée : $1+2i$ a un et un seul antécédent

Pour construire les questions suivantes, l'auteur a pu suivre les deux schémas suivants

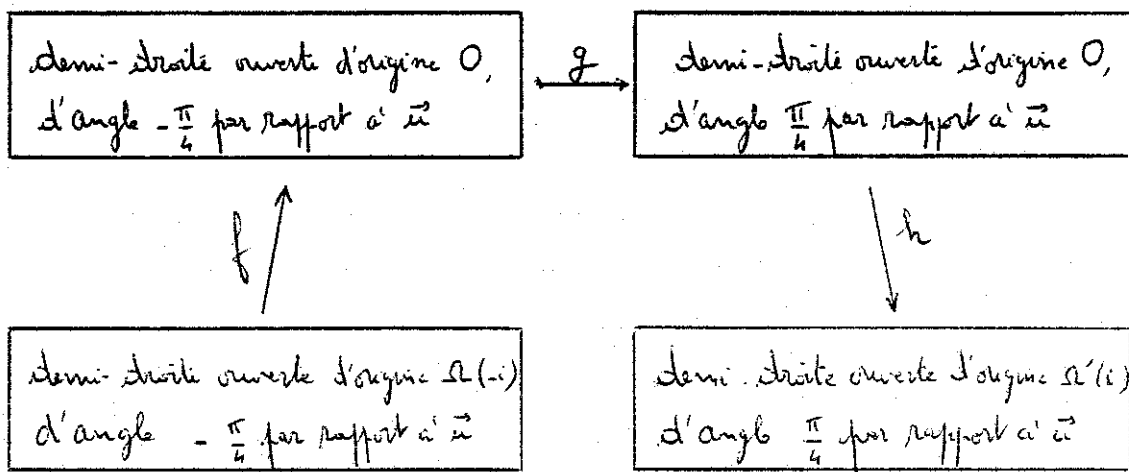


(5)

et, d'après les propriétés des translations

le cercle de centre $\Omega(-i)$ de rayon $\frac{\sqrt{2}}{2}$ est la courbe de départ

le cercle de centre $\Omega'(i)$ de rayon $\sqrt{2}$ est la courbe image



Il est donc possible de répondre aux questions posées en complétant les tableaux, de droite à gauche.

Ce n'est pas la méthode attendue ; l'auteur guide les candidats en leur faisant exprimer le module et l'argument de $f(z) - i$ en fonction de $z + i$.

(B) La fonction figurant dans l'exercice précédent est une fonction homographique
Ce type de fonction apparaît dans de nombreux exercices du Baccalauréat

Rappelons quelques propriétés de la fonction

$$f: z \mapsto \frac{az+b}{cz+d}$$

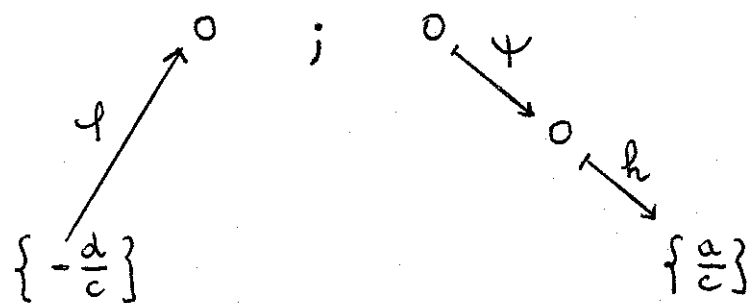
a, b, c et d étant des complexes
tels que $ad - bc \neq 0$,
on prend $a \neq 0$ et $c \neq 0$

- Une telle fonction se décompose ainsi

$$z \xrightarrow{f} \frac{1}{cz+d} \xrightarrow{g} \frac{1}{\frac{1}{cz+d}} \xrightarrow{\psi} (b - \frac{ad}{c}) \frac{1}{cz+d} \xrightarrow{h} \frac{a}{c} + \frac{b - \frac{ad}{c}}{cz+d}$$

f et ψ sont des similitudes directes, h est une translation
ce sont trois applications dont les propriétés sont connues;
 g est de la forme $z \mapsto \frac{1}{z}$ et on peut donc utiliser

les propriétés évoquées au A



La fonction homographique f est donc bijective de $\mathbb{C} - \{-\frac{d}{c}\}$ sur $\mathbb{C} - \{\frac{a}{c}\}$.

La réciproque $z \mapsto \frac{dz-b}{a-cz}$ est aussi homographique

- En utilisant les propriétés A, B et C évoquées au A, en reprenant la décomposition de f et en utilisant les propriétés des similitudes directes

(7)

et des translations on a

$$\text{droite passant par } A\left(-\frac{d}{c}\right) \xleftrightarrow[f^{-1}]{f} \text{droite passant par } B\left(\frac{a}{c}\right)$$

$$\text{droite ne passant pas par } A\left(-\frac{d}{c}\right) \xleftrightarrow[f^{-1}]{f} \text{ cercle passant par } B\left(\frac{a}{c}\right)$$

$$\text{ cercle ne passant pas par } A\left(-\frac{d}{c}\right) \xleftrightarrow[f^{-1}]{f} \text{ cercle ne passant pas par } B\left(\frac{a}{c}\right)$$

(en n'oubliant pas que $-\frac{d}{c}$ n'appartient pas à \mathcal{D}_f et que $\frac{a}{c}$ n'est pas dans l'ensemble des images par f)

- Rappelons aussi: si la fonction homographique f admet deux points fixes z_1 et z_2 , il existe un complexe non nul κ tel que

$$\forall z \in \mathcal{D}_f - \{\frac{a}{c}\} \quad \frac{f(z) - z_1}{f(z) - z_2} = \kappa \frac{z - z_1}{z - z_2} ; \quad \kappa = \frac{a - cz_1}{a - cz_2}$$

Prenons deux exemples d'exercices de baccalauréat

N°

6-G**Baccalauréat International Juin 1989. 4 points**

*

Le plan est rapporté à un repère orthonormal direct ($O ; \vec{u}, \vec{v}$) et tout point M de coordonnées (x, y) est repéré par son affixe $z = x + iy$.

On désigne par A, B, C et D les points d'affixes $-1 ; 1 ;$

$\frac{1}{2}$ et 2 .

A tout point m du plan d'affixe $z, z \neq 2$, on associe le point M d'affixe Z tel que :

$$Z = \frac{2z - 1}{2 - z}.$$

1. Déterminer l'ensemble E des points m d'affixes z tels que $|Z|=1$.
2. Déterminer l'ensemble F des points m d'affixe z
tels que $\arg Z = \frac{\pi}{2}$ (2π).
3. Tracer les ensembles E et F dans le repère $(O ; \vec{u}, \vec{v})$, unité graphique : 2 cm.
4. Exprimer, en fonction de z , le complexe $U = \frac{Z-1}{Z+1}$.
En déduire que les quatre points A, B, m, M sont cocycliques ou alignés.

On peut imaginer que l'auteur a construit l'exercice de la façon suivante.

Il a pu chercher une fonction homographique

$$z \mapsto \frac{az+b}{cz+d} \text{ ayant 2 points fixes simples (1 et -1)}$$

et pour laquelle la valeur de κ est un réel positif
(pour pouvoir poser la 4^e question), $\kappa=3$ par exemple

$$3 = \frac{a-cz_1}{a-cz_2} = \frac{a-c}{a+c} \quad \text{ainsi } 2a+4c=0$$

Les coefficients a, b, c et d étant définis à un facteur multiplicatif non nul près (dans $z \mapsto \frac{az+b}{cz+d}$)

si on remplace a, b, c et d par ka, kb, kc et kd avec $k \neq 0$, on ne change pas la fonction),

on a pu choisir $c=-1$ et alors $a=2$

La résolution de $f(1)=1$ et $f(-1)=-1$ donne

$$b=-1 \text{ et } d=2.$$

$$\text{Ainsi } f(z) = \frac{2z-1}{2-z}$$

- S'agissant d'une fonction homographique, l'auteur sait que l'antécédent d'un cercle et celui d'une demi-droite sont des figures particulières, ce qui justifie les deux premières questions.

- La 4^e question se justifie par la construction

de la fonction f . En effet z et $-z$ sont des points fixes de f , (9)

$$\frac{f(z)-1}{f(z)+1} = \kappa \frac{z-1}{z+1}$$

Comme κ a été choisi dans \mathbb{R}^+ , $\arg(\kappa \frac{z-1}{z+1}) = \arg(\frac{z-1}{z+1})$

Ainsi $\arg\left(\frac{f(z)-1}{f(z)+1}\right) = \arg\left(\frac{z-1}{z+1}\right)$ et, en posant

$A(-1)$, $B(1)$, $m(z)$, $M(f(z))$ on a $(\overrightarrow{AM}, \overrightarrow{BM}) = (\overrightarrow{Am}, \overrightarrow{Bm})$
et les points A , B , m et M sont bien alignés ou conjugués

2^e

8-CE

Aix - Corse - Marseille - Montpellier
Nice - Toulouse

O
Juin 1988

θ étant un nombre réel de l'intervalle $]0 ; 2[$, on considère les deux nombres complexes :

$$z = e^{i\theta}, \text{ (ou encore } z = \cos \theta + i \sin \theta\text{)} \text{ et } Z = \frac{1+z}{1-z}$$

et on note $|Z|$ le module de Z .

1. Montrer que $Z = i \cotan \frac{\theta}{2}$ (où $\cotan \frac{\theta}{2} = \frac{\cos \frac{\theta}{2}}{\sin \frac{\theta}{2}}$)

2. Pour quelles valeurs de θ l'argument de Z est-il défini ? A quoi est-il alors égal ? (On distingue deux cas suivant les valeurs de θ .)

3. A quoi est égal $|Z|$?

4. On pose $I = \int_{\frac{\pi}{2}}^{\pi} |Z| d\theta$. Justifier l'existence de cette intégrale et la

calculer (on pourra mettre $|Z|$ sous la forme $k \frac{u'(\theta)}{u(\theta)}$ où k est un nombre réel et u une fonction de θ).

$$f : z \longrightarrow \frac{az+b}{cz+d} = \frac{z+1}{-z+1}$$

f est une bijection de $\mathbb{C} - \{1\}$ dans $\mathbb{C} - \{-1\}$

Par la lecture des propriétés vues plus haut, puisque le cercle unité passe par le point d'abscisse 1, son image est une droite (ne passant pas par le point d'abscisse -1). En fait $f(-1) = 0$ et $f(1) = i$ donc l'image du cercle unité est l'axe imaginaire.

$z = e^{i\theta}$ appartenant au cercle unité, $z = f(z)$ est donc sur l'axe imaginaire et il n'est donc pas étonnant de voir à la première question qui on demande d'exprimer z sous la forme $i \cotan \frac{\theta}{2}$

$f(\theta) = \cotan \frac{\theta}{2}$ peut être trouvée de la façon suivante :

$$z = \frac{1 + e^{i\theta}}{1 - e^{i\theta}} = \frac{e^{\frac{i\theta}{2}}(e^{-\frac{i\theta}{2}} + e^{+\frac{i\theta}{2}})}{e^{i\frac{\theta}{2}}(e^{-\frac{i\theta}{2}} - e^{+\frac{i\theta}{2}})} = \frac{2 \cos \frac{\theta}{2}}{-2i \sin \frac{\theta}{2}} = i \cotan \frac{\theta}{2}$$

Rappelons qu'en terminale "e^{iθ}" n'est utilisée que comme notation.

La fonction $\begin{cases} z \mapsto \frac{1}{z} \\ z \mapsto e^z \end{cases}$ n'est pas connue à ce niveau

(C) Dans certains exercices du baccalauréat on peut trouver la recherche de l'image ou de l'antécédent d'un domaine par une fonction f

Il peut s'agir d'une fonction homographique ou d'une autre fonction holomorphe sur un domaine

(11)

Les propriétés sous-jacentes sont alors

- si une fonction f est holomorphe et non constante sur un domaine D , l'image de tout ouvert D' de D est un ouvert de $f(D)$ (théorème de l'application ouverte)

et même,

du fait de la continuité d'une fonction holomorphe, si une fonction f est holomorphe et non constante sur un domaine D , $f(D)$ est un domaine

Nous utiliserons d'ailleurs ces propriétés au II lors de la recherche de l'image de certains domaines par la fonction de Joukowski

Prenons par exemple, l'exercice suivant, extrait d'un problème de baccalauréat (Rennes 77) tiré dans les annales de 1990

Soit (P) le plan orienté rapporté à un repère orthonormé direct. A tout point m de coordonnées (x, y) dans ce repère est associé le nombre complexe $z = x + iy$ appelé affixe du point m . On appelle A et B les points de (P) d'affixes respectives i et $-i$.

1° Soit φ l'application de $\mathbb{C} \setminus \{-i\}$ dans $\mathbb{C} \setminus \{i\}$ définie par

$$\varphi(z) = \frac{z - i}{z + i}.$$

Montrer que φ est bijective.

2° Quel est le sous-ensemble (P_1) de (P) des points m dont l'affixe z vérifie la propriété $|\varphi(z)| < 1$?

3° k étant un nombre réel donné vérifiant $0 \leq k < 1$, montrer que le sous-ensemble (P_2) de (P_1) des points m dont l'affixe z vérifie la propriété $|\varphi(z)| = k$ est un cercle, dont on déterminera le centre et le rayon.

d'après problème Rennes C sept. 1977

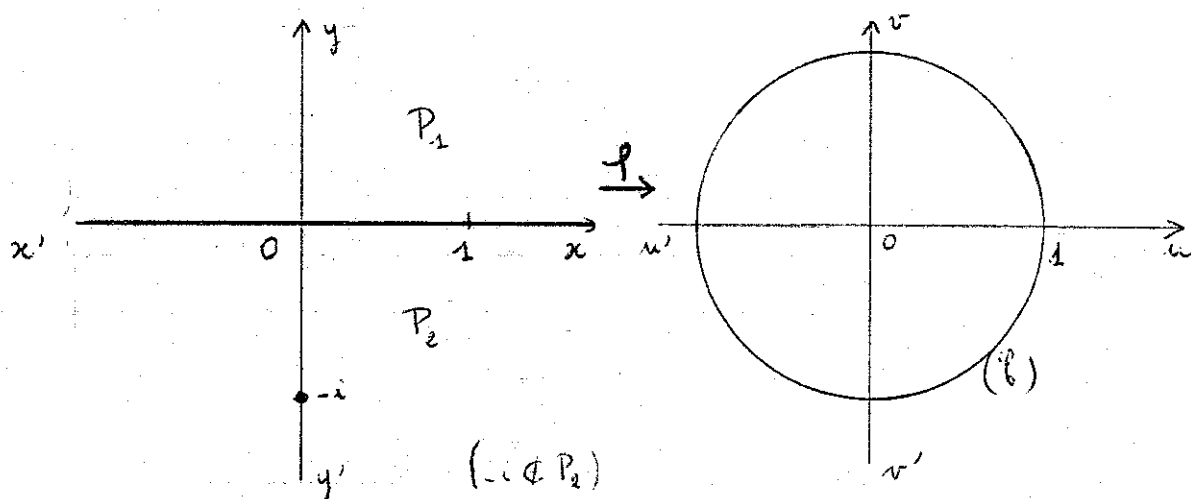
On peut trouver la réponse à la 2^e question en utilisant les propriétés citées plus haut

$$f(z) = \frac{z-i}{z+i}$$

f est bijective de $\mathbb{C} - \{ -i \}$ dans $\mathbb{C} - \{ 1 \}$

L'antécédent du cercle unité (\mathcal{C}) est une droite ou un cercle. En fait, c'est l'axe des réels car si z est réel, $z-i$ et $z+i$ sont conjugués et donc

$$\left| \frac{z-i}{z+i} \right| = 1$$



f est holomorphe sur chacun des domaines P_1 et P_2 donc les images de ceux-ci sont des domaines D_1 et D_2

$\{P_1, (\bar{x}x'), P_2\}$ formant une partition de $\mathbb{C} - \{-i\}$, comme f est bijective de $\mathbb{C} - \{-i\}$ sur $\mathbb{C} - \{1\}$ alors $f(P_1) \cap f(P_2) = f(\bar{x}x')$ n'ont, deux à deux, aucun point commun.

$$f(P_1) \cup f(\bar{x}x') \cup f(P_2) = f(\mathbb{C} - \{-i\}) = \mathbb{C} - \{1\}$$

(13)

$D_1 \cup D_2 \cup \{0\} = \mathbb{C} - \{1\}$, et comme D_1 et D_2 sont des domaines ne contenant aucun point du cercle $\{1\}$, l'un est l'extérieur de ce cercle, l'autre l'intérieur.

Or $f(1) = 0$ donc $f(P_+)$ est l'intérieur du disque unité.

qui L'ensemble des z tels que $|f(z)| < 1$ est donc le demi-plan $\operatorname{Im} z > 0$

① Des questions liées à la conformité figurent aussi dans certains exercices du Baccalauréat

Rappel

Toute fonction f holomorphe dans un ouvert U et dont la dérivée ne s'annule pas dans U est conforme dans cet ouvert. Si deux courbes paramétrées se coupent en un point $m(z_0)$ de l'ouvert et admettent des tangentes en ce point, l'angle orienté formé par celles-ci est égal à l'angle orienté formé par les tangentes aux courbes images en $M(f(z_0))$.

Prenons deux exemples

1^e) Regardons le II du problème suivant

PARIS E 1986

PROBLÈME (9 points)

Le plan complexe P est rapporté à un repère orthonormé $(O; \vec{u}, \vec{v})$, (unité graphique : 1 cm). On note P_+ l'ensemble des points M de P d'abscisse positive ou nulle.

On se propose d'étudier quelques propriétés de la transformation T qui à tout point m du plan, d'affixe z , associe le point M d'affixe $Z = z^2$.

I

Propriétés élémentaires de T. Transformés des demi-droites d'origine O et des demi-cercles de centre O.

- 1° a) Déterminer le module R et un argument θ de $Z = z^2$ connaissant le module r et un argument α de z , où $z \neq 0$.
- b) Déterminer l'image C , par T du demi-cercle C , de centre O et de rayon r contenu dans P_+ .
- c) Déterminer l'image D_α par T de la demi-droite D_α d'origine O et de vecteur directeur $\cos \alpha \vec{u} + \sin \alpha \vec{v}$, où $\alpha \in \left[-\frac{\pi}{2}, \frac{\pi}{2}\right]$.
- d) Tracer sur une même figure les demi-cercles C , pour $r = 1$, $r = \frac{1}{2}$, $r = 2$ et les demi-droites D_α , où $\alpha = \frac{k\pi}{6}$, k entier, $|k| \leq 3$. Tracer sur une autre figure les transformés par T des demi-cercles et demi-droites précédents.
- 2° a) Soit m et m' des points du plan symétriques par rapport à O ; comparer $T(m)$ et $T(m')$.
- b) Même question lorsque m et m' sont symétriques par rapport à la droite $(O; \vec{u})$, puis par rapport à la droite $(O; \vec{v})$.
- c) Soit k un nombre réel strictement positif, φ un nombre réel et S la similitude directe de centre O , de rapport k et d'angle mesuré par φ . Soit m et m' deux points de P , M et M' leurs transformés par T ; montrer que, si $m' = S(m)$, alors $M' = S^2(M)$.

II

Transformés des droites parallèles aux axes de coordonnées.

Pour tout nombre réel λ , on note E_λ l'image par T de la droite E_λ d'équation $y = \lambda$ et pour tout nombre réel μ , on note F_μ l'image par T de la droite F_μ d'équation $x = \mu$.

1° On pose $z = x + iy$ et $Z = X + iY$. Exprimer X et Y en fonction de x et y .

2° a) En déduire que l'image E_1 par T de la droite E_1 d'équation $y = 1$ est une parabole de foyer O dont on déterminera le sommet et la directrice.

b) Préciser les tangentes à E_1 aux points d'intersection de E_1 avec l'axe (O, \vec{v}) .

c) Construire avec soin la parabole E_1 .

3° Soit λ un nombre réel strictement positif.

a) Montrer que la droite E_λ se déduit de la droite E_1 par une homothétie de centre O , que l'on précisera.

b) En utilisant le résultat de la question I, 2°, c), indiquer comment E_λ se déduit de E_1 .

Préciser la nature de la courbe E_λ et tracer E_λ pour $\lambda = 2$ sur la même figure que E_1 .

4° Soit μ un nombre réel strictement positif.

A l'aide de I, 2°, c), indiquer comment l'image F_1 de F_1 se déduit de E_1 et comment les images F_μ se déduisent de F_1 .

Tracer F_1 et F_2 sur la même figure que précédemment.

5° Soit M un point d'intersection de E_λ et de F_μ .

Montrer que les tangentes en ce point à E_λ et F_μ sont orthogonales.

Nous pouvons répondre rapidement à la 5^e question. En effet E_λ , droite d'équation $y = \lambda$ ($\lambda > 0$) et F_μ , droite d'équation $x = \mu$ ($\mu > 0$) se coupent orthogonalement en un point et affix z_0 non nulle.

La fonction $f : z \mapsto z^2$ est holomorphe dans \mathbb{C} , sa dérivée $z \mapsto 2z$ non nulle en z_0 . Ainsi les images E_λ et F_μ des droites E_λ et F_μ se coupent orthogonalement.

2) Regardons le B) du problème suivant

Amiens - Rouen
Juin 1987. 12 points (E)

(P) est le plan rapporté au repère orthonormé direct $(O; \vec{u}, \vec{v})$; A est le point de coordonnées $(1, 0)$.

(C) est le cercle de centre O et de rayon 1.

A tout point de (P) de coordonnées (x, y) on associe son affixe z égale à $x + iy$ où i est le nombre complexe de module 1 et d'argument $\frac{\pi}{2}$.

f est l'application de \mathbb{C} dans lui-même définie par :

$$f(z) = 2z - z^2.$$

F est l'application de (P) dans lui-même qui à tout point m d'affixe z associe le point M d'affixe Z égale à $f(z)$.

On prendra 3 cm pour unité de longueur.

Le but de ce problème est d'étudier l'image (K) du cercle (C) par F .

A) Soit m un point du cercle (C) d'affixe z et M son image par F . (15)

1. a) Soient m_1 et m_2 les points d'affixes respectives z^2 et $2z$. Quels sont les modules de z , $2z$ et z^2 ? Donner les arguments de $2z$ et z^2 en fonction de celui de z .

b) Montrer que le quadrilatère Om_1m_2M est un parallélogramme.
c) En déduire une construction géométrique simple de M à partir de m .

2. Montrer que A et M sont symétriques orthogonalement par rapport à la tangente (T) en m au cercle (C) .

En déduire une autre construction de M à partir de m .

N.B. : On veillera à faire deux figures distinctes accompagnées d'une courte explication du tracé effectué.

B) Soit e^{it} , $t \in [-\pi, \pi]$ l'affixe d'un point m de (C) .

1. Calculer $f(e^{it})$ et en déduire que l'image (K) de (C) par F est la courbe paramétrée :

$$\begin{cases} X(t) = 2 \cos t - \cos 2t \\ Y(t) = 2 \sin t - \sin 2t \end{cases} \quad (t \in [-\pi, \pi])$$

2. Montrer que les points d'affixes $f(e^{it})$ et $f(e^{-it})$ sont symétriques par rapport à l'axe des abscisses. Qu'en déduit-on pour (K) ?

Étudier sur l'intervalle $[0, \pi]$ les variations des fonctions X et Y de la variable t .

3. a) Montrer que si t est différent de 0, la tangente à (K) au point M de paramètre t est dirigée par le vecteur de coordonnées :

$$\left(\cos \frac{3t}{2}, \sin \frac{3t}{2} \right).$$

On admettra que ce résultat est encore valable quand t est nul.

b) Montrer que le vecteur \overrightarrow{mM} est orthogonal à la tangente à (K) en M .

4. Construire les points de (K) où la tangente est parallèle aux axes de coordonnées.

Répondons à la question 3) b)

La fonction $f: z \mapsto 2z - z^2$ est holomorphe dans C , de dérivée $f'(z) = 2 - 2z$. Soit m un point du cercle unité, d'affixe $e^{it} \neq 1$.

Le cercle unité et la demi-droite $[0m)$ se coupent orthogonalement en m . En ce point f' est non nulle donc les courbes images qui on pourra appeler respectivement (K) (comme dans le texte) et (Γ) se coupent orthogonalement en $M (f(e^{it}))$. Leurs tangentes sont orthogonales en M .

Ainsi, pour répondre à la question, il suffit de chercher un vecteur dirigeant la tangente à (Γ) en M et le comparer à \overrightarrow{mM} .

La demi-droite $[0, \infty)$ a été paramétrée par $z = e^{it}$ avec t variant de 0 à $+\infty$.

La courbe image (Γ) est donc paramétrée par

$$Z = 2z - z^2 = 2e^{it} - e^{2it} \text{ avec } t \in [0; +\infty]$$

La tangente à cette courbe en M est dirigée par le vecteur d'affixe $2e^{it} - 2e^{2it}$ avec $t=1$, soit $2(e^{it} - e^{2it})$.

Or \overrightarrow{mM} a pour affixe $f(z) - z = z - z^2 = e^{it} - e^{2it}$.

Le vecteur \overrightarrow{mM} dirige donc aussi la tangente à (Γ) en M et le vecteur \overrightarrow{mM} est donc bien orthogonal à la tangente à la courbe (K) en M .

Rémarque. Si m a pour affixe 1, M pour affixe 1 et \overrightarrow{mM} est le vecteur nul, vecteur orthogonal à tout vecteur.

(E) Théorème de D'Alembert

Etudions un exercice (juin 86) dans lequel est sous-jacent le théorème de D'Alembert : tout polynôme de degré n a au moins une racine dans \mathbb{C} et même, plus précisément il en a n , distinctes ou non.

Amérique du Nord
Juin 1986. 5 points

(C)

Soit le polynôme $P(z) = z^3 - 4z + \lambda$ où z désigne un nombre complexe et où λ est un nombre réel.

1. Montrer que si l'équation $P(z) = 0$ admet une solution complexe z_0 ,

alors \bar{z}_0 est aussi solution.

En déduire que l'équation $P(z) = 0$ admet au moins une solution réelle sans chercher à résoudre l'équation.

2. Déterminer λ pour que l'équation $P(z) = 0$ admette une racine réelle de module 2.

Résoudre l'équation pour la valeur de λ ainsi trouvée.

3. Déterminer λ pour que l'équation $P(z) = 0$ admette une racine complexe de module 2.

Résoudre l'équation pour les valeurs de λ ainsi trouvées et préciser le module et l'argument de chaque solution.

Répondons à la première question, comme pourrait le faire un élève de Terminale. (17)

Si z_0 est solution, $z_0^3 - 4z_0 + \lambda = 0$ donc $\overline{z_0^3 - 4z_0 + \lambda} = 0$

et comme λ est un réel, $\overline{z_0^3 - 4z_0 + \lambda} = 0$, ainsi \bar{z}_0 est aussi solution.

Remarque : si $z_0 \in \mathbb{R}$, $\bar{z}_0 = z_0$ mais il ne faut pas conclure hâtivement que z_0 est racine double.

En effet, si l'on considère par exemple, le polynôme $Q(z) = z^2 - 1$, on montre comme précédemment que si z_0 est solution, \bar{z}_0 l'est également ; or 1 est solution mais n'est pas racine double !

En fait, en précisant "solution complexe z_0 ", l'auteur devrait avoir à l'esprit $z_0 \in \mathbb{C} - \mathbb{R}$.

Dans ce cas $\bar{z}_0 \neq z_0$ et si z_0 est solution, le polynôme $P(z)$ peut se factoriser sous la forme

$$P(z) = (z - z_0)(z - \bar{z}_0)(z + \mu)$$

Il y aurait donc une 3^e racine : $-\mu$

λ, terme constant de $P(z)$ est égal à $z_0 \bar{z}_0 \mu$ et donc

$$\mu = \frac{\lambda}{z_0 \bar{z}_0} = \frac{\lambda}{|z_0|^2} \quad \text{soit } \mu \in \mathbb{R}$$

Alors, si z_0 est complexe non réel et solution,
il y a forcément une solution réelle

oui

Cet exercice, présenté ainsi, semble en fait hors programme (peut-être ne l'était-il pas en 1986). En effet, le "si" implique qu'on ne peut déduire l'existence d'au moins une racine réelle que si l'on est sûr de l'existence de racines. Le théorème de D'Alambert assure l'existence de celles-ci, mais n'est pas au programme de Terminale.

(F) Un problème de géométrie résolu dans le cadre complexe.

Principe du module maximum

39-C

Baccalauréat
international

Jun 1989. 4 points



Dans le plan orienté, ABCD et AEFG sont deux carrés tels que

$$(\overrightarrow{AB}, \overrightarrow{AD}) = \frac{\pi}{2} (2\pi) \text{ et } (\overrightarrow{AE}, \overrightarrow{AG}) = \frac{\pi}{2} (2\pi).$$

On désigne par M, N, P et Q les milieux respectifs des segments [BD], [DE], [EG], [GB].

1. Montrer que MNPQ est un parallélogramme.

2. Soit R la rotation de centre A et d'angle $\frac{\pi}{2}$.

Déterminer l'image du segment [BE] par cette rotation R.
En déduire que MNPQ est un carré.

3. On désigne par l et m les longueurs respectives des côtés des carrés ABCD et AEFG. On pose $(AB, AE) = \alpha$, $\alpha \in [0; 2\pi[$.

a) Exprimer, en fonction de l , m et α , la longueur des côtés du carré MNPQ.

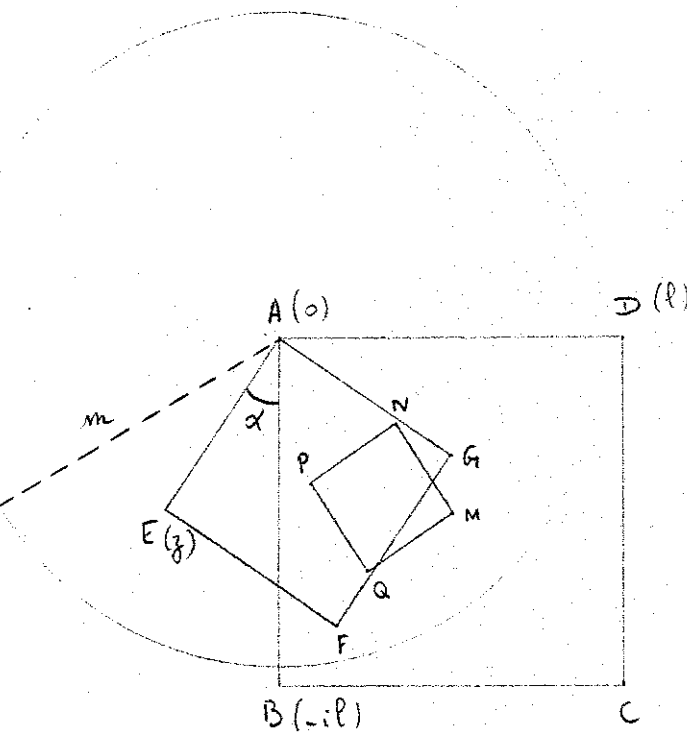
b) Déterminer α pour que l'aire du carré MNPQ soit maximale.

(19)

On peut répondre à la question 3) b), tout comme aux questions précédentes, en utilisant les nombres complexes.

Faisons comment
ce repère est lié une affix à chacun des points
à la figure

On considère un repère orthonormal (A, \vec{u}, \vec{v}) pour attribuer



Soit $A(0)$

Le nombre l étant la longueur des côtés du carré $ABCD$ on a $D(l)$ et $B(-il)$

On pose $E(z)$. Comme G est l'image de E dans la rotation de centre A , d'angle $\frac{\pi}{2}$, on a $G(iz)$

Par définition des points M, N, P et Q on a

$$M\left(\frac{t-d}{2}\right), N\left(\frac{t+i}{2}\right), P\left(\frac{z+i}{2}\right) \text{ et } Q\left(\frac{iz-l}{2}\right)$$

$$\text{Ainsi, } \overrightarrow{MN}\left(\frac{z+d}{2}\right) \text{ et } \overrightarrow{QP}\left(\frac{z+d}{2}\right)$$

MNPQ est donc un parallélogramme.

$$\cdot \overrightarrow{MQ}\left(\frac{iz-l}{2}\right)$$

$$MQ = \left| \frac{iz-l}{2} \right| = \left| i \frac{z+d}{2} \right| = \left| \frac{z+d}{2} \right| = MN ;$$

$$\begin{aligned} (\widehat{\vec{u}, \vec{MQ}}) &= \arg\left(\frac{iz-l}{2}\right) = \arg\left(i \frac{z+d}{2}\right) = \arg\left(\frac{z+d}{2}\right) + \frac{\pi}{2} \\ &= (\widehat{\vec{u}, \vec{MN}}) + \frac{\pi}{2} \quad (2\pi) \end{aligned}$$

$$\text{donc } (\widehat{\vec{MN}, \vec{MQ}}) = \frac{\pi}{2} \quad (2\pi)$$

MNPQ est donc un carré.

$$\cdot \text{ L'aire de ce carré est égale à } \left| \frac{z+d}{2} \right|^2$$

Elle est maximale quand $|z+d|$ est maximum.

Soit un disque $D(A, r)$, de centre A et de rayon r.

La fonction $z \rightarrow z+d$ est holomorphe dans C. Elle est donc analytique dans $D(A, r)$ et continue dans $\bar{D}(A, r)$.

Comme elle n'est pas constante, $\sup_{z \in \bar{D}(A, r)} |f(z)|$ ne peut être

$$z \in \bar{D}(A, r)$$

(21)

étant que sur la frontière, en vertu du principe du module maximum.

Ceci prouve que pour un carré ABCD donné, plus le carré AEFG est grand, plus l'aire du carré MNPO est grande et ce, quel que soit l'angle α . (si le côté du carré AEFG augmente, que l'angle α varie ou pas, l'aire du carré MNPO augmente obligatoirement).

Prenons $|z|=m$ et cherchons α pour que l'aire soit maximale.

$$|z+\bar{d}| \leq |z| + |\bar{d}|$$

$$|z+\bar{d}| = BE \quad ; \quad |z| + |\bar{d}| = AE + BA$$

$|z+\bar{d}| = |z| + |\bar{d}|$ si, et seulement si, A est sur le segment $[BE]$.

L'aire maximale est donc obtenue pour $\alpha = \pi$.

On a alors $E(im)$ et l'aire est $\left| \frac{m+i\bar{l}}{2} \right|^2 = \frac{(m+l)^2}{4}$

C3 PEGC, 90-91, Partiel n°2

Sujet n°2 (représentation conforme)

On s'aidera des documents ci-joints pour résoudre les questions suivantes.

- (I) On rappelle qu'on appelle isomorphisme analytique une fonction bijective analytique ainsi que son inverse (automorphisme si l'ensemble de départ et d'arrivée sont les mêmes).

On note D le disque unité ouvert de centre 0 et de rayon 1 .

On note P le demi plan suivant : $P = \{ z ; \operatorname{Im} z > 0 \}$.

1) Donner une démonstration du théorème suivant (d'inversion globale) :

Si f est une fonction analytique sur un ouvert U de \mathbb{C} , et si f est injective, alors f est un isomorphisme analytique de U sur V (où $V = f(U)$) et, pour tout z de U , $f'(z) \neq 0$.

En déduire qu'il n'y a pas d'isomorphisme analytique de \mathbb{C} sur le disque unité ouvert D (centre 0 , rayon 1).

2) Quels sont tous les automorphismes (analytiques) de D sur D ?

Quels sont tous les automorphismes (analytiques) de P sur P ?

[Facultatif : Quels sont tous les automorphismes de \mathbb{C} sur \mathbb{C} ?]

3) Dresser un catalogue d' isomorphismes analytiques envoyant les domaines de la liste ci-jointe sur les images indiquées.

Pour cette question 3, on rédigera à part les démonstrations.

- (II) Etudier la fonction de Joukowski définie par

$$f(z) = \frac{1}{2} \left(z + \frac{1}{z} \right)$$

En particulier donner l'image des domaines ou des courbes où on a un résultat intéressant, en indiquant les démonstrations.

Documents joints :

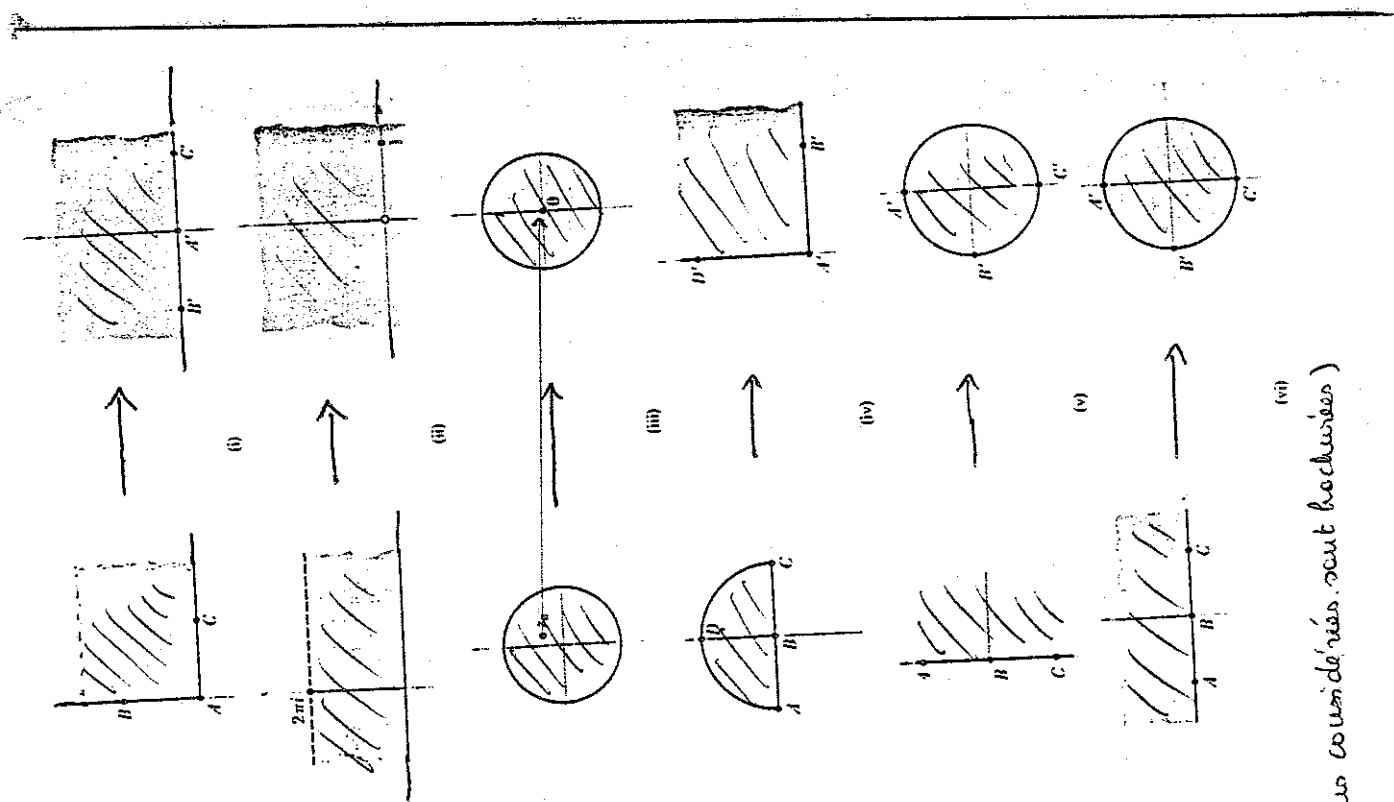
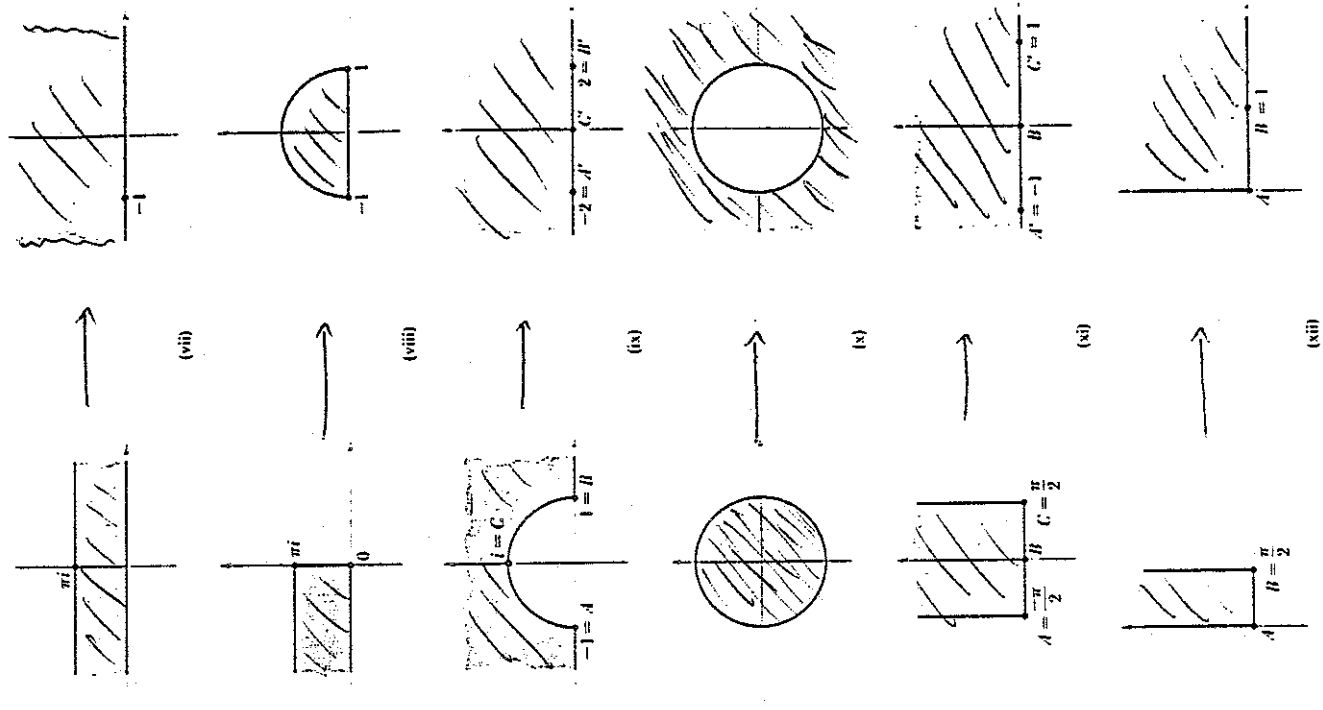
Lang Complex analysis (Springer Verlag) pp. 198 à 223 et pp. 72 à 79

Dieudonné Calcul infinitésimal (Hermann) pp. 250 à 255 et pp. 335 à 341

Cartan Théorie des fonctions analytiques (Hermann) pp. 181 à 187

Henrici Applied and computational Complex analysis Vol I (Wiley & Sons) pp. 294 à 299.

Krasnov et al. Fonctions d'une variable complexe et leurs applications (Mir) pp. 122 à 133



(los regresos se consideran dentro del recubrimiento)

I-1). THÉORÈME D'INVERSION GLOBALE.

1

T.B.

C'est excellent**a) Introduction et plan de la démonstration.**

19/20

Pour toute fonction $f: U \rightarrow V$ ($U \subset \mathbb{C}$, $V \subset \mathbb{C}$), si on restreint l'ensemble d'arrivée V à $f(U)$, f est surjective. Alors si f est injective, elle est bijective et admet une bijection réciproque $f^{-1}: f(U) \rightarrow U$.

L'idée d'isomorphisme suggère que, si f en est un, U et f d'une part et V et f^{-1} d'autre part doivent avoir des propriétés analogues, et en particulier que V doit être ouvert. Effectivement, alors, f^{-1} étant analytique est continue, et $V = (f^{-1})^{-1}(U)$ est ouvert. C'est-à-dire que $f(U)$ doit être voisinage de chacun de ses points, soit:

$$(\forall z_0 \in f(U)) (\forall z \in \mathbb{C}) (\exists R \in \mathbb{R}^*) (|z - z_0| < R \Rightarrow (\exists z \in U) (f(z) = z))$$

Autrement dit: pour z voisin de z_0 , l'équation $f(z) = z$ a au moins une solution dans U .

L'injectivité de f s'exprime en disant que cette solution est unique.

Ainsi, on se propose:

b) d'étudier d'abord l'équation $f(z) = z$ (ce qui correspond bien à l'idée d'inversion). On obtiendra un lemme, qui permettra:

- c) de démontrer le "théorème de l'application ouverte",
d) de démontrer que si f est analytique et injective, $(\forall z \in U) (f'(z) \neq 0)$ (autrement dit: f est conforme).

e) On transposera alors le théorème de l'inverse local, connu pour les fonctions $F: \mathbb{R}^n \rightarrow \mathbb{R}^n$, aux fonctions holomorphes $f: \mathbb{C} \rightarrow \mathbb{C}$.

f) On pourra alors énoncer le théorème d'inversion globale.

g) On en déduira qu'il n'existe pas d'isomorphisme analytique $f: \mathbb{C} \rightarrow \mathbb{D}$.

h) On terminera par quelques remarques.

(TB)

2

b) Etude de l'équation $f(z) = z$.

(1) Soit $f: U \rightarrow \mathbb{C}$, analytique, et non constante.
(sans autre hypothèse ici).

Soyons $z_0 \in f(U)$, et $z_0 \in U$ un antécédent de $z_0 = f(z_0) = z_0$.

- f étant analytique est développable en série entière dans un voisinage de z_0 .
- U étant ouvert, il existe un tel voisinage inclus dans U , par exemple un disque ouvert $D(z_0, r_0) \subset U$, où:

$$f(z) = f(z_0) + \sum_{n=1}^{\infty} a_n(z - z_0)^n$$

- f n'étant pas constante, la série écrite n'est pas identiquement nulle, et les coefficients a_n ne sont pas tous nuls.

Soit p le plus petit entier tel que $a_p \neq 0$.

$$(2) \quad p \in \mathbb{N}^*, \quad n \in \mathbb{N}^* \text{ et } n < p \Rightarrow a_n = 0, \quad a_p \neq 0.$$

On peut alors exprimer f en définissant ainsi une fonction $g =$

$$(3) \quad f(z) = f(z_0) + (z - z_0)^p \underbrace{\left[a_p + \sum_{k=1}^{\infty} a_{p+k}(z - z_0)^k \right]}_{g(z)}$$

$$f(z) = f(z_0) + (z - z_0)^p g(z)$$

On a: $g(z_0) = a_p$, et $a_p \neq 0$ donc $g(z_0) \neq 0$.

Et g est analytique et développable en série entière dans $D(z_0, r_0)$, où elle est donc continue: $(\forall \varepsilon \in \mathbb{R}_+^*) (\exists r_\varepsilon \in]0, r_0]) (|z - z_0| < r_\varepsilon \Rightarrow |g(z) - g(z_0)| < \varepsilon)$
 en particulier: $(\exists r, \varepsilon \in]0, r_0]) (|z - z_0| < r \Rightarrow |g(z) - g(z_0)| < \frac{1}{2}|g(z_0)|)$
 et cette dernière condition entraîne $|g(z)| \geq \frac{1}{2}|g(z_0)|$. Donc:
Il existe un disque ouvert $D(z_0, r_1) \subset D(z_0, r_0)$ où $|g(z)| > \frac{1}{2}|g(z_0)| > 0$.

L'équation $f(z) = z$ s'écrit alors:

$$z_0 + (z - z_0)^p g(z) = z,$$

$$(z - z_0)^p g(z) + z_0 - z = 0, \text{ et avec } z \in D(z_0, r_1):$$

$$(z - z_0)^p + \frac{z_0 - z}{g(z)} = 0$$

Possos: $\overbrace{\varphi(z)}^{\varphi(z)} \quad \overbrace{\psi(z)}^{\psi(z)}$

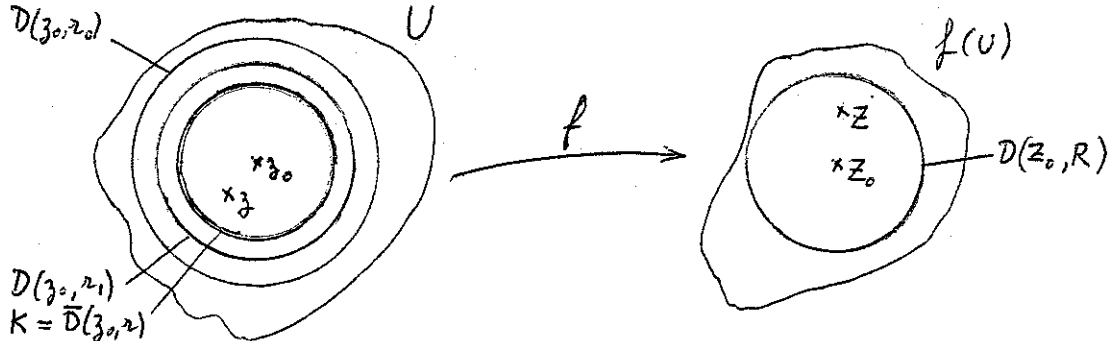
3

L'équation $(z - z_0)^p = 0$ ayant une solution $z = z_0$, unique et de multiplicité p , on est amené à rechercher les conditions d'application du théorème de Rouché:

- φ et ψ sont analytiques dans le domaine $D(z_0, r_1)$ où $g(z) \neq 0$;
- Soit $r \in]0, r_1[$ et soit K le compact à bord $K = \bar{D}(z_0, r) \subset D(z_0, r_1)$.
- La condition $|\psi(z)| < |\varphi(z)|$ sur ∂K où $|z - z_0| = r$
sera vérifiée si $\left| \frac{z - z_0}{g(z)} \right| < r^p$
 $|z - z_0| < r^p |g(z)|$, et en particulier, puisque
dans $D(z_0, r_1)$ on a $|g(z)| > \frac{1}{2} |g(z_0)|$, si:
 $|z - z_0| < r^p \frac{|g(z_0)|}{2}$, c'est-à-dire si
 $|z - z_0| < R$, avec $R = r^p \frac{|g(z_0)|}{2}$

Alors, le théorème de Rouché s'appliquera : $(\varphi + \psi)$ aura même nombre total de zéros que φ , c'est-à-dire que l'équation $f(z) = Z$ aura p solutions (comptées avec leur ordre de multiplicité), dans K .

(depuis $p \geq 1$
au moins 1)



On peut alors énoncer :

Lemme :

f , φ , et ψ vérifiant les conditions (1), (2), (3) ci-dessus :

pour tout Z_0 de $f(U)$, image de z_0 de U , il existe $r_1 \in \mathbb{R}_+^*$, tel que

pour tous $r \in]0, r_1[$, $R = r^p |g(z_0)|$, $Z \in \mathbb{C}$ et $|Z - Z_0| < R$,

l'équation $f(z) = Z$ a p solutions (comptées avec leurs multiplicités)
dans $K = \bar{D}(z_0, r)$

où

4

c) 1^e application du lemme : théorème de l'application ouverte =

Puisque $p \geq 1$, pour $Z \in D(z_0, R)$ l'équation $f(z) = Z$ a au moins une solution dans U , c'est-à-dire que l'ouvert $D(z_0, R)$ est inclus dans $f(U)$:
Toute fonction analytique sur un ouvert U de \mathbb{C} , non constante, est ouverte.

où

d) 2^e application du lemme : étude de $f'(z)$.

On sait qu'une fonction analytique est indéfiniment dérivable, et que dans le développement de f : $a_n = \frac{f^{(n)}(z_0)}{n!}$, en particulier: $a_1 = f'(z_0)$

Supposons qu'en un point z_0 de U on ait $f'(z_0) = 0$.

Alors $a_1 = 0$, donc $p > 1$.

Or, les dérivées successives de f sont analytiques, en particulier f' .

De plus, f' n'est pas identiquement nulle, sinon f serait constante.

Et les zéros d'une fonction analytique (non identiquement nulle) sont isolés.

Donc $(\exists r_2 \in \mathbb{R}^*) (0 < |z - z_0| < r_2 \Rightarrow f'(z) \neq 0)$.

Appliquons le lemme en prenant $r < \inf(r_1, r_2)$:

l'équation $f(z) = Z$ a p solutions dans $\overline{D}(z_0, r)$ (avalanche multiplicité).

Supposons maintenant f injective, et prenons $Z \in D(z_0, R)$, $Z \neq z_0$.

Alors $f(z) = Z$ a une solution unique z_1 dans $\overline{D}(z_0, r)$, et $z_1 \neq z_0$.

Son ordre de multiplicité est donc p .

Et puisque $z_1 \in D(z_0, r) \subset D(z_0, r_2)$ et $z_1 \neq z_0$, $f'(z_1) \neq 0$,

c'est-à-dire que z_1 est un zéro simple, soit: $p = 1$.

où

Ceci montre que l'hypothèse $f'(z_0) = 0$ (pour laquelle $p > 1$),

est à rejeter. Donc $f'(z_0) \neq 0$, et puisque z_0 est quelconque dans U :

Théorème = Si f est une fonction analytique dans un ouvert

U de \mathbb{C} , et si f est injective, on a $f'(z) \neq 0$ pour tout z de U .

e) I-1^e) Suite - Dérivabilité de f^{-1} . On peut associer les fonctions:

$$f: \begin{matrix} \mathbb{C} \\ U \\ \cup \\ V \end{matrix} \xrightarrow{\quad z \mapsto f(z) \quad} \begin{matrix} \mathbb{C} \\ U \\ \cup \\ P(x,y) + iQ(x,y) \end{matrix} \quad \text{et} \quad F: \begin{matrix} \mathbb{R}^2 \\ U \\ \cup \\ V \end{matrix} \xrightarrow{\quad (x,y) \mapsto (P(x,y), Q(x,y)) \quad} \begin{matrix} \mathbb{R}^2 \\ U \\ \cup \\ (P(x,y), Q(x,y)) \end{matrix}$$

et on connaît alors les conditions de Cauchy:

f dérivable en $z \Leftrightarrow F$ dérivable en (x,y) et $P'_x = Q'_y$, $P'_y = -Q'_x$
autrement dit la matrice jacobienne de F est:

$$J_F = \left(\frac{\partial F_i}{\partial x_j} \right) = \begin{pmatrix} P'_x & P'_y \\ Q'_x & Q'_y \end{pmatrix} = \begin{pmatrix} P'_x & -Q'_x \\ Q'_x & P'_x \end{pmatrix} \text{ donc de forme } \begin{pmatrix} a & -b \\ b & a \end{pmatrix}$$

Si f est dérivable en z , $f'(z) = P'_x + iQ'_x = Q'_y - iP'_y$, et
le jacobien de F est $|J_F| = |P'_x|^2 + |Q'_x|^2 = |f'(z)|^2$.

Dans $f'(z) \neq 0$, $|J_F| \neq 0$ et J_F est inversible, et
si f est une fonction analytique (donc dérivable) dans un voisinage U de z_0 ,

et $f'(z_0) \neq 0$, on peut appliquer à F , au voisinage de (x_0, y_0) ,

le théorème de l'inverse local pour les fonctions $\mathbb{R}^n \rightarrow \mathbb{R}^n$:

il existe des voisinages U de (x_0, y_0) et V de $(P(x_0, y_0), Q(x_0, y_0))$

tels que F restreinte à U soit un C^1 difféomorphisme $U \rightarrow V$,

et $F^{-1}'(F(x_0, y_0)) = (F'(x_0, y_0))^{-1}$. Alors:

$$J_{F^{-1}} = J_F^{-1} = \frac{1}{|J_F|} \begin{pmatrix} C_{11} & C_{12} \\ C_{21} & C_{22} \end{pmatrix} \text{ avec } C_{11} = P'_x, C_{12} = -Q'_x, C_{21} = Q'_x, C_{22} = P'_x$$

$$J_{F^{-1}} = \frac{1}{|J_F|} \begin{pmatrix} P'_x & -Q'_x \\ Q'_x & P'_x \end{pmatrix} = \frac{1}{|J_F|} \begin{pmatrix} P'_x & Q'_x \\ -Q'_x & P'_x \end{pmatrix}, \text{ de forme } \begin{pmatrix} a & -b \\ b & a \end{pmatrix}$$

Alors f^{-1} , associée à F^{-1} , vérifie bien les conditions de Cauchy,
 f^{-1} est dérivable au voisinage de $f(z)$ (donc holomorphe, et analytique).

$$\text{De plus: } f^{-1}'(f(z)) = \frac{1}{|J_F|} (P'_x + i(-Q'_x)) = \frac{1}{|P'_x|^2 + |Q'_x|^2} (P'_x - iQ'_x)$$

$$\text{et } \frac{1}{f'(z)} = \frac{1}{P'_x + iQ'_x} = \frac{P'_x - iQ'_x}{(P'_x + iQ'_x)(P'_x - iQ'_x)} = \frac{P'_x - iQ'_x}{|P'_x|^2 + |Q'_x|^2}$$

$$\text{donc } f^{-1}'(f(z)) = \frac{1}{f'(z)} \quad (\text{donc } f^{-1}'(f(z)) \neq 0) -$$

6

On a ainsi démontré que le théorème de l'inverse local s'applique aux fonctions analytiques, et en regroupant les résultats des a), c), d), e) on peut énoncer :

Or

f) Théorème d'inversion globale -

Si f est une fonction analytique sur un ouvert U de \mathbb{C} , et si f est injective, alors f est un isomorphisme analytique de U sur V ($V = f(U)$), et pour tout z de U , $f'(z) \neq 0$.

Or

De plus :
 - $f(U)$ est ouvert ;
 - pour tout z_0 de $f(U)$, $f^{-1}'(z_0) \neq 0$: f et f^{-1} sont conformes ;
 - $f^{-1}'(f(z_0)) = \frac{1}{f'(z_0)}$.

g) Corollaire -

Supposons qu'il existe un isomorphisme analytique $f : \mathbb{C} \rightarrow D$, $D = D(0, r)$.

- Alors f , holomorphe dans \mathbb{C} , l'est dans tout disque $D(0, R)$, avec $R \in]0, +\infty[$, et on a les égalités de Cauchy :

$$|a_n|r^n \leq M(r) , \text{ pour tout } r \in]0, R[, \text{ et } M(r) = \sup_{|z|=r} |f(z)| .$$

Or

En particulier $|a_1| \leq \frac{M(r)}{r}$. (Pour les a_n du développement $f(z) = \sum_{n=0}^{\infty} a_n z^n$)

On a $f(\mathbb{C}) = D$ donc $M(r) = 1$, et r peut être choisi aussi grand que l'on veut : $(\forall \varepsilon \in \mathbb{R}_+^*) (\exists r \in \mathbb{R}_+^*) (\frac{M(r)}{r} < \varepsilon)$.

$$\text{Donc } (\forall \varepsilon \in \mathbb{R}_+^*) (|a_1| < \varepsilon) = |a_1| = 0 , \quad a_1 = 0 .$$

- Or $a_1 = f'(0)$, et d'après le théorème d'inversion globale : $(\forall z \in \mathbb{C}) (f'(z) \neq 0)$, en particulier $f'(0) \neq 0$, donc $a_1 \neq 0$.

Il y a donc contradiction, et l'hypothèse initiale ne peut être vérifiée.

Or

Il n'existe pas d'isomorphisme analytique $f : \mathbb{C} \rightarrow D$.

h) Remarques

Remarque 1 - La réciproque de la propriété d) est fausse:

On peut avoir partout $f'(z) \neq 0$, alors que f n'est pas injective (donc pas un isomorphisme analytique).

Exemple = $f(z) = e^z$, $f'(z) = e^z \neq 0$, et $f(i\theta) = f(i(\theta + 2\pi))$.

Remarque 2 - Le théorème d'inversion globale, valable pour les fonctions holomorphes dans \mathbb{C} , ne l'est pas pour les fonctions dérivables dans \mathbb{R} .

Contrexemple = $f(x) = x^3$: f est injective, et $f'(0) = 0$.

Remarque 3 - L'hypothèse U connexe n'est jamais apparue dans la démonstration du théorème d'inversion globale.

- On sait que l'image contenue d'un connexe est connexe.

Donc si U_1 est une composante connexe de U , $f(U_1)$ est connexe, lorsque f est continue, en particulier isomorphisme analytique.

- Réciproquement, alors, f^{-1} étant aussi continue, si U_1 et U_2 sont des parties de U telles que $f(U_1 \cup U_2)$ est connexe, $U_1 \cup U_2$ est connexe: U_1 et U_2 ne peuvent être des composantes connexes distinctes. Donc

Si f est un isomorphisme analytique $U \rightarrow V$, U et V ont autant de composantes connexes, associées une à une

Remarque 4 - A propos de la démonstration du corollaire:

Si la formulation de la question n'avait pas été "En déduire ...", on aurait pu montrer qu'un isomorphisme $f: \mathbb{C} \rightarrow D$ serait une fonction entière = le développement $f(z) = \sum_{n=0}^{\infty} a_n z^n$ est relâché dans le plus grand disque ouvert $D(0, R)$ contenu dans \mathbb{C} , c'est-à-dire dans \mathbb{C} .

- appliquer le théorème de Liouville = toute fonction

entier, bornée, est constante -

- et conclure puisque $f(\mathbb{C}) = D$, donc f non constante -

Mais justement, le théorème de Liouville se démontre à partir des inégalités de Cauchy, selon le même schéma que la démonstration g) -

Remarque 5- Cette démonstration g) reste valable si $M(r)$ est un réel positif quelconque, et non pas 1 (on peut toujours faire tendre $\frac{M(r)}{r}$ vers 0). On peut donc énoncer le corollaire sous une forme plus générale :

Il n'existe pas d'isomorphisme analytique $f: \mathbb{C} \rightarrow B$,

B étant une partie bornée quelconque de \mathbb{C} .

I-2e) AUTOMORPHISMES ANALYTIQUES.

a) AUTOMORPHISMES DE D

- Les rotations de centre 0: $z \mapsto e^{i\theta} z$ sont à l'évidence des automorphismes de D pour lesquels 0 est invariant. Rapprochement:

Soit f un automorphisme analytique de D tel que $f(0)=0$.

Puisque $f(D)=D$, on a aussi: $(\forall z \in D)(|f(z)| < 1)$.

On a également: $f^{-1}(0)=0$ et $(\forall z \in D)(|f^{-1}(z)| < 1)$.

On peut donc appliquer le lemme de Schwarz à f et à f^{-1} :

$(\forall z \in D): |f(z)| \leq |z|$ et $|f^{-1}(f(z))| \leq |f(z)|$, soit $|z| \leq |f(z)|$
donc $|f(z)| = |z|$, et la deuxième partie du lemme de Schwarz
permet d'affirmer qu'il existe un complexe constant λ de module 1
tel que $f(z) = \lambda z$, soit avec $\lambda = e^{i\theta}$ ($\theta \in \mathbb{R}$):

$$\underline{f(z) = e^{i\theta} z}. \text{ Ainsi:}$$

Les automorphismes analytiques de D tels que $f(0)=0$

sont les rotations: $z \mapsto e^{i\theta} z$.

QED

- Montrez maintenant que la fonction $\varphi_a(z) = \frac{z-a}{1-\bar{a}z}$ (étudiée dans un problème sur les fonctions unitaires) est un automorphisme analytique de D. (Plus précisément: sa restriction à D; φ_a peut être plus largement définie).

- son dénominateur ne s'annule pas dans \overline{D} , puisque

$$|a| < 1, \text{ donc } |\bar{a}| < 1, \text{ et } |z| \leq 1.$$

- elle est donc analytique sur D et continue sur \overline{D} , puisqu'obtenue par opérations et composition de fonctions qui le sont.

On peut alors lui appliquer le théorème du module maximum:

si φ_a n'est pas constante sur \overline{D} , elle n'admet pas de maximum dans D, mais en atteint un sur ∂D , c'est-à-dire pour $|z|=1$.

Pour $|z|=1$, $|\bar{z}|=1$ et $\bar{z}\bar{z}=|z|^2=1$, alors:

$$|f(z)| = \frac{|z-a|}{|1-\bar{a}z|} = \frac{|z-a|}{|\bar{z}| |1-\bar{a}z|} = \frac{|z-a|}{|\bar{z}-\bar{a}\bar{z}\bar{z}|} = \frac{|z-a|}{|\bar{z}-\bar{a}|} = \frac{|z-a|}{|z-a|} = 1$$

D'autre part $\varphi_a(a)=0$, donc φ_a n'est pas constante, donc:

sur pour $z \in D$, $|\varphi_a(z)| < 1 \Rightarrow \varphi_a(D) \subset D$.

Résolvons alors l'équation d'Inconnue z :

$$\begin{aligned} z &= \frac{z-a}{1-\bar{a}z} \\ z - \bar{a}z &= z - a \end{aligned}$$

$z(1+\bar{a}z) = z+a$, et pour $|z| \leq 1$:

$$z = \frac{z+a}{1+\bar{a}z} = \frac{z-(\bar{a})}{1-(\bar{a})z} = \varphi_{-\bar{a}}(z), \varphi_{-\bar{a}}$$
 étant de même type que φ_a .

Donc tout z de D a un antécédent unique par φ , $\varphi: D \rightarrow D$ est bijection (de réciproque $\varphi_a^{-1} = \varphi_{-a}$).

Sa réciproque étant de même type est également analytique sur D .

φ_a est donc bien un automorphisme analytique de D .

- Par composition d'automorphismes analytiques de D , toute fonction

de type $f(z) = e^{i\theta} \frac{z-a}{1-\bar{a}z}$ en est un (par $\theta \in \mathbb{R}, |a| < 1$) -
($f(z) = e^{i\theta} z$ si $a=0$).

- Réciproquement, soit f un automorphisme de D tel que $f(0)=a$.

Nécessairement, $|a| < 1$. Le cas $a=0$ a été traité, et si $a \neq 0$,

φ_a (définie ci-dessus) est un automorphisme de D , donc aussi $\varphi_a \circ f$,

et $\varphi_a \circ f(0) = \varphi_a(a) = 0$. On est ramené au premier cas :

$(\exists \theta \in \mathbb{R})(\varphi_a \circ f(z) = e^{i\theta} z)$, $\varphi_a^{-1} \circ \varphi_a \circ f(z) = e^{i\theta} z$, d'où :

$$f(z) = \varphi_a^{-1}(e^{i\theta} z) = \varphi_{-a}(e^{i\theta} z) = \frac{e^{i\theta} z + a}{1 + \bar{a}e^{i\theta} z} = e^{i\theta} \frac{z - (\bar{a}e^{-i\theta})}{1 - (-\bar{a}e^{-i\theta})z}$$

$$f(z) = e^{i\theta} \frac{z - \alpha}{1 - \bar{\alpha}z}, \text{ avec } \alpha = -\bar{a}e^{-i\theta} \text{ d'où } |\alpha| < 1. \text{ Ainsi :}$$

Les automorphismes analytiques de D sont exactement les

fonctions de forme $f(z) = e^{i\theta} \frac{z - \alpha}{1 - \bar{\alpha}z}$ ($\theta \in \mathbb{R}, |\alpha| < 1$)

2c) b). AUTOMORPHISMES DE P .

a) Méthode de recherche -

Soit f un automorphisme analytique de P (il existe au moins un = l'identité).
Supposons que l'on connaisse un isomorphisme analytique :

$g: P \rightarrow D$. Par composition d'isomorphismes on aura :

$$\begin{array}{ccc}
 & \xrightarrow{f} & \\
 P & \xrightarrow{g} & P \\
 \downarrow & & \downarrow g^{-1} \\
 D & \xrightarrow{\varphi = g \circ f \circ g^{-1}} & D
 \end{array}
 \quad \begin{aligned}
 \varphi &= g \circ f \circ g^{-1} \text{ est un automorphisme de } D \\
 g \circ \varphi &= f \circ g^{-1} \\
 f &= g^{-1} \circ \varphi \circ g
 \end{aligned}$$

avec, d'après 2)c)a) : $\varphi(z) = e^{i\theta} \frac{z-a}{1-\bar{a}z}$.

Reiproquement, pour une telle fonction φ , $f = g^{-1} \circ \varphi \circ g$ sera un automorphisme de P . Ainsi =

Tous les automorphismes de P se déduisent ainsi de ceux de D .

de
Pour trouver un isomorphisme $g: P \rightarrow D$, remarquons que l'on aura $|g(z)| < 1$ pour tout $z \in P$ si g est une fraction dont le numérateur reste, en module, inférieur au dénominateur lorsque $z \in P$, par exemple :

$$g(z) = \frac{z-i}{z+i}.$$

C'est une fonction homographique, et g également. En effet :

$$\varphi(z) = e^{i\theta} \frac{z-a}{-\bar{a}z+1} = \frac{e^{i\theta}}{-\bar{a}} \frac{z-a}{z+\frac{1}{\bar{a}}}.$$

Régroupons ce qui nous sera utile à leur sujet.

b) Observations sur les fonctions homographiques : $f(z) = \frac{az+b}{cz+d}$.

$f(z)$ est définie pour $cz+d \neq 0$, soit sur $\mathbb{C} - \{-\frac{d}{c}\}$ si $c \neq 0$.

(Dans le cas où $c=0$, $f(z) = \frac{az+b}{d} = \frac{a}{d}z + \frac{b}{d}$,

$f(z)$ est définie si $d \neq 0$ et prend alors la forme $f(z) = dz+b$, elle est alors définie sur \mathbb{C} .) f est alors analytique (par opérations et composition).

Il est commode d'associer à f la matrice $\begin{pmatrix} a & b \\ c & d \end{pmatrix}$ de ses coefficients. Mais ceux-ci sont définis à un multiplicateur

complexe commun près: la relation:

$$\begin{pmatrix} a & b \\ c & d \end{pmatrix} R \begin{pmatrix} a' & b' \\ c' & d' \end{pmatrix} \Leftrightarrow (\exists k \in \mathbb{C}^*) (a' = ka, b' = kb, c' = kc, d' = kd)$$

est évidemment d'équivalence, et f est associé à une classe d'équivalence $F = Cl \begin{pmatrix} a & b \\ c & d \end{pmatrix}$.

- $f'(z) = \frac{a(cz+d) - c(az+b)}{(cz+d)^2} = \frac{acz+ad - acz - bc}{(cz+d)^2} = \frac{ad - bc}{(cz+d)^2}$

donc lorsque f est définie (sur $\mathbb{C} - \{\frac{d}{c}\}$), elle est dérivable, puisque
donc holomorphe, et analytique, donc holomorphe de degré non nul (donc conforme) si et seulement si

$ad - bc \neq 0$, soit $|F| \neq 0$.

- Composons f et g telles que $F = \begin{pmatrix} a & b \\ c & d \end{pmatrix}$ et $G = \begin{pmatrix} p & q \\ r & s \end{pmatrix}$:

$$f \circ g(z) = \frac{a \frac{pz+q}{rz+s} + b}{c \frac{pz+q}{rz+s} + d} = \frac{apz + aq + brz + bs}{cpz + cq + drz + ds} = \frac{(ap + br)z + (aq + bs)}{(cp + dr)z + (cq + ds)}$$

donc $f \circ g$ est une fonction homographique (en retirant éventuellement un autre point du domaine de définition) et de matrice $F \cdot G$.

- Pour $Z = \frac{az+b}{cz+d}$ on a:

$$Z(cz+d) = \frac{az+b}{cz+d} (cz+d) = az + b, \quad z = \frac{-dZ+b}{cZ-a}$$

donc tout Z différent de $\frac{a}{c}$ a un antécédent unique.

$$\text{Or } \frac{a}{c} = \frac{az+b}{cz+d} \Leftrightarrow acz + ad = az + b \Leftrightarrow ad - bc = 0$$

Si $ad - bc \neq 0$, $f: \mathbb{C} - \{-\frac{d}{c}\} \rightarrow \mathbb{C} - \{\frac{a}{c}\}$ est donc bijective,

f^{-1} étant de matrice $\begin{pmatrix} -d & b \\ c & -a \end{pmatrix}$. C'est alors un isomorphisme analytique et f et f^{-1} sont conformes.

C3 PEGC, 90-91, Partiel n°2
Sujet n°5 (fonctions loxodromiques)

A l'aide des documents ci-joints, résoudre le problème n°1 proposé.
Appliquer cette résolution à la résolution du problème n°2 (généralisation
du précédent).

Documents joints :

Valiron Théorie des fonctions (Masson) pp. 477 à 481

Pour ce qui concerne les produits infinis, on utilisera le polycopié donné
en cours.

PROBLÈME 1

Devoir n° 6 . (F. Gromaire)

Soit $s \in \mathbb{C}$ vérifiant $|s| > 1$. Dans tout le problème, f désigne une fonction méromorphe dans $\mathbb{C}^* = \mathbb{C} \setminus \{0\}$ vérifiant $f(sz) = f(z)$ pour tout $z \in \mathbb{C}^*$. Une telle fonction est dite fonction loxodromique. On note $C(R) = \{z \in \mathbb{C}; R < |z| \leq 1/R\}$ pour $R > 0$.

- ① Remarquer que f est définie par sa restriction à $C(R)$. Montrer que si f est holomorphe sur \mathbb{C}^* , elle est constante. La fonction $f'(z)$ est-elle loxodromique ?
- ② Si f n'a ni zéro ni pôle de module R et si f n'est pas constante, calculer la somme des résidus de f aux pôles situés dans $C(R)$. Montrer que f a au moins deux pôles et deux zéros dans $C(R)$ (compte tenu de leur multiplicité). Comparer le nombre des zéros et celui des pôles de f situés dans $C(R)$.
- ③ Soit $S(z) = \prod_{n \geq 0} \left(1 - \frac{z}{a_n}\right) \prod_{n \geq 1} \left(1 - \frac{1}{z b_n}\right)$. Sur quelle partie de \mathbb{C} la fonction S est-elle holomorphe ? Calculer $S(sz)$ et $S(\frac{1}{z})$ en fonction de $S(z)$.
- ④ Soit f une fonction loxodromique n'ayant ni zéro ni pôle de module 1. Soit a_1, \dots, a_m ses zéros et b_1, \dots, b_n ses pôles situés dans $\mathbb{C}(1)$, chacun figurant un nombre de fois égal à sa multiplicité. Que peut-on dire de m et n ?
Soit $M(z) = \frac{S(z/a_1) \cdots S(z/a_m)}{S(z/b_1) \cdots S(z/b_n)}$. Est-ce une fonction loxodromique ?
- ⑤ Soit $G(z) = f(z)/M(z)$, et soit $\sum_{k \in \mathbb{Z}} c_k z^k$ son développement de Laurent à l'origine. Dans quelle partie de \mathbb{C} est-il égal à $G(z)$? Calculer $G(sz)$ en fonction de $G(z)$. En déduire qu'il existe $p \in \mathbb{Z}$ tel que $\frac{b_1 \cdots b_n}{a_1 \cdots a_m} = s^p$ et $f(z) = c_p z^{-p} M(z)$.
- ⑥ a) Soit $\sum_{n \in \mathbb{Z}} d_n z^n$ le développement de Laurent de S à l'origine. Calculer d_n en fonction de a_0 .
b) On suppose $s > 0$ et $x > 0$. Montrer que, pour $x \rightarrow +\infty$
 $S(-x) \sim d_0 \left(1 + \sum_{n \geq 1} s^{-\frac{n(n-1)}{2}} x^n\right)$ et $S(-x) \sim P(x) = \prod_{n \geq 0} \left(1 + \frac{x}{a_n}\right)$.
Développer $P(x)$ en série entière à l'origine, puis en appliquant le résultat du I du Problème n° 1 (pour $x \rightarrow +\infty$ au lieu de $x \rightarrow 1$) trouver d_0 .
c) Montrer que, pour $|s| > 1$, d_0 est une fonction holomorphe de s . En déduire la valeur de d_0 dans le cas général.

Soit $\omega \in \mathbb{C}$, vérifiant $|\omega| > 1$

Soit f méromorphe dans \mathbb{C}^* vérifiant $f(\omega z) = f(z)$ pour tout $z \in \mathbb{C}^*$

On note $C(R) = \{z \in \mathbb{C}, R < |z| \leq |\omega| R\}$ pour $R > 0$

b) i) Remarquer que f est définie par sa restriction à $C(R)$

• par hypothèse $f(\omega z) = f(z)$ pour tout $z \in \mathbb{C}^*$

de façon générale, $f(\omega^p z) = f(z)$ pour tout $z \in \mathbb{C}^*$
pour tout $p \in \mathbb{Z}$

En effet, supposons la propriété vraie pour $n \in \mathbb{N}^*$, soit $f(\omega^n z) = f(z)$
alors $f(\omega^{n+1} z) = f(\omega \cdot \omega^n z) = f(\omega^n z) = f(z)$

Si la propriété est vraie pour n , elle est donc vraie pour $n+1$;
comme elle est vraie pour $n=1$, elle est vraie pour $\forall n \in \mathbb{N}^*$.

D'autre part $f\left(\frac{z}{\omega}\right) = f(z)$

En effet $f\left(\frac{z}{\omega}\right) = f\left(\omega^{-1} \cdot \frac{z}{\omega}\right) = f(z)$

Orsi. Donc de même, on montrerait que $f\left(\frac{z}{\omega^n}\right) = f(z)$.

• Soit $R > 0$ fixé

$\forall z \in \mathbb{C}^*, \exists p \in \mathbb{Z}$ t.q. $|\omega|^p R < |z| \leq |\omega|^{p+1} R$

En effet,

$$p = E\left(\frac{\log|z| - \log R}{\log|\omega|} - 1\right) \lim_{p \rightarrow +\infty} |\omega|^{p+1} R = +\infty \quad \begin{array}{l} \text{car } R \text{ fixé, } R > 0 \\ \text{et } |\omega| > 1 \end{array}$$

(minou d'où et $\lim_{p \rightarrow +\infty} |\omega|^p R = 0$)

soit \mathbb{P} ?

Soit alors $C(R|\omega|^k)$ la couronne à laquelle appartient un certain z de \mathbb{C}^* .

$$|\omega|^k R < |z| \leq |\omega|^{k+1} R$$

Orsi. $R < \left|\frac{z}{\omega^k}\right| \leq |\omega| R$ donc $\frac{z}{\omega^k} \in C(R)$

$$\text{or } f(z) = f\left(\frac{z}{e^k}\right)$$

On en déduit que $\forall z \in \mathbb{C}^*, \exists k \in \mathbb{Z}$ et $z_1 \in C(\mathbb{R})$ t.q.
 $z = z_1 e^{-k}$ et $f(z) = f(z_1)$

Conclusion: $\Im f = \Im f|_{C(\mathbb{R})}$
 f est définie par sa restriction à $C(\mathbb{R})$

ii) Montrer que si f est holomorphe sur \mathbb{C}^* , elle est constante
si f est holomorphe sur \mathbb{C}^* , f est continue sur \mathbb{C}^* (car dérivable)

$$\text{Soit } C_1(R) = \{z \in \mathbb{C}^*, R \leq |z| \leq \mu |z|\}$$

$C_1(R)$ est un compact

f est continue sur un compact donc bornée

$$\text{or } C(R) \subset C_1(R)$$

$$\text{donc } \forall z \in C(R), \exists A \text{ t.q. } |f(z)| \leq A$$

mais comme $\Im f = \Im f|_{C(\mathbb{R})}$

$$\forall z \in \mathbb{C}^*, \exists A \text{ t.q. } |f(z)| \leq A$$

alors f est bornée au voisinage de 0 donc 0 est une fausse singularité et on peut prolonger f par continuité en 0.

On en déduit que f est holomorphe sur \mathbb{C} , bornée partout sur \mathbb{C} ,
qui donc d'après le thm de Liouville, f est constante.

Conclusion: si f holomorphe sur \mathbb{C}^* , f est constante

iii) La fonction $f'(z)$ est-elle laxedriomique ?

Soit f une fonction laxedriomique c'est à dire t.q.

$$\forall z \in \mathbb{C}^*, f(\alpha z) = f(z)$$

en dérivant chaque membre on obtient

$$\forall z \in \mathbb{C}^*, \alpha f'(\alpha z) = f'(z)$$

$$\text{soit } \forall z \in \mathbb{C}^*, f'(\alpha z) = \frac{1}{\alpha} f'(z)$$

comme $|s| > 1$, $s \neq 1$ ainsi que $\frac{1}{s}$ donc $f'(sz) \neq f'(z)$

iii

Conclusion: f' n'est pas loxodromique (sauf si f est constante)

2) i) Si f n'a ni zéro, ni pôle de module R et si f n'est pas constante, calculer la somme des résidus de f aux pôles intérieurs dans $C(R)$.

- Si a est un zéro de f alors " sa " et " $\frac{a}{s}$ " sont aussi des zéros de f

$$\text{En effet: } f(sa) = f(a) = 0$$

$$f\left(\frac{a}{s}\right) = f\left(s \cdot \frac{a}{s}\right) = f(a) = 0$$

iii Donc si f n'a pas de zéro de module R , f n'a pas non plus de zéro de module $|s|R$.

• Si f n'est pas constante, f n'est pas holomorphe sur \mathbb{C}^* donc f possède au moins un pôle non nul. Soit b ce pôle.

Si b est un pôle de f alors sb et $\frac{b}{s}$ sont aussi des pôles de f .

En effet, si b est un pôle de f , $f(z) = \frac{g(z)}{z-b}$

$$\text{alors } f(sz) = \frac{g(sz)}{sz-b} \quad \text{mais } f(sz) = f(z)$$

$$\text{donc } f(z) = \frac{g(z)}{sz-b} = \frac{g(z)}{sz-b} \quad \text{donc } \frac{b}{s} \text{ est aussi un pôle de } f$$

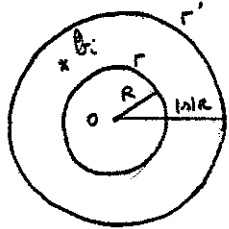
$$\text{de même, } f\left(\frac{z}{s}\right) = \frac{g\left(\frac{z}{s}\right)}{\frac{z}{s}-b} = \frac{s g\left(\frac{z}{s}\right)}{z-sb} = \frac{g(z)}{z-sb} \quad \text{donc } sb \text{ est}$$

aussi un pôle de f .

iii Donc si f n'a pas de pôle de module R , f n'a pas non plus de pôle de module $|s|R$.

• Soit $K = C_1(R) = \{z / R \leq |z| \leq |s|R\}$

Soit b_i les pôles de f situés dans $C(R)$



$$\text{Soit } \Gamma = \mathcal{E}(0; R) \\ \Gamma' = \mathcal{E}(0; |b_i| R)$$

D'après le thm des résidus

$$\sum \text{Res}(f; b_i) = \frac{1}{2\pi i} \int_{\partial K} f(z) dz \\ = \frac{1}{2\pi i} \int_{\Gamma'} f(z') dz' - \frac{1}{2\pi i} \int_{\Gamma} f(z) dz$$

$$\text{on pose } z' = sz \quad \text{qd } z' \text{ décrit } \Gamma', z \text{ décrit } \Gamma \\ dz' = s dz$$

donc

$$\sum \text{Res}(f; b_i) = \frac{1}{2\pi i} \int_{\Gamma} f(sz) \cdot s dz - \frac{1}{2\pi i} \int_{\Gamma} f(z) dz \\ = \frac{1}{2\pi i} s \int_{\Gamma} f(z) dz - \frac{1}{2\pi i} \int_{\Gamma} f(z) dz \\ = \frac{1}{2\pi i} (s-1) \int_{\Gamma} f(z) dz$$

Or

$\text{Conclusion : } \sum \text{Res}(f; b_i) = \frac{s-1}{2\pi i} \int_{\mathcal{E}(0; R)} f(z) dz$

ii) Montrer que f a au moins 2 pôles et 2 zéros dans $C(R)$, compte tenu de leur multiplicité.

On a vu que f possède au moins un pôle b non nul et qu'alors b et $\frac{b}{s}$ étaient aussi des pôles de f . On peut généraliser cette propriété (en recommençant le raisonnement à partir de b ou de $\frac{b}{s}$) et en déduire que si b est un pôle de f , $b s^p$ est un pôle de f , quel que soit $p \in \mathbb{Z}$.

On en déduit que f possède au moins un pôle dans $C(R)$.

DELRIEU Jean-Louis
VERGNAUD Nadine

Feuillet n° 2

- Considérons la fonction g telle que $g(z) = \frac{f(z)}{z}$. Cette fonction possède les mêmes pôles et les mêmes zéros que f sur C^* .

Soit b_i les pôles de g situés dans $C(r)$

$$\sum \text{Res}(g; b_i) = 0$$

En effet, par un raisonnement analogue au précédent, on peut écrire :

$$\sum \text{Res}(g; b_i) = \frac{1}{2i\pi} \int_{C(r)} g(z') dz' - \frac{1}{2i\pi} \int_{C(r)} g(z) dz$$

$$= \frac{1}{2i\pi} \int_{C(r)} \frac{f(z')}{z'} dz' - \frac{1}{2i\pi} \int_{C(r)} \frac{f(z)}{z} dz$$

en faisant le même changement de variable, on obtient :

$$\sum \text{Res}(g; b_i) = \frac{1}{2i\pi} \int_{C(r)} \frac{f(z)}{z} dz - \frac{1}{2i\pi} \int_{C(r)} \frac{f(z)}{z} dz$$

$$= \frac{1}{2i\pi} \int_{C(r)} \frac{f(z)}{z} dz - \frac{1}{2i\pi} \int_{C(r)} \frac{f(z)}{z} dz$$

$$= 0$$

Supposons que g possède un seul pôle simple b dans $C(r)$

alors il existe g_1 telle que $g(z) = \frac{g_1(z)}{z-b}$ avec $g_1(b) \neq 0$
et par définition $\text{Res}(g, b) = g_1(b) \neq 0$

or $\sum \text{Res}(g; b_i) = 0$

donc si b était le seul pôle, et pôle simple, on devrait avoir
 $\text{Res}(g; b) = 0$ d'où contradiction.

On peut en déduire que g possède au moins 2 pôles ou un pôle d'ordre 2

Conclusion: g possède au moins 2 pôles dans $C(r)$ ou un pôle

qui d'ordre 2 et comme f possède les mêmes pôles, f également.

- D'autre part, si f est lexicodromique, $\frac{1}{f}$ l'est également
En effet, si f est méromorphe, $\frac{1}{f}$ est méromorphe
De plus $\frac{1}{f}(z) = \frac{1}{\bar{f}(\bar{z})} = \frac{1}{\bar{f}(z)} = \frac{1}{f(z)}$ pour tout z de C^*

Donc de même $\frac{1}{f}$ possède au moins 2 pôles dans $C(R)$. Comme d'après thm, les pôles de $\frac{1}{f}$ sont les zéros de f avec le même ordre, on en déduit que f possède au moins 2 zéros dans $C(R)$.

Où Conclusion: f possède au moins 2 pôles et 2 zéros dans $C(R)$, compte tenu de leur multiplicité.

- Comparer le nombre des zéros et celui des pôles de f situés dans $C(R)$.

Soit Z le nombre de zéros et P le nombre de pôles. Sachant qu'il n'y a ni zéro ni pôle sur le bord ∂K on a

$$\begin{aligned} Z - P &= \frac{1}{2i\pi} \int_{\partial K} \frac{f'(z)}{f(z)} dz \\ &= \frac{1}{2i\pi} \int_{r^{-S}}^{r^S} \frac{f'(z')}{f(z')} dz' - \frac{1}{2i\pi} \int_{r^S}^{-r^S} \frac{f'(z)}{f(z)} dz \end{aligned}$$

on pose à nouveau $z' = \alpha z$
 $dz' = \alpha dz$

$$\begin{aligned} \text{alors } Z - P &= \frac{1}{2i\pi} \int_{r^S}^{-r^S} \frac{\frac{f'(\alpha z)}{f(z)}}{\alpha} dz - \frac{1}{2i\pi} \int_{r^S}^{-r^S} \frac{f'(z)}{f(z)} dz \\ &= \frac{1}{2i\pi} \int_{r^S}^{-r^S} \frac{f'(\alpha z)}{\alpha f(z)} dz - \frac{1}{2i\pi} \int_{r^S}^{-r^S} \frac{f'(z)}{f(z)} dz \\ &= \frac{1}{2i\pi} \int_{r^S}^{-r^S} \frac{\alpha f'(\alpha z) - f'(z)}{\alpha f(z)} dz \end{aligned}$$

or $\alpha f'(\alpha z) = f'(z)$

donc $Z - P = 0 \Rightarrow Z = P$

où

Conclusion: dans $C(R)$, le nombre de pôles est égal au nombre de zéros

$$3) \text{ Soit } S(z) = \prod_{n \geq 0} \left(1 - \frac{z}{\lambda^n}\right) \prod_{n \geq 1} \left(1 - \frac{1}{z^{\lambda^n}}\right)$$

i) Sur quelle partie de C , la fonction S est-elle holomorphe?

• Étudions $p(z) = \prod_{n \geq 0} \left(1 - \frac{z}{\lambda^n}\right)$

Soit $u_n(z) = -\frac{z}{\lambda^n}$; (u_n) est une suite de fonctions holomorphes sur C

$$|u_n| = \left|-\frac{z}{\lambda^n}\right| = |z| \times \frac{1}{|\lambda|^n}$$

Sur tout compact de C , $\exists M$ tel que $|z| \leq M$

donc $|u_n| \leq M \times \frac{1}{|\lambda|^n}$

or la série $\sum_{n=0}^{\infty} \frac{1}{|\lambda|^n}$ est une série géométrique convergente car $\left|\frac{1}{\lambda}\right| < 1$ car $|\lambda| > 1$

On en déduit que la série $\sum u_n$ converge normalement sur tout compact de C .

Donc, d'après thm n°6 p86 du poly, le produit infini $p(z) = \prod_{n \geq 0} (1 + u_n(z))$ converge dans C et p est holomorphe dans C .

• Étudions $q(z) = \prod_{n \geq 1} \left(1 - \frac{1}{z^{\lambda^n}}\right)$

Soit $v_n(z) = -\frac{1}{z^{\lambda^n}}$; (v_n) est une suite de fonctions holomorphes sur C^*

$$|v_n| = \left|-\frac{1}{z^{\lambda^n}}\right| = \frac{1}{|z|} \times \frac{1}{|\lambda|^n}$$

Sur tout compact de C^* , $\exists m > 0$ tel que $m \leq |z|$

d'où $\frac{1}{|z|} \leq \frac{1}{m}$

$$\text{donc } |v_n| \leq \frac{1}{n} \times \frac{1}{|\lambda|^n}$$

Comme précédemment, on en déduit que la série $\sum v_n$ converge normalement sur tout compact de \mathbb{C}^*

donc d'après Thm n°6 p 86, le produit infini $g(z) = \prod_{n \geq 1} (1 + v_n(z))$
où converge dans \mathbb{C}^* et g est holomorphe sur \mathbb{C}^*

. S est donc le produit de 2 fonctions, l'une holomorphe sur \mathbb{C} , l'autre holomorphe sur \mathbb{C}^* donc S est holomorphe sur \mathbb{C}^*

Conclusion: S est holomorphe sur \mathbb{C}^*

ii) Calculer $S(\alpha z)$ en fonction de $S(z)$

$$S(z) = \prod_{n \geq 0} \left(1 - \frac{z}{\lambda^n}\right) \prod_{n \geq 1} \left(1 - \frac{1}{z \lambda^n}\right)$$

$$S(\alpha z) = \prod_{n \geq 0} \left(1 - \frac{\alpha z}{\lambda^n}\right) \prod_{n \geq 1} \left(1 - \frac{1}{\alpha z \lambda^n}\right)$$

$$= \prod_{n \geq 0} \left(1 - \frac{z}{\lambda^{n+1}}\right) \prod_{n \geq 1} \left(1 - \frac{1}{\lambda^{n+1}}\right)$$

$$= \left(1 - \frac{z}{\lambda^1}\right) \prod_{n \geq 0} \left(1 - \frac{z}{\lambda^{n+1}}\right) \times \prod_{n \geq 2} \left(1 - \frac{1}{\lambda^{n+1}}\right)$$

$$= (1 - \alpha z) \prod_{n \geq 0} \left(1 - \frac{z}{\lambda^{n+1}}\right) \times \frac{1}{1 - \frac{1}{\alpha z}} \prod_{n \geq 1} \left(1 - \frac{1}{\lambda^{n+1}}\right)$$

$$= \frac{1 - \alpha z}{1 - \frac{1}{\alpha z}} S(z)$$

$$= \alpha z \times \frac{1 - \alpha z}{\alpha z - 1} S(z)$$

$$= -\alpha z S(z)$$

Conclusion: $S(\alpha z) = -\alpha z S(z)$

DELRIEU Jean-Louis
VERGNAUD Nadine

Feuillet n° 3

iii) Calculer $S(1/z)$ en fonction de $S(z)$

$$\begin{aligned} S\left(\frac{1}{z}\right) &= \prod_{n>0} \left(1 - \frac{1}{z^{2n}}\right) \prod_{n>1} \left(1 - \frac{z^{-2n}}{z^{2n}}\right) \\ &= \left(1 - \frac{1}{z}\right) \prod_{n>1} \left(1 - \frac{1}{z^{2n}}\right) \times \prod_{n>0} \left(1 - \frac{z^{-2n}}{z^{2n}}\right) \times \frac{1}{1-z} \\ &= \frac{z-1}{z} \times \frac{1}{1-z} S(z) \\ &= -\frac{1}{z} S(z) \end{aligned}$$

orii

$\underline{\text{Conclusion: }} S\left(\frac{1}{z}\right) = -\frac{1}{z} S(z)$

4) Soit f une fonction lexodromique n'ayant ni zéro ni pôle de module 1. Soit a_1, \dots, a_m ses zéros et b_1, \dots, b_n ses pôles situés dans $C(1)$, chacun figurant un nombre de fois égal à sa multiplicité.

i) que peut on dire de m et n ?

Sachant qu'il n'y a pas de zéro ni de pôle sur le bord, on peut appliquer la propriété démontrée en ② à $R = 1$ et on en déduit que $m = n$

orii

$\underline{\text{Conclusion: }} m = n$

ii) Soit $M(z) = \frac{s(z/a_1) \cdots s(z/a_m)}{s(z/b_1) \cdots s(z/b_n)}$. Est-ce une fonction

lexodromique?

Puisque $m = n$, $M(z) = \frac{s\left(\frac{z}{a_1}\right) \cdots s\left(\frac{z}{a_m}\right)}{s\left(\frac{z}{b_1}\right) \cdots s\left(\frac{z}{b_m}\right)}$

$$\begin{aligned}
 \text{alors } M(sz) &= \frac{s\left(\frac{az}{a_1}\right) \cdots \cdots s\left(\frac{az}{a_m}\right)}{s\left(\frac{az}{a_1}\right) \cdots \cdots s\left(\frac{az}{a_m}\right)} \\
 &= \frac{(-1)^m \cancel{a^m} \times \cancel{\frac{z}{a_1}} \times \cdots \times \cancel{\frac{z}{a_n}} \times s\left(\frac{z}{a_1}\right) \times \cdots \times s\left(\frac{z}{a_n}\right)}{(-1)^m \cancel{a^m} \times \cancel{\frac{z}{a_1}} \times \cdots \times \cancel{\frac{z}{a_m}} \times s\left(\frac{z}{a_1}\right) \times \cdots \times s\left(\frac{z}{a_n}\right)} \\
 &= \frac{\frac{1}{a_1} \times \cdots \times \frac{1}{a_n}}{\frac{1}{a_1} \times \cdots \times \frac{1}{a_n}} M(z) \\
 &= \frac{b_1 \cdots b_n}{a_1 \cdots a_n} M(z)
 \end{aligned}$$

ouii

Conclusion: M n'est pas lexodromique sauf si $\frac{b_1 \cdots b_n}{a_1 \cdots a_n} = 1$

$$\text{soit } \prod_{i=1}^n a_i = \prod_{i=1}^n b_i$$

5) Soit $G(z) = \frac{f(z)}{M(z)}$ et soit $\sum_{k \in \mathbb{Z}} c_k z^k$ son développement de Laurent à l'origine.

i) Dans quelle partie de \mathbb{C} est-il égal à $G(z)$?

- on montre que $s\left(\frac{1}{z}\right) = -\frac{1}{z} s(z)$
donc en particulier

$$s(1) = -s(z)$$

$$\text{d'où } s(1) = 0$$

On peut en déduire que si $z = a_1$ ou $z = a_2$ ou ... ou $z = a_n$
 $M(z) = 0$

En effet, alors l'un des facteurs du numérateur est nul.

Donc a_1, \dots, a_n sont les zéros de M dans $C(1)$

Soit $\lambda = \frac{b_1 \cdots b_n}{a_1 \cdots a_n}$; on a montré $M(sz) = \lambda M(z)$
donc $M(s^p z) = \lambda^p M(z)$

on en déduit que $s^p a_i$ est aussi un zéro de M

en la réunion des couronnes $C(|s|^p)$ quand p décrit \mathbb{Z} est \mathbb{C}^*

Donc $A = \{s^p a_i, p \in \mathbb{Z} \text{ et } i=1, \dots, m\}$ est l'ensemble des zéros de

M dans \mathbb{C}^* .

De même si $z = b_1$, ou $z = b_2$ ou ... ou $z = b_m$, l'un des facteurs du dénominateur est nul.

Donc b_1, \dots, b_m sont les pôles de M dans $\mathbb{C}(z)$ et $B = \{z^p b_i, p \in \mathbb{Z}, i = 1, \dots, m\}$ est l'ensemble des pôles de M dans \mathbb{C}^* .

On a vu que si b est un pôle de f , $s^p b$ est aussi un pôle de f . De même si a est un zéro de f , $s^p a$ est un zéro de f .

Par un raisonnement semblable, on peut donc remarquer que A et B sont aussi respectivement l'ensemble des zéros et des pôles de f sur \mathbb{C}^* .

On peut donc remarquer que M et f admettent les mêmes zéros
qui et les mêmes pôles.

• f est holomorphe sur $\mathbb{C}^* - B$

M est holomorphe sur $\mathbb{C}^* - B$

$\frac{1}{m}$ est holomorphe sur $\mathbb{C}^* - A$

donc $G = \frac{f}{m}$ est holomorphe sur $\mathbb{C}^* - A \cup B$

! mais M admettant les mêmes zéros et pôles que f , la fonction $\frac{f}{m}$ se simplifie (beaucoup).

Soit G_1 la fonction simplifiée - G_1 est holomorphe sur \mathbb{C}^* et ne s'annule pas sur \mathbb{C}^* .

On peut étendre G par continuité en posant $G(\alpha_i) = G_1(\alpha_i)$ où $\alpha_i \in A \cup B$.

Donc G est holomorphe sur \mathbb{C}^* et ne s'annule pas.

Conclusion: G est égale à son développement de Laurent sur \mathbb{C}^*

ii) Calculer $G(sz)$ en fonction de $G(z)$

$$G(sz) = \frac{f(sz)}{M(sz)} = \frac{f(z)}{\lambda M(z)} \quad \text{où } \lambda = \frac{b_1 \dots b_n}{a_1 \dots a_n}$$
$$= \frac{1}{\lambda} G(z)$$

iii Conclusion : En posant $\lambda = \frac{b_1 \dots b_n}{a_1 \dots a_n}$, on a $G(sz) = \frac{1}{\lambda} G(z)$

iii) En déduire qu'il existe $\mu \in \mathbb{Z}$ tel que $\frac{b_1 \dots b_n}{a_1 \dots a_n} = s^\mu$ et

$$f(z) = c_{-\mu} z^{-\mu} M(z)$$

$$G(z) = \sum_{k \in \mathbb{Z}} c_k z^k \quad \forall z \in \mathbb{C}^*$$

$$G(sz) = \frac{1}{\lambda} G(z) \quad \forall z \in \mathbb{C}^*$$

$$\text{d'où } \lambda G(sz) - G(z) = 0 \quad \forall z \in \mathbb{C}^*$$

$$\text{soit } \lambda \sum_{k \in \mathbb{Z}} c_k s^k z^k - \sum_{k \in \mathbb{Z}} c_k z^k = 0 \quad \forall z \in \mathbb{C}^*$$

$$\text{d'où } \sum_{k \in \mathbb{Z}} c_k (\lambda s^k - 1) z^k = 0 \quad \forall z \in \mathbb{C}^*$$

iii on en déduit que $\forall k \in \mathbb{Z} \quad c_k (\lambda s^k - 1) = 0$

$$\text{d'où } \forall k \in \mathbb{Z} \quad c_k = 0 \quad \text{ou } \lambda = s^{-k}$$

iii Comme G n'est pas identiquement nulle, il existe au moins un coefficient $c_k \neq 0$. Donc il existe k_0 tel que $c_{k_0} \neq 0$

L'équation précédente implique que pour ce k_0 , $\lambda = s^{-k_0}$; mais

iii λ et s sont fixés donc k_0 est unique.

Soit $\mu = -k_0$; on en déduit que

il existe μ unique tel que $\lambda = s^\mu$ et $c_k = 0$ dès que $k \neq -\mu$

iii d'où $\frac{b_1 \dots b_n}{a_1 \dots a_n} = s^\mu$

alors $G(z) = \sum_{k \in \mathbb{Z}} c_k z^k = c_{-\mu} z^{-\mu}$ car tous les autres coefficients sont nuls

DELRIEU Jean-Louis
VERGNAUD Nadine

Feuillet n° 4

$$\text{d'où } \frac{f(z)}{M(z)} = c_{-\mu} z^{-\mu} \text{ soit } f(z) = c_{-\mu} z^{-\mu} M(z)$$

Conclusion: il existe $\mu \in \mathbb{Z}$ tel que $\frac{b_1 \dots b_n}{a_1 \dots a_n} = z^\mu$ et $f(z) = c_{-\mu} z^{-\mu} M(z)$

Rémarque: si $\mu = 0$, $\frac{b_1 \dots b_n}{a_1 \dots a_n} = 1$ et $f(z) = c_0 M(z)$
d'où $M(z) = \frac{1}{c_0} f(z)$

$$\text{alors } M(\rho z) = \frac{1}{c_0} f(\rho z) = \frac{1}{c_0} f(z) = M(z)$$

et on retrouve le cas particulier où M est holomorphe

6) a) Soit $\sum_{n \in \mathbb{Z}} \alpha_n z^n$ le développement de Laurent de S à l'origine

Calculer α_n en fonction de α_0

on a vu que $S(1z) = -z S(z) + z \in \mathbb{C}^*$

et que S est holomorphe sur \mathbb{C}^* donc égale à son développement de Laurent. On a donc

$$\begin{aligned} \sum_{n \in \mathbb{Z}} \alpha_n z^n &= -z \sum_{n \in \mathbb{Z}} \alpha_n z^n + z \in \mathbb{C}^* \\ &= \sum_{n \in \mathbb{Z}} -\alpha_n z^{n+1} + z \in \mathbb{C}^* \end{aligned}$$

$$\text{d'où } \sum_{n \in \mathbb{Z}} \alpha_n z^n = \sum_{n \in \mathbb{Z}} -\alpha_{n-1} z^n + z \in \mathbb{C}^*$$

$$\text{on en déduit } \alpha_n z^n = -\alpha_{n-1} z + z \in \mathbb{Z}$$

Or sont $\alpha_n z^{n+1} = -\alpha_{n-1}$

Supposons $n > 0$

$$\alpha_n z^{n+1} = -\alpha_{n-1}$$

$$\text{de même } \alpha_{n-1} z^{n+2} = -\alpha_{n-2}$$

⋮

$$\alpha_2 z = -\alpha_1$$

$$\alpha_1 = -\alpha_0$$

d'où en multipliant membre à membre

$$\text{d'où } \alpha_0 \Delta^{\frac{(n-1)+(n-2)+\dots+1}{2}} = (-1)^n \alpha_0$$

sont $\alpha_0 \Delta^{\frac{n(n-1)}{2}} = (-1)^n \alpha_0$

d'où $\alpha_0 = (-1)^n \Delta^{-\frac{n(n-1)}{2}} \alpha_0$

On peut faire un raisonnement analogue si $n \leq 0$

$$\begin{aligned} \alpha_0 \Delta^{-1} &= -\alpha_{-1} \\ \alpha_{-1} \Delta^{-2} &= -\alpha_{-2} \\ &\vdots \\ \alpha_{m+1} \Delta^m &= -\alpha_m \end{aligned}$$

d'où en multipliant membre à membre

$$\begin{aligned} \alpha_0 \Delta^{(-1)+(-2)+\dots+m} &= (-1)^{-m} \alpha_m \\ \alpha_0 \Delta^{-(-1+2+\dots+(-m))} &= (-1)^{-m} \alpha_m \\ \alpha_0 \Delta^{-\frac{(-n)(-n+1)}{2}} &= (-1)^{-m} \alpha_m \\ \alpha_0 \Delta^{-\frac{m(m-1)}{2}} &= (-1)^{-m} \alpha_m \end{aligned}$$

d'où $\alpha_0 = (-1)^m \Delta^{-\frac{m(m-1)}{2}} \alpha_0$

or

$\text{Conclusion : } \alpha_0 = (-1)^m \Delta^{-\frac{m(m-1)}{2}} \alpha_0$

b) On suppose $s > 0$ et $x > 0$

i) Montrer que pour $x \rightarrow +\infty$, $S(-x) \sim \alpha_0 \left(1 + \sum_{n \geq 1} \Delta^{-\frac{n(n-1)}{2}} x^n \right)$

$$\begin{aligned} S(z) &= \sum_{n \in \mathbb{Z}} \alpha_n z^n \\ &= \sum_{n \in \mathbb{Z}} (-1)^n \Delta^{-\frac{n(n-1)}{2}} \alpha_0 z^n \\ &= \alpha_0 \left(\sum_{n=-\infty}^0 (-1)^n \Delta^{-\frac{n(n-1)}{2}} z^n + \sum_{n=1}^{\infty} (-1)^n \Delta^{-\frac{n(n-1)}{2}} z^n \right) \end{aligned}$$

on pose $m = 1 - n$

$$\begin{aligned} \text{alors } m &= 1 - n \\ m-1 &= -n \end{aligned}$$

qd $m = -\infty, m = +\infty$

$$m = 0, m = 1$$

on pouvait remarquer (plus globalement) que

$$\frac{d}{z} \sum s^{-\frac{n(n+1)}{2}} \left(\frac{1}{z}\right)^{n+2} \text{ avec } \lim_{z \rightarrow +\infty} = 0$$

$$\begin{aligned} \text{d'où } S(z) &= \alpha_0 \left[\sum_{m=1}^{\infty} (-1)^{1-m} s^{-\frac{(1-m)(-m)}{2}} z^{1-m} + \sum_{n=1}^{\infty} (-1)^n s^{-\frac{n(n+1)}{2}} z^n \right] \\ &= \alpha_0 \left[\sum_{n=1}^{\infty} (-1) \times (-1)^{-m} s^{-\frac{-m(n+1)}{2}} z^{1-m} + \sum_{n=1}^{\infty} (-1)^n s^{-\frac{n(n+1)}{2}} z^n \right] \\ &\text{mais } (-1)^{-m} = (-1)^m \end{aligned}$$

$$\boxed{\text{d'où } S(z) = \alpha_0 \left[\sum_{n=1}^{\infty} (-1)^n s^{-\frac{n(n+1)}{2}} (z^n - z^{1-n}) \right]}$$

$$\begin{aligned} \text{• alors } S(-x) &= \alpha_0 \left[\sum_{n=1}^{\infty} (-1)^n s^{-\frac{n(n+1)}{2}} ((-x)^n - (-x)^{1-n}) \right] \\ &= \alpha_0 \left[\sum_{n=1}^{\infty} (-1)^n s^{-\frac{n(n+1)}{2}} \times (-1)^{2n} \times (x^n + x^{1-n}) \right] \\ &\quad \text{car } (-1)^{2n} = 1 \\ &= \alpha_0 \left[\sum_{n=1}^{\infty} s^{-\frac{n(n+1)}{2}} (x^n + x^{1-n}) \right] \\ &= \alpha_0 \left[\sum_{n=1}^{\infty} s^{-\frac{n(n+1)}{2}} x^n + \sum_{n=1}^{\infty} s^{-\frac{n(n+1)}{2}} x^{1-n} \right] \\ &= \alpha_0 \left[\sum_{n=1}^{\infty} s^{-\frac{n(n+1)}{2}} x^n + 1 + \sum_{n=2}^{\infty} s^{-\frac{n(n+1)}{2}} x^{1-n} \right] \\ &\quad \text{on pose } m = n-1 \end{aligned}$$

$$\begin{aligned} S(-x) &= \alpha_0 \left[\sum_{n=1}^{\infty} s^{-\frac{n(n+1)}{2}} x^n + 1 + \sum_{m=1}^{\infty} s^{-\frac{(m+1)m}{2}} x^{-m} \right] \\ &= \alpha_0 \left[1 + \sum_{n=1}^{\infty} s^{-\frac{n(n+1)}{2}} x^n + \sum_{m=1}^{\infty} s^{-\frac{(m+1)m}{2}} x^{-m} \right] \end{aligned}$$

$$\text{Or } S(-x) = \alpha_0 \left(1 + \sum_{n=1}^{\infty} s^{-\frac{n(n+1)}{2}} x^n \right) = \alpha_0 \sum_{n=1}^{\infty} s^{-\frac{n(n+1)}{2}} x^{-n}$$

$$\bullet \text{ Étudions la série } \sum_{n=1}^{\infty} s^{-\frac{n(n+1)}{2}} x^{-n}$$

$$\text{Soit } u_n = s^{-\frac{n(n+1)}{2}} x^{-n} = \left(\frac{1}{s^{\frac{n+1}{2}}} x\right)^n$$

u_n est à termes réels et positifs par hypothèse

$$\forall n \geq 1, \quad s^{\frac{n+1}{2}} \geq s \quad \text{car } s > 1$$

$$\text{d'où } s^{\frac{n+1}{2}} x \geq s x \quad \text{car } x > 0$$

$$\frac{1}{s^{\frac{n+1}{2}} x} \leq \frac{1}{sx}$$

Soit $v_n = \left(\frac{1}{\delta x}\right)^n$

la série $\sum v_n$ est une série géométrique convergente dès que $x > \frac{1}{\delta}$ donc vrai qd $x \rightarrow +\infty$

$$\sum_{n=1}^{\infty} v_n = \frac{1}{1 - \frac{1}{\delta x}} - 1 = \frac{\delta x}{\delta x - 1} - 1 = \frac{\delta x - \delta x + 1}{\delta x - 1} = \frac{1}{\delta x - 1}$$

$$\lim_{x \rightarrow +\infty} \frac{1}{\delta x - 1} = 0$$

$\forall n \geq 1$, $u_n \leq v_n$, les 2 séries sont à termes positifs donc la série $\sum_{n=1}^{\infty} u_n$ converge et sa somme tend vers 0 qd x tend vers $+\infty$.

On en déduit que $\lim_{x \rightarrow +\infty} \left[S(-x) - \alpha_0 \left(1 + \sum_{n=1}^{\infty} \delta^{-\frac{n(n+1)}{2}} x^n \right) \right] = 0$

Où

Conclusion : $S(-x) \sim \alpha_0 \left(1 + \sum_{n=1}^{\infty} \delta^{-\frac{n(n+1)}{2}} x^n \right)$ qd $x \rightarrow +\infty$

ii) Trouver que pour $x \rightarrow +\infty$, $S(-x) \sim P(x) = \prod_{n>0} \left(1 + \frac{x}{\delta^{2n}} \right)$

$$S(z) = \prod_{n>0} \left(1 - \frac{z}{\delta^{2n}} \right) \prod_{n>1} \left(1 - \frac{1}{z \delta^{2n}} \right)$$

$$S(-x) = \prod_{n>0} \left(1 + \frac{x}{\delta^{2n}} \right) \prod_{n>1} \left(1 + \frac{1}{x \delta^{2n}} \right)$$

$$\frac{S(-x)}{\prod_{n>0} \left(1 + \frac{x}{\delta^{2n}} \right)} = \prod_{n>1} \left(1 + \frac{1}{x \delta^{2n}} \right) \quad (\text{écriture possible car } \frac{x}{\delta^{2n}} \neq -1)$$

• Étudions $\prod_{n>1} \left(1 + \frac{1}{x \delta^{2n}} \right)$

Soit $\sum u_n(x) = \sum_{n=1}^{\infty} \frac{1}{x \delta^{2n}}$

sur tout compact de \mathbb{R}_+^* , $\exists m > 0$ t.q. $x > m$

donc $\frac{1}{x} < \frac{1}{m}$

$$\frac{1}{x \delta^{2n}} < \frac{1}{m} \times \frac{1}{\delta^{2n}}$$

DELRIEU Jean-Louis
VERGNAUD Nadine

Feuillet n°5

$\frac{1}{x^n}$ est le terme général d'une série géométrique à termes positifs convergente donc sur tout compact de \mathbb{R}_+^* la série $\sum u_n(z)$ converge normalement.

On peut en déduire que le produit infini $\prod_{n=1}^{\infty} \left(1 + \frac{1}{x^n}\right)$ converge dans \mathbb{R}_+^* .

Comme il n'est à termes positifs par hypothèse les séries

$\sum_{n=0}^{\infty} \log(1+u_n)$ et $\sum_{n=0}^{\infty} u_n$ et le produit $\prod_{n=0}^{\infty} (1+u_n)$ sont de même nature.

De plus, si la série $\sum_{n=0}^{\infty} \log(1+u_n)$ converge et a pour somme S , $\prod_{n=0}^{\infty} (1+u_n)$ converge et a pour valeur e^S .

B. qd $x \rightarrow +\infty$ $\frac{1}{x^n} \rightarrow 0$ et

$$\log\left(1 + \frac{1}{x^n}\right) = \frac{1}{x^n} - \frac{1}{2x^{2n}} + \frac{1}{3x^{3n}} + O\left(\frac{1}{x^{4n}}\right)$$

$$\text{de } \log\left(1 + \frac{1}{x^n}\right) \leq \frac{1}{x^n} \quad \text{qd } x \rightarrow +\infty$$

$$\text{la série } \sum_{n=0}^{\infty} \frac{1}{x^n} = \frac{1}{x} \sum_{n=0}^{\infty} \frac{1}{x^n} \text{ a pour somme}$$

$$\frac{1}{x} \times \frac{1}{1 - \frac{1}{x}} = \frac{1}{x(x-1)}$$

$$\text{or } \lim_{x \rightarrow +\infty} \frac{1}{x(x-1)} = 0$$

on peut en déduire comme précédemment, les 2 séries étant à termes positifs que la somme de la série $\sum_{n=0}^{\infty} \log\left(1 + \frac{1}{x^n}\right)$ tend vers 0 qd x tend vers $+\infty$.

Or donc le produit infini $\prod_{n=0}^{\infty} \left(1 + \frac{1}{x^n}\right)$ tend vers $e^0 = 1$

$$\text{Comme } \prod_{n=1}^{\infty} \left(1 + \frac{1}{x^n}\right) = \frac{1}{1 + \frac{1}{x}} \prod_{n=0}^{\infty} \left(1 + \frac{1}{x^n}\right)$$

et que $\lim_{x \rightarrow +\infty} \frac{1}{1 + \frac{1}{x}} = 1$ également

ori on en déduit que $\lim_{x \rightarrow +\infty} \prod_{n=1}^{\infty} \left(1 + \frac{1}{x^{2^n}}\right) = 1$

et donc que $\lim_{x \rightarrow +\infty} \frac{S(-x)}{\prod_{n=0}^{\infty} \left(1 + \frac{x}{2^n}\right)} = 1$

ori Conclusion: quand $x \rightarrow +\infty$, $S(-x) \sim P(x) = \prod_{n=0}^{\infty} \left(1 + \frac{x}{2^n}\right)$

iii) Développer $P(x)$ en série entière à l'origine

$$P(x) = \prod_{n=0}^{\infty} \left(1 + \frac{x}{2^n}\right)$$

D'abord, remarquons que $P(sx) = (1+sx) P(x)$. En effet

$$P(sx) = \prod_{n=0}^{\infty} \left(1 + \frac{sx}{2^n}\right)$$

$$= \prod_{n=0}^{\infty} \left(1 + \frac{x}{2^{n-1}}\right)$$

$$= \left(1 + \frac{x}{2^0}\right) \prod_{n=0}^{\infty} \left(1 + \frac{x}{2^n}\right)$$

$$= (1+sx) P(x)$$

ori

Soit $\sum_{n=0}^{\infty} a_n x^n$ la S.S.E de $P(x)$

$$\text{Si: } P(sx) = (1+sx) P(x)$$

$$\text{alors } \sum_{n=0}^{\infty} a_n s^n x^n = (1+sx) \sum_{n=0}^{\infty} a_n x^n$$

$$\sum_{n=0}^{\infty} a_n s^n x^n = \sum_{n=0}^{\infty} (a_n x^n + s a_n x^{n+1})$$

$$= \sum_{n=0}^{\infty} a_n x^n + s \sum_{n=0}^{\infty} a_n x^{n+1}$$

on pose dans le dernier terme $m = n+1$

$$\text{alors } m = m-1$$

$$\text{et qd } n=0 \quad m=1$$

$$\text{d'où } \sum_{n=0}^{\infty} a_n s^n x^n = \sum_{n=0}^{\infty} a_n x^n + s \sum_{n=1}^{\infty} a_{n-1} x^n$$

$$\text{soit } \cancel{a_0} + \sum_{n=1}^{\infty} a_n s^n x^n = \cancel{a_0} + \sum_{n=1}^{\infty} a_n x^n + s \sum_{n=1}^{\infty} a_{n-1} x^n$$

$$\text{soit } \sum_{n=1}^{\infty} a_n s^n x^n = \sum_{n=1}^{\infty} (a_n + s a_{n-1}) x^n$$

$$\text{donc } \forall n \geq 1 \quad a_n s^n = a_n + s a_{n-1}$$

$$\text{soit } \forall n \geq 1 \quad a_n (s^n - 1) = s a_{n-1}$$

$$\bullet \quad a_n (s^n - 1) = s a_{n-1}$$

$$\text{de même } a_{n-1} (s^{n-1} - 1) = s a_{n-2}$$

on

$$\vdots \\ a_1 (s - 1) = s a_0$$

on fait le produit membre à membre d'où

$$a_n (s^n - 1) (s^{n-1} - 1) \cdots (s - 1) = s^n a_0$$

$$\text{soit } a_n = \frac{s^n}{(s^n - 1)(s^{n-1} - 1) \cdots (s - 1)} a_0$$

$$= \frac{s^n}{s^n \left(1 - \frac{1}{s^n}\right) s^{n-1} \left(1 - \frac{1}{s^{n-1}}\right) \cdots s \left(1 - \frac{1}{s}\right)} a_0$$

$$= \frac{1}{s^{(n-1)+(n-2)+\cdots+1} (1-s^{-n})(1-s^{-(n-1)}) \cdots (1-s^1)} a_0$$

$$= \frac{1}{s^{\frac{n(n-1)}{2}}} \times \frac{1}{\prod_{j=1}^n (1-s^{-j})} a_0$$

$$\text{d'où } a_n = s^{-\frac{n(n-1)}{2}} \times \prod_{j=1}^n \left(\frac{1}{1-s^{-j}}\right) a_0$$

Mais $a_0 = 1$, en effet

$$P(x) = \sum_{n=0}^{\infty} a_n x^n$$

$$\text{donc } P(0) = a_0$$

$$\text{mais aussi: } P(x) = \prod_{n \geq 0} \left(1 + \frac{x}{s^n}\right)$$

$$\text{donc } P(0) = 1$$

on en déduit que $a_0 = 1$

et que $a_n = \delta^{-\frac{n(n-1)}{2}} \times \prod_{j=1}^n \left(\frac{1}{1-\delta^{-j}} \right)$

Or

$$\boxed{\text{Conclusion : } P(x) = \sum_{n=0}^{\infty} a_n x^n \text{ avec } a_n = \delta^{-\frac{n(n-1)}{2}} \times \prod_{j=1}^n \left(\frac{1}{1-\delta^{-j}} \right)}$$

iv) En appliquant le résultat : si $\frac{a_n}{b_n} \xrightarrow[n \rightarrow \infty]{} 1$ alors $\frac{\sum a_n x^n}{\sum b_n x^n} \xrightarrow[x \rightarrow \infty]{} 1$
trouver α_0 .

$$\begin{aligned} \text{on a } \lim_{x \rightarrow +\infty} S(-x) &= \alpha_0 \lim_{x \rightarrow +\infty} \left(1 + \sum_{n=1}^{\infty} \delta^{-\frac{n(n-1)}{2}} x^n \right) \\ &= \alpha_0 \lim_{x \rightarrow +\infty} \left(\sum_{n=0}^{\infty} \delta^{-\frac{n(n-1)}{2}} x^n \right) \end{aligned}$$

$$\text{et } \lim_{x \rightarrow +\infty} S(-x) = \lim_{x \rightarrow +\infty} \left(\sum_{n=0}^{\infty} \delta^{-\frac{n(n-1)}{2}} \times \prod_{j=1}^n \left(\frac{1}{1-\delta^{-j}} \right) x^n \right)$$

$$\text{on en déduit} \\ \alpha_0 = \lim_{x \rightarrow +\infty} \frac{\sum_{n=0}^{\infty} \delta^{-\frac{n(n-1)}{2}} \times \prod_{j=1}^n \left(\frac{1}{1-\delta^{-j}} \right) x^n}{\sum_{n=0}^{\infty} \delta^{-\frac{n(n-1)}{2}} x^n}$$

or

$$\begin{aligned} \lim_{x \rightarrow +\infty} \frac{a_n}{b_n} &= \lim_{n \rightarrow +\infty} \frac{\delta^{-\frac{n(n-1)}{2}} \times \prod_{j=1}^n \left(\frac{1}{1-\delta^{-j}} \right)}{\delta^{-\frac{n(n-1)}{2}}} = \\ &= \lim_{n \rightarrow +\infty} \prod_{j=1}^n \left(\frac{1}{1-\delta^{-j}} \right) \\ &= \prod_{j=1}^{\infty} \left(\frac{1}{1-\delta^{-j}} \right) \end{aligned}$$

d'où en appliquant la propriété

$$\lim_{x \rightarrow +\infty} \frac{\sum a_n x^n}{\sum b_n x^n} = \prod_{j=1}^{\infty} \left(\frac{1}{1-\delta^{-j}} \right)$$

Or

$$\boxed{\text{Conclusion : } \alpha_0 = \prod_{j=1}^{\infty} \left(\frac{1}{1-\delta^{-j}} \right)}$$

c) Montrer que pour $|s| > 1$, α_0 est une fonction holomorphe de s . En déduire la valeur de α_0 dans le cas général.

- On a vu dans b) que

$$S(z) = \alpha_0 \sum_{n=1}^{\infty} (-1)^n s^{-\frac{n(n-1)}{2}} (z^n - z^{1-n})$$

$$\begin{aligned} \text{d'où } S(-1) &= \alpha_0 \sum_{n=1}^{\infty} (-1)^n s^{-\frac{n(n-1)}{2}} ((-1)^n - (-1)^{1-n}) \\ &= \alpha_0 \sum_{n=1}^{\infty} (-1)^n s^{-\frac{n(n-1)}{2}} \times (-1)^n (1 - (-1)) \end{aligned}$$

puis donc $S(-1) = 2\alpha_0 \sum_{n=1}^{\infty} s^{-\frac{n(n-1)}{2}}$

- D'autre part

$$S(z) = \prod_{n=0}^{\infty} \left(1 - \frac{z}{s^n}\right) \prod_{n=1}^{\infty} \left(1 - \frac{1}{z s^n}\right)$$

$$\begin{aligned} \text{d'où } S(-1) &= \prod_{n=0}^{\infty} \left(1 + \frac{1}{s^n}\right) \prod_{n=1}^{\infty} \left(1 + \frac{1}{s^n}\right) \\ &= 2 \prod_{n=1}^{\infty} \left(1 + \frac{1}{s^n}\right) \prod_{n=1}^{\infty} \left(1 + \frac{1}{s^n}\right) \end{aligned}$$

donc $S(-1) = 2 \left[\prod_{n=1}^{\infty} \left(1 + \frac{1}{s^n}\right) \right]^2$

donc en identifiant

$$2\alpha_0 \sum_{n=1}^{\infty} s^{-\frac{n(n-1)}{2}} = 2 \left[\prod_{n=1}^{\infty} \left(1 + \frac{1}{s^n}\right) \right]^2$$

puis $\alpha_0 = \frac{\left[\prod_{n=1}^{\infty} \left(1 + \frac{1}{s^n}\right) \right]^2}{\sum_{n=1}^{\infty} s^{-\frac{n(n-1)}{2}}}$

- Etudions $\prod_{n=1}^{\infty} \left(1 + \frac{1}{s^n}\right)$

Soir $\mathcal{D} = \{s \in \mathbb{C}, |s| > 1\}$

Soir $m_n(s) = \frac{1}{s^n}$

sur tout compact de D , $\exists k > 1$ tel que $|z| \geq k$
d'où $|z|^n \geq k^n$
d'où $\frac{1}{|z|^n} \leq \frac{1}{k^n}$

la série de terme général $\frac{1}{k^n}$ est une série géométrique convergente donc la série $\sum_{n=1}^{\infty} \frac{1}{k^n}$ converge normalement sur tout compact de D

D'après le lemme 6 p 86, on peut donc en déduire que $p(z) = \prod_{n=1}^{\infty} \left(1 + \frac{1}{z^n}\right)$ converge dans D et que p est holomorphe dans D

avec D'où $[p(z)]^2$, produit de 2 fonctions holomorphes est holomorphe dans D

• Étudions $\sum_{n=1}^{\infty} z^{-\frac{n(n-1)}{2}}$
on pose $m = n-1$ qd $n=1, m=0$
d'où $\sum_{n=1}^{\infty} z^{-\frac{n(n-1)}{2}} = \sum_{m=0}^{\infty} z^{-\frac{(m+1)m}{2}} = \sum_{n=0}^{\infty} \left(\frac{1}{z^{\frac{n+1}{2}}}\right)^m$

Soit $v_n(z) = \left(\frac{1}{z^{\frac{n+1}{2}}}\right)^m$

$\forall n \geq 0 \quad |z|^{\frac{n+1}{2}} \geq |z|^{\frac{1}{2}} \quad$ pour $|z| > 1$ donc dans D
d'où $\frac{1}{|z|^{\frac{n+1}{2}}} \leq \frac{1}{|z|^{\frac{1}{2}}}$

sur tout compact de D , $\exists k > 1$ tel que $|z| \geq k$
d'où $|z|^{\frac{1}{2}} \geq k^{\frac{1}{2}}$

d'où $\frac{1}{|z|^{\frac{1}{2}}} \leq \frac{1}{k^{\frac{1}{2}}}$

d'où $\left(\frac{1}{|z|^{\frac{n+1}{2}}}\right)^m \leq \left(\frac{1}{k^{\frac{1}{2}}}\right)^m$

on en déduit que $\left(\frac{1}{|z|^{\frac{n+1}{2}}}\right)^m \leq \left(\frac{1}{|z|^{\frac{1}{2}}}\right)^m \leq \left(\frac{1}{k^{\frac{1}{2}}}\right)^m$

soit $|v_n(s)| \leq \left(\frac{1}{k^{1/n}}\right)^n$

La série de terme général $\left(\frac{1}{k^{1/n}}\right)^n$ est une série géométrique convergente (car $k > 1$ donc $k^{1/n} > 1$) donc la série $\sum_{n=1}^{\infty} v_n$ converge normalement sur tout compact de \mathbb{D} .

Or Elle converge donc uniformément.

D'après le thm p78, on peut alors en déduire que sa somme est une fonction holomorphe sur \mathbb{D} .

- Soit $f(s) = \frac{\prod_{n=1}^{\infty} \left(1 + \frac{1}{s^n}\right)}{\prod_{n=1}^{\infty} s^{-n(n+1)}}$, f est une fonction holomorphe sur \mathbb{D} comme produit de fonctions holomorphes sur \mathbb{D}

- Soit g définie sur $[1; +\infty[$ par

$$g(s) = \prod_{j=1}^{\infty} \left(\frac{1}{1-s^{-j}}\right) = \frac{1}{\prod_{j=1}^{\infty} (1-s^{-j})}$$

sur tout compact de $[1; +\infty[$, la série $\sum_{j=1}^{\infty} (-s^{-j})$ est normalement convergente pour les mêmes raisons que précédemment donc le produit $P(s) = \prod_{j=1}^{\infty} (1-s^{-j})$ converge sur $[1; +\infty[$ et P est holomorphe sur $[1; +\infty[$ et ne s'annule pas car $s \neq 1$

Or g est donc holomorphe sur $[1; +\infty[$

- f est holomorphe sur \mathbb{D} donc analytique sur \mathbb{D}
 g est holomorphe sur $[1; +\infty[$ donc analytique sur $[1; +\infty[$
 f et g coïncident sur $[1; +\infty[\subset \mathbb{D}$ car ce sont l'exception de ∞ donc d'après le principe du prolongement analytique $f = g$ sur \mathbb{D}

oui

Conclusion: dans le cas général, pour $|s| > 1$

$$\alpha_0 = \prod_{j=1}^{\infty} \left(\frac{1}{1-s^{-j}} \right)$$

PROBLÈME 2

Soit k un nombre complexe tel que $|k| > 1$. On veut donner l'expression de toutes les fonctions f vérifiant la propriété P_k constituée des deux conditions :

- a) f est méromorphe dans \mathbb{C}^* , non identiquement nulle
 - b) il existe un scalaire $\lambda(f)$ (qui dépend de f) tel que $f(kz) = \lambda(f) f(z)$ pour tout z dans $\mathbb{C}^* - A(f)$ où $A(f)$ est l'ensemble des pôles de f .
- 1] Montrer que l'ensemble des fonctions possédant la propriété P_k forme un groupe multiplicatif que l'on notera G_k
- 2] Soit f dans G_k et holomorphe dans \mathbb{C}^* . Montrer que il existe un entier relatif n tel que $\lambda(f) = k^n$ et $f(z) = \alpha z^n$ $\forall z \in \mathbb{C}$ (Utiliser le développement de Laurent de f dans \mathbb{C}^*)
- 3] Soit S_R la couronne $\{z \in \mathbb{C}, r \leq |z| \leq |k|r\}$ $r > 0$. Montrer que si f est dans G_k , les zéros et les pôles de f dans S_R sont en nombre fini. En déduire qu'il existe r' tel que $r \leq r' \leq |k|r$ et tel que f n'ait ni pôles ni zéros sur le bord $\partial S_{r'}$ de $S_{r'}$. Montrer qu'alors dans une telle couronne f a le même nombre de zéros que de pôles.
(compté avec leur ordre de multiplicité)

4] Soient $p_n(z) = \prod_{q=0}^{q=n} \left(1 - \frac{z}{a_q}\right)$ et $q_n(z) = \prod_{q=1}^{q=n} \left(1 - \frac{1}{zb_q}\right)$

Montrer que $p_n(+)$ et $q_n(+)$ ont une limite $p(+)$ et $q(+)$ respectivement et que la convergence de ces séries est uniforme sur tout compact de \mathbb{C}^* .

En déduire que $C(z) = p(z)q(z)$ est holomorphe dans \mathbb{C}^* et que l'ensemble de ses zéros est la suite $\{b_n\}$, $n \in \mathbb{Z}$

5) Soit f dans G_k , soit S_R une couronne du type précisé au 3^e soient a_1, \dots, a_p et b_1, \dots, b_p les zéros et pôles de f dans S_R (si les zéros ou pôles multiples sont pris autant de fois qu'ils sont zéros ou pôles). Montrer que

$$\psi(z) = \frac{\varphi(\frac{z}{a_1}) \cdots \varphi(\frac{z}{a_p})}{\varphi(\frac{z}{b_1}) \cdots \varphi(\frac{z}{b_p})} \text{ est dans } G_k. \text{ Calculer } \lambda(\psi)$$

En déduire $f(z) = \alpha z^{-n} \psi(z)$ pour un certain α de \mathbb{C}^* .

C3 PEGC, 90-91, Partiel n°2

Sujet n°2 bis

On s'aidera des documents ci-joints pour résoudre les questions suivantes.

On rappelle qu'on appelle isomorphisme analytique une fonction bijective analytique ainsi que son inverse (automorphisme si l'ensemble de départ et d'arrivée sont les mêmes).

On note D le disque unité ouvert de centre 0 et de rayon 1.

On note P le demi plan suivant : $P = \{ z ; \operatorname{Im} z > 0 \}$.

1) Donner une démonstration du théorème suivant (d'inversion globale) :

Si f est une fonction analytique sur un ouvert U de \mathbb{C} , et si f est injective, alors f est un isomorphisme analytique de U sur V (où $V = f(U)$) et, pour tout z de U , $f'(z) \neq 0$.

En déduire qu'il n'y a pas d'isomorphisme analytique de \mathbb{C} sur le disque unité ouvert D (centre 0, rayon 1).

2) Quels sont tous les automorphismes (analytiques) de D sur D ?

Quels sont tous les automorphismes (analytiques) de P sur P ?

[Facultatif : Quels sont tous les automorphismes de \mathbb{C} sur \mathbb{C} ?]

3) Expliquer ce qu'on voit à l'écran dans les démonstrations du logiciel ($z \rightarrow f(z)$).

Documents joints :

Lang Complex analysis (Springer Verlag) pp. 198 à 223 et pp. 72 à 79

Dieudonné Calcul infinitésimal (Hermann) pp. 250 à 255 et pp. 335 à 341

Cartan Théorie des fonctions analytiques (Hermann) pp. 181 à 187

Henrici Applied and computational Complex analysis Vol I (Wiley & Sons) pp. 294 à 299.

Krasnov et al. Fonctions d'une variable complexe et leurs applications (Mir) pp. 122 à 133

C3 PEGC 90-91 Partiel n°2 (Sujet n°4)
La fonction Γ.

Selon les ouvrages, on trouve 3 définitions différentes de la fonction Γ :

$$(1) \text{ On définit } \Gamma(z) = \int_0^{+\infty} e^{-t} t^{z-1} dt \text{ pour } \operatorname{Re}(z) > 0$$

et on prolonge Γ à $\mathbb{C} - \{0, -1, -2, \dots -n, \dots\}$

$$(2) \text{ On pose, pour } z \neq 0, -1, \dots, -n$$

$$\Gamma(z) = \frac{1}{ze^{z\gamma}} \left[\prod_{n=1}^{\infty} \left(1 + \frac{z}{n} \right) e^{-\gamma/n} \right] \quad \text{où } \gamma = \lim_{n \rightarrow \infty} \left(1 + \frac{1}{2} + \dots + \frac{1}{n} - \ln n \right)$$

$$(3) \Gamma(z) = \lim_{n \rightarrow \infty} \frac{n! n^z}{z(z+1) \dots (z+n)} \quad (z \neq 0, -1, \dots, -n)$$

En choisisant une de ces 3 définitions comme point de départ, on demande de démontrer l'équivalence des 3 définitions et les propriétés suivantes de la fonction Γ :

(4) Γ est méromorphe, avec 0, -1, -2, ..., -n, ... pôles simples

$$(5) \Gamma(z+1) = z \Gamma(z) \text{ si } z \neq 0, -1, -2, \dots$$

$$(6) \Gamma(n+1) = n! \text{ pour } n \in \mathbb{N}$$

$$(7) \Gamma(z) \neq 0$$

$$(8) \Gamma(z) \Gamma(1-z) = \frac{\pi}{\sin \pi z}$$

$$(9) \operatorname{Re} \Gamma(-m) = \frac{(-1)^m}{m!}$$

$$(10) \frac{\Gamma'(z)}{\Gamma(z)} = \int_0^{+\infty} \left(\frac{e^{-t}}{t} - \frac{e^{-zt}}{1-e^{-t}} \right) dt = -\gamma - \frac{1}{z} + \sum_1^{+\infty} \left(\frac{1}{n} - \frac{1}{z+n} \right)$$

Vous préciserez votre point de départ.

L'ordre des démonstrations (y compris pour l'équivalence des définitions) est laissé à votre choix (également). Vous pouvez rajouter une propriété à la liste ci-dessus!
 Vous vous aiderez des documents ci-joints :

* Cartan Théorie des fonctions analytiques (Hermann) pp 160-164 + 173

* Dieudonné Calcul infinitésimal (Hermann) pp 292 à 297

* Lang Complex analysis (Springer Verlag) pp 307 à 323

* Bak & Newman Complex analysis (Springer Verlag) pp 209 à 221

* Marsden & Hoffman Basic complex analysis (Freeman) pp 434-473

* Valiron Théorie des fonctions (Masson) pp 169-170, 491-492
 (Si vous utilisez d'autres documents les indiquer)

C3 PEGC, 90-91, Partiel n°2

Sujet n°6 (théorème de Phragmen-Lindelöf, théorème "des trois cercles" de Hadamard)

A l'aide des documents ci-joints, résoudre les quatre exercices proposés et l'exercice 5 p.241 du livre de Rudin (théorème de Hadamard "des trois cercles"). Pourquoi ce théorème s'appelle comme cela ?

Documents joints :

Lang Complex analysis (Springer Verlag) pp. 268 à 275

Rudin Analyse réelle et complexe (Masson) pp. 232 à 242

Bak and Newman Complex analysis (Springer Verlag) pp. 178 à 183

(ARCHIVES A. Decomps)

Le principe du maximum sous sa seconde forme :

$$|f(z)| \leq \sup_{z \in \text{Fr } D} |f(z)| \quad D \text{ ouvert connexe}$$

nest pas vrai si D nest pas borné.

Exemple. Si D est la bande $D = \{x+iy, -\frac{\pi}{2} < y < \frac{\pi}{2}\}$ on considère $f(z) = \exp \exp z$ pour $z \in D$. $f(x + \frac{\pi i}{2}) = \exp(\pm i e^x)$ d'où $|f(z)| = 1$ pour $z \in \partial D$.

ce $f(z) \rightarrow \infty$ quand $x \rightarrow \infty$ sur \mathbb{R} (et m^{me} f croît très rapidement)

La méthode de Phragmén-Lindelöf permet de montrer du théorème du style suivant : si f est anal sur D et si $|f| \leq g$ où $g(z) \rightarrow \infty$ "lentement" quand $z \rightarrow \infty$ dans D alors f est bornée dans D

1^e exercice. on suppose f bornée la méthode améliore la borne.

Le domaine D non borné est le quadrant $\operatorname{Re} z > 0$ on impose à f d'être bornée sur $\bar{\mathbb{D}}$ la méthode permet d'améliorer la borne.

Soit $\mathbb{I} = \{z \in \mathbb{C} \mid \operatorname{Re} z > 0\}$ et soit f une fonction analytique dans \mathbb{I} ; bornée et continue dans $\bar{\mathbb{I}}$, on pose

$$M = \sup_{z \in \text{Fr } \mathbb{I}} |f(z)|$$

on se propose de montrer que $|f(z)| \leq M \quad (\forall z \in \mathbb{I})$

- ① On suppose en outre $\lim_{|z| \rightarrow +\infty} f(z) = 0$, montrer que l'on a alors $|f(z)| \leq M$ ($\forall z \in \mathbb{P}$).
- ② En appliquant le résultat précédent aux fonctions g_n définies par $g_n(z) = \frac{|f(z)|^n}{z+1}$, montrer que $|f(z)| \leq M$ pour $z \in \mathbb{P}$.

2^e exercice

(le domaine non borné est une bande verticale, on suppose comme condition supplémentaire f bornée la méthode permet d'améliorer la constante)

Soit $\Pi = \{x+iy, a \leq x \leq b\}$ et f une fonction analytique sur Π continue sur $\overline{\Pi}$ et vérifiant $|f(z)| < B$ pour $z \in \Pi$

- ① On suppose que $|f(z)| \leq 1$ pour $z \in \partial\Pi$; montrer que l'on a $|f(z)| \leq 1$ pour $z \in \Pi$

- ② On pose $H(x) = \sup \{|f(x+iy)| \mid -\infty < y < +\infty\}$ $a \leq x \leq b$ montrer en utilisant ① que l'on a

$$H(x)^{\frac{b-a}{b-x}} \leq H(a)^{\frac{b-x}{b-a}} H(b)^{\frac{x-a}{b-a}} \quad a < x < b.$$

Cela montre que l'on peut remplacer $|f(z)| < B$ par

$$|f(z)| \leq \max[H(a), H(b)]. \quad z \in \Pi$$

Donne la fonction

3^e exercice

(le domaine non borné est une bande horizontale on impose à f une condition de croissance)

Soit $B = \{z \in \mathbb{C} \mid z = x+iy, x \in \mathbb{R}, y \in \mathbb{R}, |y| < \frac{\pi}{2}\}$ et soit f analytique sur B continue sur \overline{B} ; on suppose qu'il existe des constantes $\alpha < 1$ et A telles que

$$|f(z)| \leq \exp(A \exp(\beta|z|)) \quad z \in B.$$

et que f vérifie ensuite $|f(z)| \leq 1$ pour $z \in \text{Fr } B$.

Montrons que l'on a $|f(z)| \leq 1$ pour $z \in B$.

(On utilisera la fonction $h_\varepsilon(z) = \exp[-\varepsilon(\exp \beta z + \exp -\beta z)]$ avec $\varepsilon > 0$ et β vérifiant $\alpha < \beta < 1$)

Quelques exercices

IV le domaine ~~est~~ mon borné est le demi-plan $\operatorname{Re } z > 0$.

on impose à f une condition de croissance.

Soit f une fonction analytique sur le demi-plan

$P = \{z = x + iy \mid x > 0\}$ continue sur \bar{P} et soit

$$M(r) = \sup_{|\theta| \leq \frac{\pi}{2}} |f(re^{i\theta})|$$

$$|\theta| \leq \frac{\pi}{2}.$$

On suppose $\sup_{y \in \mathbb{R}} |f(cy)| \leq 1$ et $M(r) \leq \exp(kr^\alpha)$

$k \in \mathbb{R}_+^*$ et $0 < \alpha < 1$; on veut montrer $|f(z)| \leq 1 \forall z \in P$.

① On choisit $\alpha < \beta < 1$ et $\varepsilon > 0$; on désigne par $z^\beta = D^\beta z^\beta$ explicitement $|\exp(-\varepsilon z^\beta)|$ en posant $z = re^{i\theta}$ puis

$$\sup |\exp(-\varepsilon z^\beta)|$$

$$|z| = r.$$

$$|\theta| \leq \frac{\pi}{2}.$$

② Soit $g(z) = f(z) \exp(-\varepsilon z^\beta)$; montrons que $\lim_{|z| \rightarrow +\infty} g(z) = 0$ $\forall z \in P$. En appliquant le principe du maximum montrons que $|g(z)| \leq 1 \forall z \in P$ en déduire $|f(z)| \leq 1 (\forall z \in P)$.

③ Montrons sur un exemple simple que le résultat n'est pas vrai si $\alpha = 1$.

Méthode de Phragmen-Lindelof.

Le principe du maximum sous sa seconde forme :

$$|f(z)| \leq \sup_{z \in \text{Fr } D} |f(z)| \quad \text{D ouvert connexe}$$

cest par vrai si D n'est pas borné.

Exemple. Si D est la bande $D = \{x+iy, -\frac{\pi}{2} < y < \frac{\pi}{2}\}$

on considère $f(z) = \exp \exp z$

pour $x \in \mathbb{R}$. $f(x \pm \frac{\pi i}{2}) = \exp(\pm i e^x)$

d'où $|f(z)| = 1$ pour $z \in \partial D$.

ce $f(z) \rightarrow \infty$ quand $x \rightarrow \infty$ sur \mathbb{R} (et très rapidement)

La méthode de Phragmen-Lindelof permet de montrer du théorème du style suivant :

si f est anal sur D et si $|f| \leq g$ où $g(z) \rightarrow \infty$ "lentement"

quand $z \rightarrow \infty$ dans D alors f est bornée dans D

exercice : on suppose f bornée la méthode amène

la borne.

TITRE : TRAVAUX D'ETUDIANTS EN TEMPS NON LIMITE
(niveau licence, présentés par A. Robert)

DATE : JUIN 1991

RESUME :

Cette brochure présente des travaux d'étudiants réalisés en temps long sur des sujets assez divers. On a voulu montrer la qualité des productions de ce type.

MOTS-CLES :

EVALUATION sur un temps long

Editeur : IREM

Directeur/Responsable de la publication : R. DOUADY

dépôt légal : 2-86612-063-9

IREM PARIS VII - Tour 56/55 - 3ème étage - 2 place jussieu 75005 Paris